

Teoretická fyzika ó Základy kvantové mechaniky

Michal Lenc ó podzim 2012

Obsah

Teoretická fyzika ó Základy kvantové mechaniky	1
1. Velmi stručný pohled	3
1.1 Základní pojmy	3
1.2 Maticový zápis	5
1.3 Vlastní vektory a vlastní hodnoty	6
1.4 Nepřímá integrace s rovinnou vlnou a Diracovou delta funkcí	8
1.5 Příklad o lineární harmonický oscilátor	9
2. Princip superpozice	12
2.1 Feynmanova formulace	12
2.2 Formulace Landaua a Lifšice	12
3. Matematický popis	13
3.1 Základní popis o Hilbert v prostor	13
3.2 Axiomy	13
3.3 Reprezentace, rozklad jednotky	14
3.4 Vlnová funkce	15
3.5 Maticová reprezentace	15
3.6 Zápis Schrödingerovy rovnice v maticové reprezentaci	16
3.7 Relace neurčitosti	18
4. Základní operátory v souřadnicové reprezentaci	19
4.1 Hamilton v operátor (hamiltonián)	19
4.2 Operátory hybnosti a momentu hybnosti	20
4.3 Rovnice kontinuity	22
4.4 Ehrenfest v teorém	23
5. Schrödingerova rovnice pro stacionární stavy	24
5.1 Částice v potenciálovém poli o souřadnicová reprezentace	24
5.2 Vodíkový atom	25
5.3 Elektron v homogenním magnetickém poli	29
6. Některé aproximace pro poruchy na ose nezávislé	31
6.1 Rayleighova o Schrödingerova metoda	31
6.1.1 Nedejenerované hladiny	31
6.1.2 Degenerované hladiny	32
6.1.3 Příklad velmi blízkých hladin	33
6.2 Potenciální energie jako porucha	33
6.3 Variační princip	37
6.4 Hartreeho - Fockova metoda selfkonzistentního pole	37
6.5 Ritzova variační metoda	39
7. Bornova o Oppenheimerova aproximace	40
7.1 Obecná teorie	40
7.2 Molekula vodíku	43

7.2.1	Iont molekuly vodíku	43
7.2.2	Molekula vodíku	44
8.	Kvasiklasická aproximace	46
8.1	Základní vztahy	46
8.2	Okrajové podmínky	47
8.3	Bohrovo - Sommerfeldovo kvantování	48
9.	Poruchy na ose závislé	49
9.1	Interakční reprezentace	49
9.2	Fermiho zlaté pravidlo	50
9.2.1	Harmonický průběh časové závislosti poruchy	50
10.	Vlastní hodnoty a vlastní funkce operátoru momentu hybnosti	52
11.	Maticové elementy skaláru a vektoru, parita stavu	55
12.	Spin	56
12.1	Rotace a komutační relace pro operátor momentu hybnosti	56
12.2	Spin	57
12.3	Spin a rotace	60
13.	Princip nerozlišitelnosti částic	61
14.	Cesta k Bellovým nerovnostem	63
14.1	EPR paradox	63
14.2	Bohmova modifikace EPR pokusu	65
14.3	Bellovy nerovnosti	67
14.4	Experimenty s fotony	70
15.	Jakou dráhu prošla částice?	72
15.1	Elementární popis interference dvou svazků	72
15.2	Which-path (Welcher-Weg)?	73
15.3	Interference fullerenů	76

1. Velmi stručný pohled

1.1 Základní pojmy

V kvantové mechanice popíšeme s Hamiltonovým operátorem, kde v klasickém výrazu pro Hamiltonovu funkci jsou souřadnice x a sdružená hybnost p považujeme jednorozměrný problém nahrazeny lineárními operátory \hat{x} a \hat{p} , které splňují komutační relace

$$[\hat{x}, \hat{p}] \equiv \hat{x}\hat{p} - \hat{p}\hat{x} = i\hbar\hat{1} \quad , \quad (1.1)$$

\hbar je Planckova konstanta a $\hat{1}$ jednotkový operátor. V souřadnicové reprezentaci je Hilbertův prostor stavů soustavy (stavových vektorů) tvořen kvadraticky integrovatelnými komplexními funkcemi souřadnice na intervalu $(-\infty, \infty)$. Skalární součin je definován jako

$$(\psi, \chi)^* = (\chi, \psi) \equiv \underbrace{\langle \chi | \psi \rangle}_{\langle \text{bra} | \text{ket} \rangle} = \int \chi^*(x) \psi(x) dx \quad . \quad (1.2)$$

Snadno se přesvědčíme, že operátory

$$\hat{x}\psi(x) \equiv x\psi(x) \quad , \quad \hat{p}\psi(x) \equiv \frac{\hbar}{i} \frac{d\psi(x)}{dx} \quad (1.3)$$

splňují komutační relace (1.1). Pro kvantovou mechaniku jsou důležité vlastnosti lineárních operátorů, zejména vlastnosti dvojice operátorů hermiteovsky sdružený operátor. Hermiteovsky sdružená matice je komplexně sdružená transponovaná matice. Pro operátory definujeme hermiteovské sdružení jako

$$(\chi, \hat{O}^+ \psi) \equiv (\psi, \hat{O} \chi)^* \quad , \quad (1.4)$$

v Diracově značení pak

$$\langle \chi | \hat{O}^+ | \psi \rangle \equiv \langle \psi | \hat{O} | \chi \rangle^* \quad . \quad (1.5)$$

Je-li operátor roven svému hermiteovsky sdruženému, mluvíme o hermiteovském operátoru, Je-li inverzní operátor (definovaný tak, že po vynásobení inverzního a původního operátoru dostáváme jednotkový operátor) roven svému hermiteovsky sdruženému, mluvíme o unitárním operátoru. S použitím souřadnicové reprezentace ukážeme, že operátory souřadnice a konjugované hybnosti jsou hermiteovské. Máme

$$\langle \chi | \hat{O}^+ | \psi \rangle = \langle \psi | \hat{O} | \chi \rangle^* = \left\{ \int_{-\infty}^{\infty} \psi^*(x) x \chi(x) dx \right\}^* = \int_{-\infty}^{\infty} \chi^*(x) x \psi(x) dx = \langle \chi | \hat{O} | \psi \rangle \quad (1.6)$$

a

$$\begin{aligned} \langle \chi | \hat{O}^+ | \psi \rangle &= \langle \psi | \hat{O} | \chi \rangle^* = \left\{ \int_{-\infty}^{\infty} \psi^*(x) \frac{\hbar}{i} \frac{d\chi(x)}{dx} dx \right\}^* = - \int_{-\infty}^{\infty} \psi(x) \frac{\hbar}{i} \frac{d\chi^*(x)}{dx} dx = \\ &= \underbrace{- \frac{\hbar}{i} \frac{d}{dx} [\psi(x) \chi^*(x)]}_{=0} \Big|_{-\infty}^{\infty} + \int_{-\infty}^{\infty} \chi^*(x) \frac{\hbar}{i} \frac{d\psi(x)}{dx} dx = \int_{-\infty}^{\infty} \chi^*(x) \frac{\hbar}{i} \frac{d\psi(x)}{dx} dx = \langle \chi | \hat{O} | \psi \rangle . \end{aligned} \quad (1.7)$$

Je vhodné si pamatovat, že při hermiteovském sdružení dojde k záměně

$$c \rightarrow c^* \quad , \quad |\psi\rangle \rightarrow \langle\psi| \quad , \quad \langle\psi| \rightarrow |\psi\rangle \quad , \quad \hat{O} \rightarrow \hat{O}^+ \quad (1.8)$$

a záměna pořadí všech prvků. Zatímco výraz $\langle\chi|\psi\rangle$ znamená v Diracově notaci skalární součin vektorů $|\psi\rangle$ a $|\chi\rangle$, výraz $|\psi\rangle\langle\chi|$ je operátor, který převede libovolný vektor $|\phi\rangle$ na vektor $|\psi\rangle$, ale s velikostí a fází změnou skalárním součinem $\langle\chi|\phi\rangle$

$$(|\psi\rangle\langle\chi|)|\phi\rangle = |\psi\rangle(\langle\chi|\phi\rangle) = \langle\chi|\phi\rangle|\psi\rangle . \quad (1.9)$$

Jako v každém vektorovém prostoru, tak i v našem Hilbertově prostoru můžeme zvolit bázi nebo soustavu lineárně nezávislých vektorů, kdy potom každý vektor prostoru lze vyjádřit jako lineární kombinaci vektorů báze. Je výhodné zvolit ortonormální bázi. Dimenze Hilbertova prostoru tvořeného kvadraticky integrovatelnými komplexními funkcemi soustředěnými na intervalu $(-\infty, \infty)$ je spočetná nekonečná a neznámá její ortonormální bázi tvoří funkce

$$|h_n\rangle \equiv \chi_n(x) = \frac{1}{\pi^{1/4} (2^n n!)^{1/2}} H_n(x) \exp\left[-\frac{x^2}{2}\right] \quad , \quad n = 0, 1, 2, \dots \quad (1.10)$$

kde $H_n(x)$ jsou Hermiteovy polynomy. Platí

$$\langle h_i | h_j \rangle \equiv \frac{1}{\pi^{1/2} 2^n n!} \int_{-\infty}^{\infty} H_i(x) H_j(x) \exp[-x^2] dx = \delta_{ij} . \quad (1.11)$$

Libovolný stav $|\psi\rangle$ můžeme pak zapsat pomocí báze jako

$$|\psi\rangle = \sum_{n=0}^{\infty} c_n |h_n\rangle \quad , \quad c_n = \langle h_n | \psi \rangle \quad (1.12)$$

neboli

$$\psi(x) = \sum_{n=0}^{\infty} c_n \chi_n(x) \quad , \quad c_n = \int_{-\infty}^{\infty} \chi_n^*(x) \psi(x) dx \quad , \quad (1.13)$$

kde $\chi_n(x)$ je dáno vztahem (1.10). Vektory báze zapsané jako funkce sou adnice x jsou v tomto případě reálné funkce, obecně to však být nemusí, proto raději v integrálu skalárního součinu pro výpočet c_n přídáme znaménko komplexního sdružení. Jednotkový operátor vytvořený z vektorů báze má zápis

$$\hat{I} = \sum_n |n\rangle\langle n| \quad (1.14)$$

Vidíme to snadno, zapíšeme-li jeho působení na libovolný vektor

$$\hat{I}|\psi\rangle = \sum_n |n\rangle\langle n| \sum_i c_i |i\rangle = \sum_n |n\rangle \sum_i c_i \underbrace{\langle n|i\rangle}_{\delta_{ni}} \sum_n c_n |n\rangle = |\psi\rangle \quad (1.15)$$

1.2 Maticový zápis

Zapíšeme působení operátoru na libovolný vektor $|\beta\rangle$ zapsaný v nějaké bázi. Výsledkem je nový vektor $|\alpha\rangle$

$$\left. \begin{array}{l} |\alpha\rangle = \hat{O}|\beta\rangle \\ |\alpha\rangle = \sum_j a_j |j\rangle \\ |\beta\rangle = \sum_j b_j |j\rangle \end{array} \right\} \Rightarrow \sum_j a_j |j\rangle = \sum_j b_j \hat{O}|j\rangle \xRightarrow{\langle i|} a_i = \sum_j O_{ij} b_j \quad (1.16)$$

kde

$$O_{ij} = \langle i|\hat{O}|j\rangle \quad (1.17)$$

Pro názornou představu (vezměme jen konečnou dimenzi Hilbertova prostoru) si te zapíšeme v nějaké bázi stavový vektor jako sloupcový vektor (matice $n \times 1$) a operátor jako matici $n \times n$

$$|\alpha\rangle = \begin{pmatrix} a_1 \\ a_2 \\ \vdots \\ a_{n-1} \\ a_n \end{pmatrix}, \quad \hat{O} = \begin{pmatrix} O_{11} & O_{12} & \cdots & O_{1(n-1)} & O_{1n} \\ O_{21} & O_{22} & \cdots & O_{2(n-1)} & O_{2n} \\ \vdots & \vdots & \ddots & \vdots & \vdots \\ O_{(n-1)1} & O_{(n-1)2} & \cdots & O_{(n-1)(n-1)} & O_{(n-1)n} \\ O_{n1} & O_{n2} & \cdots & O_{n(n-1)} & O_{nn} \end{pmatrix} \quad (1.18)$$

Hermiteovskými sdruženými objekty budou pak

$$\langle \alpha | = (a_1^* \ a_2^* \ \dots \ a_{n-1}^* \ a_n^*) \ , \ \hat{O}^+ = \begin{pmatrix} O_{11}^* & O_{21}^* & \dots & O_{(n-1)1}^* & O_{n1}^* \\ O_{12}^* & O_{22}^* & \dots & O_{(n-1)2}^* & O_{n2}^* \\ \vdots & \vdots & \ddots & \vdots & \vdots \\ O_{1(n-1)}^* & O_{2(n-1)}^* & \dots & O_{(n-1)(n-1)}^* & O_{n(n-1)}^* \\ O_{1n}^* & O_{2n}^* & \dots & O_{(n-1)n}^* & O_{nn}^* \end{pmatrix} \quad (1.19)$$

Výraz $\langle \alpha | \beta \rangle$ vytváří skalární součin

$$\langle \alpha | \beta \rangle = (a_1^* \ a_2^* \ \dots \ a_{n-1}^* \ a_n^*) \begin{pmatrix} b_1 \\ b_2 \\ \vdots \\ b_{n-1} \\ b_n \end{pmatrix} = (a_1^* b_1 + a_2^* b_2 + \dots + a_{n-1}^* b_{n-1} + a_n^* b_n) \quad (1.20)$$

a výraz $|\beta\rangle\langle\alpha|$ operátor

$$|\beta\rangle\langle\alpha| = \begin{pmatrix} b_1 \\ b_2 \\ \vdots \\ b_{n-1} \\ b_n \end{pmatrix} (a_1^* \ a_2^* \ \dots \ a_{n-1}^* \ a_n^*) = \begin{pmatrix} b_1 a_1^* & b_1 a_2^* & \dots & b_1 a_{n-1}^* & b_1 a_n^* \\ b_2 a_1^* & b_2 a_2^* & \dots & b_2 a_{n-1}^* & b_2 a_n^* \\ \vdots & \vdots & \ddots & \vdots & \vdots \\ b_{n-1} a_1^* & b_{n-1} a_2^* & \dots & b_{n-1} a_{n-1}^* & b_{n-1} a_n^* \\ b_n a_1^* & b_n a_2^* & \dots & b_n a_{n-1}^* & b_n a_n^* \end{pmatrix} \quad (1.21)$$

Vektory báze jsou

$$|1\rangle = \begin{pmatrix} 1 \\ 0 \\ \vdots \\ 0 \\ 0 \end{pmatrix} \ , \ |2\rangle = \begin{pmatrix} 0 \\ 1 \\ \vdots \\ 0 \\ 0 \end{pmatrix} \ \dots \ |n-1\rangle = \begin{pmatrix} 0 \\ 0 \\ \vdots \\ 1 \\ 0 \end{pmatrix} \ , \ |n\rangle = \begin{pmatrix} 0 \\ 0 \\ \vdots \\ 0 \\ 1 \end{pmatrix} \ , \quad (1.22)$$

takže jednotkovému operátoru odpovídá jednotková matice

$$\sum_{i=1}^n |i\rangle\langle i| = \begin{pmatrix} 1 & 0 & \dots & 0 & 0 \\ 0 & 1 & \dots & 0 & 0 \\ \vdots & \vdots & \ddots & \vdots & \vdots \\ 0 & 0 & \dots & 1 & 0 \\ 0 & 0 & \dots & 0 & 1 \end{pmatrix} \ . \quad (1.23)$$

1.3 Vlastní vektory a vlastní hodnoty

Působení operátoru na n které vektory vede jen k vynásobení vektoru (komplexním) číslem

$$\hat{A}|\alpha\rangle = a|\alpha\rangle \ . \quad (1.24)$$

Takovému vektoru $|\alpha\rangle$ říkáme vlastní vektor operátoru \hat{A} a číslu a vlastní hodnota p íslu-ná vlastnímu vektoru $|\alpha\rangle$. Zvolme n jakou bázi prostoru, v níž je vektor $|\alpha\rangle$ vyjád en jako

$$|\alpha\rangle = \sum_i c_i |i\rangle . \quad (1.25)$$

Zapi-me vztah (1.24) násobený zleva vektorem $|j\rangle$ jako soustavu rovnic pro koeficienty c_i

$$\sum_i c_i \langle j|\hat{A}|i\rangle = a \sum_i \underbrace{\langle j|i\rangle}_{\delta_{ji}} \Rightarrow \sum_i (A_{ji} - a \delta_{ji}) c_i = 0 . \quad (1.26)$$

Pro netriviální e-ení musí být determinant soustavy roven nule a to dává rovnici pro vlastní hodnoty a p írozen jen v principu, pokud je prostor nekone n rozm rný. V t-inou se postupuje tak, že základní rovnice (1.24) se napí-e pro ur itou konkrétní realizaci vektor Hilbertova prostoru a vlastní hodnoty vyplynou z omezení na e-ení této rovnice. Nap íklad pro vlnové funkce jedné prom nné p edstavuje (1.24) oby ejnou diferenciální rovnici a vlastní hodnoty plynou z požadavku na to, aby e-ením byla kvadraticky integrovatelná funkce (dostate n rychlý pokles v nekone nu, slabé singularity). D ležitě je, že m fme považovat za jednu z bází Hilbertova prostoru soustavu vlastních vektor vhodného hermiteovského operátoru. Nástin d kazu je následující: Pro hermiteovský operátor ($\hat{A} = \hat{A}^+$) máme

$$\left. \begin{aligned} \hat{A}|\alpha_i\rangle = a_i|\alpha_i\rangle &\Rightarrow \langle \alpha_j|\hat{A}|\alpha_i\rangle = a_i \langle \alpha_j|\alpha_i\rangle \\ \langle \alpha_j|\hat{A} = \langle \alpha_j|a_j^* &\Rightarrow \langle \alpha_j|\hat{A}|\alpha_i\rangle = a_j^* \langle \alpha_j|\alpha_i\rangle \end{aligned} \right\} \Rightarrow (a_i - a_j^*) \langle \alpha_j|\alpha_i\rangle = 0 . \quad (1.27)$$

Takže zvolíme-li $i = j$, je $\langle \alpha_j|\alpha_i\rangle \neq 0$ a musí být $a_i = a_i^*$, tj. vlastní hodnoty hermiteovského operátoru jsou reálné. Zvolíme-li $i \neq j$, je $a_i \neq a_j$ a musí být $\langle \alpha_j|\alpha_i\rangle = 0$, tj. vlastní vektory p íslu-né r zným vlastním hodnotám hermiteovského operátoru jsou ortogonální.

Zvolíme-li tedy jako bázi soustavu normovaných vlastních vektor hermiteovského operátoru \hat{A} , m fme psát jednotkový operátor podle (1.14) jako

$$\hat{I} = \sum_n |\alpha_n\rangle \langle \alpha_n| \quad (1.28)$$

a samotný operátor jako

$$\hat{A} = \sum_n |\alpha_n\rangle a_n \langle \alpha_n| . \quad (1.29)$$

asto lze definovat i funkci operátoru zobecn ěním p edchozího vztahu

$$f(\hat{A}) = \sum_n |\alpha_n\rangle f(a_n) \langle \alpha_n| . \quad (1.30)$$

1.4 Nep íjemnost s rovinnou vlnou a Diracovou delta funkcí

Rovnice pro vlastní funkce a vlastní hodnoty operátoru hybnosti

$$\frac{\hbar}{i} \frac{d\psi_p(x)}{dx} = p\psi_p(x) \quad (1.31)$$

má e-ení

$$\psi_p(x) = \frac{1}{(2\pi\hbar)^{1/2}} \exp\left[\frac{i}{\hbar} px\right] . \quad (1.32)$$

Volbu konstanty zd vodníme nífle. Funkce (1.32) jist není na intervalu $(-\infty, \infty)$ kvadraticky integrovatelná. Vlastních hodnot p je nespo etn mnoho ó operátor má spojité spektrum. Korektn vzato, funkce (1.32) do námi uvařfvaného Hilbertova prostoru nepat í. P esto b fln v kvantové mechanice s rovinnými vlnami po ítáme. Normování rovinných vln jsme zvolili tak, fle pro skalární sou in platí

$$\langle p' | p \rangle = \int_{-\infty}^{\infty} \psi_{p'}^*(x) \psi_p(x) dx = \frac{1}{2\pi\hbar} \int_{-\infty}^{\infty} \exp\left[\frac{i}{\hbar}(p-p')x\right] dx = \delta(p-p') . \quad (1.33)$$

Místo indexování celými ísly indexujeme spojitou prom nnou, vlastní funkce operátoru jsou ortogonální v tom smyslu, fle jejich skalární sou in je roven Diracov delta funkci rozdílu index (místo Kroneckerových delta index).

Rovnice pro vlastní funkce a vlastní hodnoty operátoru sou adnice

$$x\psi_\xi(x) = \xi\psi_\xi(x) \quad (1.34)$$

má e-ení

$$\psi_\xi(x) = \delta(x-\xi) . \quad (1.35)$$

Normování volíme obdobn jako u vlastních funkcí operátoru hybnosti, tj.

$$\langle \xi' | \xi \rangle = \int_{-\infty}^{\infty} \psi_{\xi'}^*(x) \psi_\xi(x) dx = \int_{-\infty}^{\infty} \delta(x-\xi') \delta(x-\xi) dx = \delta(\xi-\xi') . \quad (1.36)$$

Jednotkový operátor zapisujeme v analogii s (1.14) jako

$$\hat{1} = \int_{-\infty}^{\infty} |x\rangle \langle x| dx \quad (1.37)$$

nebo

$$\hat{1} = \int_{-\infty}^{\infty} |p\rangle \langle p| dp . \quad (1.38)$$

V analogii nalezení slořfek vektoru v bázi (1.12) pí-eme (sou adnice jako spojité index)

$$\psi(x) = \langle x | \psi \rangle \Rightarrow |\psi\rangle = \underbrace{\int_{-\infty}^{\infty} |x\rangle \langle x| dx}_{=1} \psi(x) |x\rangle dx \quad (1.39)$$

nebo (hybnost jako spojitý index)

$$\psi(p) = \langle p | \psi \rangle \Rightarrow |\psi\rangle = \underbrace{\int_{-\infty}^{\infty} |p\rangle \langle p| dp}_{=1} \psi(p) |p\rangle dp \quad (1.40)$$

Vztah (1.32) pak můžeme zapsat jako

$$\langle x | p \rangle = \frac{1}{(2\pi\hbar)^{1/2}} \exp\left[\frac{i}{\hbar} p x\right] \quad (1.41)$$

Znovu zdrazíme, že ani rovinná vlna, ani Diracova delta funkce nepatří p i korektním p ístupu do uvařovaného Hilbertova prostoru. Také není možné, aby nekone n rozm rný Hilbert v prostor m l zároveň spo etnou (v na-em p ípad $\{|h_n\rangle\}$) i nespo etnou (v na-em p ípad $\{|x\rangle\}$ nebo $\{|p\rangle\}$). P esto v-ak p i e-ení standardních problém kvantové mechaniky nevede nekorektní postup k chybným výsledk m. Je to pravd podobn dáno p íznivými vlastnostmi vzájemného vztahu prostoru ket vektor a prostoru bra funkcional ó matematicky korektní formulace je vytvo ena po zavedení tzv. Gelfandova tripletu (také nazývaného rigged Hilbert space).

1.5 P íklad ó lineární harmonický oscilátor

Hamiltonián lineárního harmonického oscilátoru je

$$H = \frac{1}{2m} p^2 + \frac{m\omega^2}{2} x^2 \quad (1.42)$$

Hamiltonovy rovnice jsou

$$\frac{dx}{dt} = \frac{\partial H}{\partial p} = \frac{p}{m}, \quad \frac{dp}{dt} = -\frac{\partial H}{\partial x} = -m\omega^2 x \quad (1.43)$$

Zavedeme bezrozm rnou prom nnou

$$a = \left(\frac{m\omega}{2\hbar}\right)^{1/2} x + i\left(\frac{1}{2m\hbar\omega}\right)^{1/2} p \quad (1.44)$$

Pro tuto prom nnou dostáváme snadno e-itelnou rovnici

$$\frac{da}{dt} + i\omega a = 0 \Rightarrow a = \alpha \exp[-i\omega t] \quad (1.45)$$

kde α je libovolná komplexní konstanta. Vyjádříme-li souřadnici a hybnost pomocí a a a^* , dostáváme

$$x = \left(\frac{\hbar}{2m\omega} \right)^{1/2} (a + a^*) \quad , \quad p = \frac{1}{i} \left(\frac{m\hbar\omega}{2} \right)^{1/2} (a - a^*) \quad . \quad (1.46)$$

Po dosazení do (1.42) dostáváme

$$H = \frac{1}{2} (a a^* + a^* a) \hbar \omega \quad . \quad (1.47)$$

Záměrně dbáme na pořadí součinitelů, protože tak můžeme hned napsat kvantově mechanický vztah pro komplexně sdružená veličina odpovídá hermiteovsky sdruženému operátoru. Můžeme tedy vztahy (1.46) a (1.47) přepsat na

$$\hat{x} = \left(\frac{\hbar}{2m\omega} \right)^{1/2} (\hat{a} + \hat{a}^\dagger) \quad , \quad \hat{p} = \frac{1}{i} \left(\frac{m\hbar\omega}{2} \right)^{1/2} (\hat{a} - \hat{a}^\dagger) \quad (1.48)$$

a

$$\hat{H} = \frac{1}{2} (\hat{a} \hat{a}^\dagger + \hat{a}^\dagger \hat{a}) \hbar \omega \quad . \quad (1.49)$$

Operátory \hat{a} a \hat{a}^\dagger jsou hermiteovsky sdružené, operátory fyzikálních veličin \hat{x} , \hat{p} a \hat{H} jsou hermiteovské. Z komutačních relací pro operátory \hat{x} a \hat{p}

$$[\hat{x}, \hat{p}] = i\hbar \hat{1} \quad (1.50)$$

dostaneme po dosazení z (1.48) komutační relaci pro operátory \hat{a} a \hat{a}^\dagger

$$[\hat{a}, \hat{a}^\dagger] = \hat{1} \quad . \quad (1.51)$$

Dosazením za $\hat{a} \hat{a}^\dagger$ ze (1.51) do (1.49) dostáváme pro Hamiltonův operátor lineárního harmonického oscilátoru výraz

$$\hat{H} = \left(\hat{N} + \frac{1}{2} \hat{1} \right) \hbar \omega \quad , \quad \hat{N} = \hat{a}^\dagger \hat{a} \quad . \quad (1.52)$$

Operátor \hat{N} má jako vlastní hodnoty nezáporná celá čísla. Dokaz není obtížný. Vezmeme nějaký normovaný vlastní vektor $|n\rangle$ s vlastní hodnotou n . Máme tedy

$$\hat{N} |n\rangle = n |n\rangle \quad \stackrel{\langle n|}{\Rightarrow} \quad n = \langle n | \hat{N} |n\rangle = (\langle n | \hat{a}^\dagger) (a |n\rangle) = \left| \langle a |n\rangle \right|^2 \geq 0 \quad . \quad (1.53)$$

Dále z komutačních relací

$$\begin{aligned} [\hat{N}, \hat{a}^+] &= \hat{a}^+ \overset{|n\rangle}{\Rightarrow} \hat{N}(\hat{a}^+|n\rangle) = (n+1)(\hat{a}^+|n\rangle) \quad , \\ [\hat{N}, \hat{a}] &= -\hat{a} \overset{|n\rangle}{\Rightarrow} \hat{N}(\hat{a}|n\rangle) = (n-1)(\hat{a}|n\rangle) \quad . \end{aligned} \quad (1.54)$$

Je tedy $\hat{a}^+|n\rangle$ vlastním vektorem operátoru \hat{N} s vlastní hodnotou $n+1$ a $\hat{a}|n\rangle$ vlastním vektorem operátoru \hat{N} s vlastní hodnotou $n-1$, tedy

$$\hat{a}^+|n\rangle = \lambda_n|n+1\rangle \quad , \quad \hat{a}|n\rangle = \mu_n|n-1\rangle \quad . \quad (1.55)$$

Konstanty λ_n a μ_n získáme z

$$\begin{aligned} |\lambda_n|^2 &= |(\hat{a}^+|n\rangle)|^2 = (\langle n|\hat{a})(\hat{a}^+|n\rangle) = \langle n|\hat{a}\hat{a}^+|n\rangle = \langle n|\hat{N}+1|n\rangle = n+1 \quad , \\ |\mu_n|^2 &= |(\hat{a}|n\rangle)|^2 = (\langle n|\hat{a}^+)(\hat{a}|n\rangle) = \langle n|\hat{a}^+\hat{a}|n\rangle = \langle n|\hat{N}|n\rangle = n \quad . \end{aligned} \quad (1.56)$$

Konstanty zvolíme jako reálná čísla a dostáváme tak konečné vyjádření působení kreací (\hat{a}^+) a anihilačního (\hat{a}) operátoru na vlastní vektory operátoru \hat{N}

$$\hat{a}^+|n\rangle = (n+1)^{1/2}|n+1\rangle \quad , \quad \hat{a}|n\rangle = n^{1/2}|n-1\rangle \quad . \quad (1.57)$$

Přirozen

$$\hat{N}|n\rangle = \hat{a}^+\hat{a}|n\rangle = \hat{a}^+(n^{1/2}|n-1\rangle) = n^{1/2}\hat{a}^+|n-1\rangle = n|n\rangle \quad . \quad (1.58)$$

Pro Hamiltonův operátor lineárního harmonického oscilátoru máme pak

$$\hat{H}|n\rangle = E_n|n\rangle \quad , \quad E_n = \left(n + \frac{1}{2}\right)\hbar\omega \quad . \quad (1.59)$$

Vektor popisující základní stav s $n=0$ splňuje

$$\hat{a}|0\rangle = 0 \quad . \quad (1.60)$$

Zapíšeme-li tento vztah s operátory v souřadnicové reprezentaci, dostáváme rovnici

$$\frac{dh_0(x)}{dx} + \frac{m\omega x}{\hbar}h_0(x) = 0 \quad , \quad (1.61)$$

její řešení normované řešení je

$$h_0(x) = \left(\frac{m\omega}{\pi\hbar}\right)^{1/4} \exp\left[-\frac{m\omega}{2\hbar}x^2\right] \quad . \quad (1.62)$$

Funkce, odpovídající vyšším energetickým hladinám dostaneme podle (1.57) jako

$$h_n(x) = \left(\frac{m\omega}{2\hbar n}\right)^{1/2} \left(xh_{n-1}(x) - \frac{\hbar}{m\omega} \frac{dh_{n-1}(x)}{dx}\right) \quad . \quad (1.63)$$

2. Princip superposice

2.1 Feynmanova formulace

1. Pravd podobnost P , že v ideálním experimentu nastane nějaký jev, je dána druhou mocninou absolutní hodnoty komplexního čísla ϕ , které nazýváme *amplitudou pravd podobnosti*

$$P = |\phi|^2 \quad . \quad (2.1)$$

2. Mě-li k nějakému jevu dojít několika možnými způsoby, a nerozlišíme-li v experimentu jednotlivé způsoby, je celková amplituda pravd podobnosti jevu dána součtem amplitud pravd podobnosti jednotlivých způsobů

$$\phi = \sum_n \phi_n \quad , \quad P = |\phi|^2 \quad . \quad (2.2)$$

3. Mě-li k nějakému jevu dojít několika možnými způsoby, a rozlišíme-li v experimentu jednotlivé způsoby, je celková pravd podobnost jevu dána součtem pravd podobností jednotlivých způsobů

$$P_n = |\phi_n|^2 \quad , \quad P = \sum_n P_n \quad . \quad (2.3)$$

2.2 Formulace Landaua a Lifšice

1. Stav soustavy je popsán komplexní funkcí souřadnic konfigurace q prostoru q , kvadrát modulu této funkce určuje hustotu pravd podobnosti; $|\Psi(q)|^2 dq$ je pravd podobnost toho, že při experimentu nalezneme souřadnice v intervalu $q, q+dq$. Součet pravd podobností všech možných hodnot souřadnic musí dát jednotku, je tedy pro vlnovou funkci

$$\int |\Psi(q)|^2 dq = 1 \quad . \quad (2.4)$$

2. Stav pod-soustavy charakterizované souřadnicemi q , která je součástí soustavy popsané funkcí souřadnic konfigurace Q prostoru $\Psi(q, Q)$ je popsán maticí hustoty $\rho(q, q')$; $\rho(q, q) dq$ je pravd podobnost toho, že při experimentu nalezneme souřadnice v intervalu $q, q+dq$ a platí

$$\rho(q, q') = \int \Psi(q, Q) \Psi^*(q', Q) dQ \quad . \quad (2.5)$$

3. Vede-li ve stavu s normovanou vlnovou funkcí $\Psi_n(q)$ nějaký měření fyzikální veličiny f k určitému výsledku f_n , popisuje vlnová funkce

$$\Psi(q) = \sum_n a_n \Psi_n(q) \quad , \quad \sum_n |a_n|^2 = 1 \quad (2.6)$$

stav, ve kterém naměříme hodnotu f_n s pravděpodobností $|a_n|^2$.

4. Nachází-li se soustava před měřením ve stavu s normovanou vlnovou funkcí $\Psi_n(q)$, potom při měření fyzikální veličiny f nalezneme s určitostí hodnotu f_n , ale po měření bude soustava ve stavu popsaném normovanou vlnovou funkcí $\Phi_n(q)$, a pravděpodobnost nalezení hodnoty f_m v okamžité následujícím měření bude $|b_m|^2$, kde

$$b_m = \int \Psi_n^*(q) \Phi_m(q) dq \quad , \quad \sum_m |b_m|^2 = 1 \quad . \quad (2.7)$$

3. Matematický popis

3.1 Základní popis Hilbertův prostor

1. Stav soustavy je popsán paprskem v Hilbertově prostoru $H = c|\psi\rangle$, kde $|\psi\rangle \in H, c \in \mathbb{C}$.

2. Dynamické proměnné jsou reprezentovány hermiteovskými operátory v tomto prostoru.

Poznámky:

K prostoru *ket* vektor $c|\psi\rangle$ zkonstruujeme duální prostor *bra* vektor $\langle\psi|$ pomocí jednoznačného zobrazení

$$|\alpha\rangle \leftrightarrow \langle\alpha| \quad , \quad c_\alpha|\alpha\rangle + c_\beta|\beta\rangle \leftrightarrow c_\alpha^*\langle\alpha| + c_\beta^*\langle\beta| \quad . \quad (3.1)$$

Skalární součin v Hilbertově prostoru H definuje vnitřní součin *bra* a *ket* vektor

$$\langle\alpha|\beta\rangle \equiv (|\alpha\rangle, |\beta\rangle) \quad . \quad (3.2)$$

Připomejme známé vlastnosti skalárního součinu

$$\begin{aligned} (|f\rangle, c|g\rangle) &= c(|f\rangle, |g\rangle) \quad , \quad (c|f\rangle, |g\rangle) = c^*(|f\rangle, |g\rangle) \quad , \\ (|f\rangle, |g\rangle) &= (|g\rangle, |f\rangle)^* \quad . \end{aligned} \quad (3.3)$$

Hermiteovský sdružený operátor je definován pomocí vztahu

$$(|f\rangle, \hat{O}|g\rangle) = (\hat{O}^+|f\rangle, |g\rangle) \quad , \quad (|f\rangle, \hat{O}|g\rangle) = (|g\rangle, \hat{O}^+|f\rangle)^* \quad . \quad (3.4)$$

3.2 Axiomy

1. Výsledkem měření fyzikální veličiny může být pouze jedna z vlastních hodnot odpovídajícího operátoru.

2. Nachází-li se soustava ve stavu, který odpovídá vlastní hodnotě operátoru \hat{A} rovné α_n , je pravděpodobnost toho, že měření veličiny \hat{B} dá hodnotu β_m rovna $|\langle \beta_m | \alpha_n \rangle|^2$, kde

$$\hat{A}|\alpha_n\rangle = \alpha_n|\alpha_n\rangle, \quad \hat{B}|\beta_m\rangle = \beta_m|\beta_m\rangle. \quad (3.5)$$

Obdobně pro spojité spektrum operátoru \hat{B} je pravděpodobnost toho, že měření dá hodnotu z intervalu $(\beta, \beta+d\beta)$ rovna $|\langle \beta | \alpha_n \rangle|^2 d\beta$.

3. Operátory \hat{A} a \hat{B} odpovídající klasickým veličinám A a B splývají komutační relace

$$[\hat{A}, \hat{B}] \equiv \hat{A}\hat{B} - \hat{B}\hat{A} = i\hbar\hat{C}, \quad (3.6)$$

kde klasická veličina C je dána Poissonovou závorkou klasických veličin A a B

$$C = \{A, B\} \equiv \sum_i \left(\frac{\partial A}{\partial q_i} \frac{\partial B}{\partial p_i} - \frac{\partial A}{\partial p_i} \frac{\partial B}{\partial q_i} \right). \quad (3.7)$$

3.3 Reprezentace, rozklad jednotky

Vlastní hodnoty hermiteovského operátoru jsou reálná čísla a vlastní vektory příslušné různým vlastním hodnotám jsou ortogonální. Důkaz není obtížný. Pro hermiteovský operátor platí

$$\hat{A}|a\rangle = \alpha|a\rangle, \quad \langle a' | \hat{A} = \langle a' | \alpha'^* \quad (3.8)$$

Po vynásobení první rovnice *bra* vektorem $\langle a' |$ a druhé rovnice *ket* vektorem $|a\rangle$ a odečtení dostáváme $(\alpha - \alpha'^*)\langle a' | a \rangle = 0$, odkud plyne tvrzení. Při výpočtech je užitečné, jsou-li vlastní vektory normovány na jednotku, tj. $\langle a | a \rangle = 1$. Obecný stavový vektor pak můžeme napsat jako lineární kombinaci vlastních vektorů nějakého hermiteovského operátoru (předpokládejme operátor s diskrétním spektrem)

$$|\psi\rangle = \sum_n c_n |a_n\rangle, \quad c_n = \langle a_n | \psi \rangle. \quad (3.9)$$

Z normovací podmínky $\langle \psi | \psi \rangle = 1$ dostaneme

$$\begin{aligned} \langle \psi | \psi \rangle &= \sum_n \sum_m c_n c_m^* \langle a_m | a_n \rangle \Rightarrow \sum_n c_n c_n^* = 1, \\ 1 &= \sum_n c_n c_n^* = \sum_n \langle \psi | a_n \rangle \langle a_n | \psi \rangle = \langle \psi | \left(\sum_n |a_n\rangle \langle a_n| \right) | \psi \rangle \Rightarrow \\ &\sum_n |a_n\rangle \langle a_n| = \hat{1}. \end{aligned} \quad (3.10)$$

Výše uvedený zápis jednotkového operátoru budeme velmi často využívat.

3.4 Vlnová funkce

Velmi důležitým operátorem se spojitým spektrem je operátor souřadnice, který bude pro nás mít jako vlastní hodnoty přirozené souřadnice

$$\hat{Q}|q\rangle = q|q\rangle \quad . \quad (3.11)$$

Pro libovolný stavový vektor do vlastního vektoru operátoru souřadnice je vlnová funkce

$$\psi(q) \equiv \langle q|\psi\rangle \quad , \quad \psi_n(q) \equiv \langle q|a_n\rangle \quad . \quad (3.12)$$

V souřadnicové reprezentaci tedy píšeme

$$\Psi(q) = \sum_n c_n \Psi_n(q) \quad , \quad c_n = \int \Psi(q) \Psi_n^*(q) dq \quad (3.13)$$

a normovací podmínky máme vyjádřeny jako

$$\int \Psi_m(q) \Psi_n^*(q) dq = \delta_{mn} \quad , \quad \sum_n c_n c_n^* = \int \Psi(q) \Psi^*(q) dq = 1 \quad . \quad (3.14)$$

Obdobně pro operátory se spojitým spektrem

$$\Psi(q) = \int c_f \Psi_f(q) df \quad , \quad c_f = \int \Psi(q) \Psi_f^*(q) dq \quad (3.15)$$

a

$$\int \Psi_f(q) \Psi_g^*(q) dq = \delta(f-g) \quad , \quad \int c_f c_f^* df = \int \Psi(q) \Psi^*(q) dq = 1 \quad . \quad (3.16)$$

3.5 Maticová reprezentace

Napišme je tedy jednou nejdůležitější vztahy. Vlastní vektory hermiteovského operátoru tvoří ortonormální bázi

$$\begin{aligned} \langle a_m|a_n\rangle &= \delta_{mn} \quad , \quad \langle a_f|a_g\rangle = \delta(f-g) \quad , \\ \sum_n |a_n\rangle\langle a_n| &= \hat{1} \quad , \quad \int |a_f\rangle\langle a_f| df = \hat{1} \quad . \end{aligned} \quad (3.17)$$

Koeficienty rozkladu obecného stavového vektoru $|\psi\rangle$ v dané bázi získáme jako

$$c_n = \langle a_n|\psi\rangle \quad , \quad c_f = \langle a_f|\psi\rangle \quad . \quad (3.18)$$

V dané bázi lze vyjádřit působení operátoru na stavový vektor jako maticové násobení

$$|\chi\rangle = \hat{B}|\psi\rangle \Rightarrow \langle a_n|\chi\rangle = \langle a_n|\hat{B}\left(\sum_m |a_m\rangle\langle a_m|\right)|\psi\rangle = \sum_m \langle a_n|\hat{B}|a_m\rangle\langle a_m|\psi\rangle \quad , \quad (3.19)$$

tedy

$$|\chi_n\rangle = \sum_m B_{nm} |\psi_m\rangle \quad . \quad (3.20)$$

Maticové operátoru v bázi tvořené jeho vlastními vektory je diagonální

$$A_{nm} = \langle a_n | \hat{A} | a_m \rangle = a_n \delta_{nm} \quad . \quad (3.21)$$

Pro komutující operátory \hat{A} a \hat{B} platí

$$\begin{aligned} \langle a_i | \hat{A} \sum_k |a_k\rangle \langle a_k | \hat{B} | a_j \rangle &= \langle a_i | \hat{B} \sum_k |a_k\rangle \langle a_k | \hat{A} | a_j \rangle \quad , \\ a_i \langle a_i | \hat{B} | a_j \rangle &= a_j \langle a_i | \hat{B} | a_j \rangle \quad \Rightarrow \quad \langle a_i | \hat{B} | a_j \rangle = \langle a_i | \hat{B} | a_i \rangle \delta_{ij} \quad . \end{aligned} \quad (3.22)$$

3.6 Zápís Schrödingerovy rovnice v maticové reprezentaci

Pro jednoduchost uvažujme Hilbert v prostoru konečné dimenze s ortonormální bází $\{|n\rangle\}$. Upravme Schrödingerovu rovnici

$$\frac{d}{dt} |\psi(t)\rangle = \hat{H} |\psi(t)\rangle \quad (3.23)$$

na

$$i\hbar \frac{d}{dt} \langle m | \psi(t) \rangle = \langle m | \hat{H} \sum_n |n\rangle \langle n | \psi(t) \rangle \quad . \quad (3.24)$$

Rovnici (3.23) jsme zleva vynásobili vektorem báze $\langle m |$ a na pravé straně jsme vložili mezi hamiltonián a stavový vektor jednotkový operátor. S označením

$$C_n(t) = \langle n | \psi(t) \rangle \quad , \quad H_{mn} = \langle m | \hat{H} | n \rangle \quad (3.25)$$

přepíšeme (3.24) na

$$i\hbar \frac{dC_m(t)}{dt} = \sum_n H_{mn} C_n(t) \quad . \quad (3.26)$$

Platí pro inverzi

$$H_{mn} = H_{nm}^* \quad . \quad (3.27)$$

Pro koeficienty $C_n(t)$ platí (opět trik s vložením jednotkového operátoru)

$$1 = \langle \psi(t) | \psi(t) \rangle = \langle \psi(t) | \sum_n |n\rangle \langle n | \psi(t) \rangle = \sum_n C_n^*(t) C_n(t) \quad . \quad (3.28)$$

Pro souadnicovou reprezentaci jsou úvahy obdobné, jen dimenze je nekonečná a není spočetná. Maticové elementy hermiteovského operátoru jsou adnice v bázi jeho vlastních vektorů jsou diagonální

$$\langle x_2 | \hat{x} | x_1 \rangle = x_2 \langle x_2 | x_1 \rangle = x_1 \langle x_2 | x_1 \rangle \Rightarrow \langle x_2 | x_1 \rangle \sim \delta(x_2 - x_1) \quad . \quad (3.29)$$

Normování vektor báze a jednotkový operátor jsou

$$\langle x | y \rangle = \delta(x - y) \quad , \quad \int |x\rangle \langle x| dx = \mathbb{1} \quad . \quad (3.30)$$

Schrödingerovu rovnici (3.23) napíšeme v sou adnicové bázi jako

$$i\hbar \frac{\partial \psi(x)}{\partial t} = \int \langle x | \hat{H} | y \rangle \psi(y) dy \quad , \quad (3.31)$$

kde jsme ozna ili

$$\psi(x) \equiv \langle x | \psi \rangle \quad . \quad (3.32)$$

asovou derivaci nyní pí-eme jako parciální, aby byla odli-ena od derivací podle prostorových sou adnic ó to u diskrétní báze nebylo t eba. Jak vypadají komuta ní relace? Pro sou adnici a sdrufenou hybnost máme

$$\hat{x} \hat{p} - \hat{p} \hat{x} = i\hbar \mathbb{1} \quad . \quad (3.33)$$

Postupnými úpravami dostaneme

$$\begin{aligned} \int \langle x_1 | \hat{x} | y \rangle \langle y | \hat{p} | x_2 \rangle dy - \int \langle x_1 | \hat{p} | y \rangle \langle y | \hat{x} | x_2 \rangle dy &= i\hbar \langle x_1 | x_2 \rangle \quad , \\ \int \langle x_1 | y | y \rangle \langle y | \hat{p} | x_2 \rangle dy - \int \langle x_1 | \hat{p} | y \rangle \langle y | x_2 | x_2 \rangle dy &= i\hbar \langle x_1 | x_2 \rangle \quad , \\ \int y \delta(x_1 - y) \langle y | \hat{p} | x_2 \rangle dy - \int x_2 \langle x_1 | \hat{p} | y \rangle \delta(y - x_2) dy &= i\hbar \delta(x_1 - x_2) \end{aligned} \quad (3.34)$$

a tedy nakonec

$$\begin{aligned} (x_1 - x_2) \langle x_1 | \hat{p} | x_2 \rangle &= i\hbar \delta(x_1 - x_2) \Rightarrow \\ \langle x_1 | \hat{p} | x_2 \rangle &= \frac{\hbar}{i} \frac{d\delta(x_1 - x_2)}{dx_1} = i\hbar \frac{d\delta(x_1 - x_2)}{dx_2} \quad . \end{aligned} \quad (3.35)$$

Jak je to s druhou mocninou?

$$\begin{aligned} \langle x_1 | \hat{p}^2 | x_2 \rangle &= \int \langle x_1 | \hat{p} | y \rangle \langle y | \hat{p} | x_2 \rangle dy = -\hbar^2 \int \frac{d\delta(x_1 - y)}{dx_1} \frac{d\delta(y - x_2)}{dy} dy = \\ \hbar^2 \int \frac{d^2 \delta(x_1 - y)}{dx_1 dy} \delta(y - x_2) dy &= \hbar^2 \frac{d^2 \delta(x_1 - x_2)}{dx_1 dx_2} = -\hbar^2 \frac{d^2 \delta(x_1 - x_2)}{dx_2^2} \quad . \end{aligned} \quad (3.36)$$

Zjednodu-ení zápisu

$$\langle x | \hat{p} | \psi \rangle = \int \langle x | \hat{p} | y \rangle \langle y | \psi \rangle dy = \int i\hbar \frac{d\delta(x - y)}{dy} \psi(y) dy = \frac{\hbar}{i} \frac{d\psi(x)}{dx} \quad (3.37)$$

nebo

$$\langle x | \hat{p}^2 | \psi \rangle = \int \langle x | \hat{p}^2 | y \rangle \langle y | \psi \rangle dy = -\hbar^2 \int \frac{d^2 \delta(x-y)}{dy^2} \psi(y) dy = -\hbar^2 \frac{d^2 \psi(x)}{dx^2} . \quad (3.38)$$

3.7 Relace neur itosti

Máme dva hermiteovské operátory \hat{A} a \hat{B} . Jejich komutátor je antihermiteovský operátor $i\hat{C}$, kde \hat{C} je hermiteovský. Zavedeme označení pro střední hodnotu operátoru $\langle \hat{O} \rangle = \langle \psi | \hat{O} | \psi \rangle$, při němž $\langle \psi | \psi \rangle = 1$ a definujeme neur itost jako

$$\Delta \hat{O} = \sqrt{\langle (\hat{O} - \langle \hat{O} \rangle)^2 \rangle} . \quad (3.39)$$

Zobecněnými relacemi neur itosti nazýváme nerovnost

$$\Delta \hat{A} \Delta \hat{B} \geq \frac{1}{2} |\langle \psi | [\hat{A}, \hat{B}] | \psi \rangle| . \quad (3.40)$$

K d kazu uflijeme Schwarzovy nerovnosti

$$\begin{aligned} \langle f | f \rangle \langle g | g \rangle &\geq |\langle f | g \rangle|^2 , \quad |f\rangle = (\hat{A} - \langle \hat{A} \rangle) | \psi \rangle , \quad |g\rangle = (\hat{B} - \langle \hat{B} \rangle) | \psi \rangle , \\ (\Delta \hat{A})^2 (\Delta \hat{B})^2 &\geq |\langle \psi | (\hat{A} - \langle \hat{A} \rangle) (\hat{B} - \langle \hat{B} \rangle) | \psi \rangle|^2 . \end{aligned} \quad (3.41)$$

Pro každý nezáporný operátor platí totifl

$$\begin{aligned} \langle f + \lambda g | \hat{O} | f + \lambda g \rangle &\geq 0 , \quad \lambda = -\frac{\langle g | \hat{O} | f \rangle}{\langle g | \hat{O} | g \rangle} \Rightarrow \\ \langle f | \hat{O} | f \rangle - \frac{|\langle f | \hat{O} | g \rangle|^2}{\langle g | \hat{O} | g \rangle} &\geq 0 . \end{aligned} \quad (3.42)$$

Úpravou

$$(\hat{A} - \langle \hat{A} \rangle) (\hat{B} - \langle \hat{B} \rangle) = \hat{D} + \frac{i}{2} \hat{C} , \quad (3.43)$$

kde \hat{C} a \hat{D} jsou hermiteovské operátory

$$\begin{aligned} \hat{D} &= \frac{1}{2} [(\hat{A} - \langle \hat{A} \rangle) (\hat{B} - \langle \hat{B} \rangle) + (\hat{B} - \langle \hat{B} \rangle) (\hat{A} - \langle \hat{A} \rangle)] , \\ \hat{C} &= \frac{1}{i} [(\hat{A} - \langle \hat{A} \rangle) (\hat{B} - \langle \hat{B} \rangle) - (\hat{B} - \langle \hat{B} \rangle) (\hat{A} - \langle \hat{A} \rangle)] . \end{aligned} \quad (3.44)$$

dospíváme kone n k výsledku

$$(\Delta \hat{A})^2 (\Delta \hat{B})^2 \geq \langle \hat{D} \rangle^2 + \frac{1}{4} \langle \hat{C} \rangle^2 \geq \frac{1}{4} \langle \hat{C} \rangle^2 . \quad (3.45)$$

Rovnost (stavy s minimem neur itosti) nastává tehdy, je-li spln no

$$\left(\hat{A} - \langle \hat{A} \rangle\right)|\psi\rangle = \lambda \left(\hat{B} - \langle \hat{B} \rangle\right)|\psi\rangle \quad , \quad \lambda + \lambda^* = 0 \quad . \quad (3.46)$$

Potom je

$$\langle \psi | \hat{D} | \psi \rangle = 0 \quad . \quad (3.47)$$

Nejznám j-ím p íkladem jsou Heisenbergovy relace neur itosti pro operátory sou adnice \hat{q} a \hat{p} k ní p íslu-né hybnosti \hat{p}

$$\Delta \hat{q} \Delta \hat{p} \geq \frac{\hbar}{2} \quad . \quad (3.48)$$

V sou adnicové representaci

$$\begin{aligned} \hat{A} = \hat{q} = x \quad , \quad \hat{B} = \hat{p} = \frac{\hbar}{i} \frac{d}{dx} \quad , \quad \hat{C} = \frac{1}{i} [\hat{A}, \hat{B}] = \hbar \hat{1} \quad , \\ \langle \hat{q} \rangle = x_0 \quad , \quad \langle \hat{p} \rangle = p_0 \quad , \quad \Delta \hat{q} = \delta x \quad . \end{aligned} \quad (3.49)$$

Rovnice pro stav s minimální neur itostí je pak

$$\frac{\hbar}{i} \frac{d\psi(x)}{dx} = \left[\frac{x - x_0}{\lambda} + p_0 \right] \psi(x) \quad . \quad (3.50)$$

Normovaným e-ením je

$$\psi(x) = \frac{1}{(2\pi)^{1/4} (\delta x)^{1/2}} \exp \left\{ \frac{i}{\hbar} p_0 x - \frac{(x - x_0)^2}{4(\delta x)^2} \right\} \quad . \quad (3.51)$$

4. Základní operátory v sou adnicové representaci

4.1 Hamilton v operátor (hamiltonián)

Vlnová funkce úpln ur uje stav soustavy. Zadání vlnové funkce v ur ítém okamfíku musí tedy ur ovat její chování v budoucnosti, musí proto derivace $\partial\Psi/\partial t|_{t=t_0}$ lineárn záviset na $\Psi(t_0)$. Obecná závislost je (Schrödingerova rovnice)

$$i\hbar \frac{\partial \Psi}{\partial t} = \hat{H} \Psi \quad , \quad (4.1)$$

kde \hat{H} je n jaký lineární operátor, faktor $i\hbar$ je vy len n pro korespondenci p i kvasiklasické aproximaci. Tam p edpokládáme vlnovou funkci ve tvaru $\Psi = A \exp\{iS/\hbar\}$, kde A je pomalu

se m ní cí amplituda a S/\hbar rychle se m ní cí fáze vlny. S je klasický ú inek (e-ení Hamiltonovy - Jacobiho rovnice), \hbar je Planckova konstanta. Potom

$$i\hbar \frac{\partial \Psi}{\partial t} = -\frac{\partial S}{\partial t} \Psi \quad , \quad -\frac{\partial S}{\partial t} \Psi = H\left(\frac{\partial S}{\partial \vec{r}}, \vec{r}, t\right) \quad , \quad (4.2)$$

kde H je Hamiltonova funkce. Této fyzikální veli in p i adíme operátor \hat{H} . Hamilton v operátor \hat{H} je hermiteovský, což vidíme z následujících úprav

$$\begin{aligned} \frac{d}{dt} \int |\Psi(q,t)|^2 dq &= \int \frac{\partial \Psi^*(q,t)}{\partial t} \Psi(q,t) dq + \int \Psi^*(q,t) \frac{\partial \Psi(q,t)}{\partial t} dq = \\ &= -\frac{i}{\hbar} \int [\hat{H} \Psi(q,t)]^* \Psi(q,t) dq + \frac{i}{\hbar} \int \Psi^*(q,t) \hat{H} \Psi(q,t) dq = \\ &= \frac{i}{\hbar} \int \Psi^*(q,t) [\hat{H} - \hat{H}^+] \Psi(q,t) dq = 0 \quad \Rightarrow \quad \hat{H} = \hat{H}^+ \quad . \end{aligned} \quad (4.3)$$

4.2 Operátory hybnosti a momentu hybnosti

Uvaflujme uzav enou soustavu ástic bez vn j-ího pole. Hamiltonián soustavy se nezm ní p i paralelním p enosu soustavy o libovolnou vzdálenost, budeme v-ak uvaflvat jen infinitesimální posunutí, tj. transformaci $\vec{r}_a \rightarrow \vec{r}_a + \delta \vec{r}$. P i ní se vlnová funkce (sou adnicová reprezentace stavového vektoru) transformuje jako

$$\begin{aligned} \Psi(\vec{r}_a + \delta \vec{r}) &= \Psi(\vec{r}_a) + \delta \vec{r} \cdot \sum_a \vec{\nabla}_a \Psi(\vec{r}_a) = \hat{O} \Psi(\vec{r}_a) \quad , \\ \hat{O} &= \hat{1} + \delta \vec{r} \cdot \sum_a \vec{\nabla}_a \quad . \end{aligned} \quad (4.4)$$

Tvrzení, že n jaká transformace nem ní hamiltonián, znamená toto: transformujeme-li funkci $\hat{H} \Psi$, je výsledek stejný, jako kdyfl p sobíme \hat{H} na transformovanou funkci $\hat{O} \Psi$. Je tedy

$$[\hat{O}, \hat{H}] = 0 \quad . \quad (4.5)$$

V d sledku homogenity prostoru komutuje s hamiltoniánem operátor

$$\sum_a \vec{\nabla}_a \hat{H} - \hat{H} \sum_a \vec{\nabla}_a = 0 \quad . \quad (4.6)$$

Vzhledem k tomu, že invarianci v i posunutí odpovídá v klasické mechanice zákon zachování hybnosti, bude operátor hybnosti ú m rný operátoru $\vec{\nabla}$. Operátor hybnosti jedné ástice je tedy

$$\hat{p} = \frac{\hbar}{i} \vec{\nabla} \quad (4.7)$$

a pro kvasiklasickou vlnovou funkci

$$\overset{\text{ss}}{p} \Psi = (\vec{\nabla} S) \Psi \quad . \quad (4.8)$$

Uvaflujme op t uzav enou soustavu ástic bez vn j-ího pole. Hamiltonián soustavy se nezm ní p i oto ení soustavy o libovolný úhel kolem libovolné osy, budeme v-ak uvaflovat jen infinitesimální pooto ení, tj. transformaci $\vec{r}_a \rightarrow \vec{r}_a + \delta\vec{\phi} \times \vec{r}_a$. P i ní se vlnová funkce transformuje jako

$$\begin{aligned} \Psi(\vec{r}_a + \delta\vec{r}) &= \Psi(\vec{r}_a) + \sum_a (\delta\vec{\phi} \times \vec{r}_a) \cdot \vec{\nabla}_a \Psi(\vec{r}_a) = \overset{\text{O}}{\Delta} \Psi(\vec{r}_a) \quad , \\ \overset{\text{O}}{\Delta} &= \overset{\text{I}}{\Delta} + \delta\vec{\phi} \cdot \sum_a \vec{r}_a \times \vec{\nabla}_a \quad . \end{aligned} \quad (4.9)$$

V d sledku isotropie prostoru komutuje s hamiltoniánem operátor $\sum_a \vec{r}_a \times \vec{\nabla}_a$:

$$\sum_a \vec{r}_a \times \vec{\nabla}_a \overset{\text{H}}{\Delta} - \overset{\text{H}}{\Delta} \sum_a \vec{r}_a \times \vec{\nabla}_a = 0 \quad . \quad (4.10)$$

Bezrozm rný operátor momentu hybnosti jedné ástice \vec{l} je

$$\vec{l} = -i(\vec{r} \times \vec{\nabla}) \quad . \quad (4.11)$$

Operátor momentu hybnosti (rozm r Planckovy konstanty) je pak

$$\overset{\text{ss}}{L} = \vec{r} \times \overset{\text{ss}}{p} = \frac{\hbar}{i} \vec{r} \times \vec{\nabla} \quad (4.12)$$

a pro kvasiklasickou aproximaci tedy

$$\overset{\text{L}}{\Delta} \Psi = (\vec{r} \times \vec{\nabla} S) \Psi \quad . \quad (4.13)$$

P ipomeneme podmínku toho, aby operátor byl hermiteovský:

$$\langle \varphi | \overset{\text{O}}{\Delta} \psi \rangle - (\langle \psi | \overset{\text{O}}{\Delta} \varphi \rangle)^* = 0 \quad . \quad (4.14)$$

Pro operátor hybnosti je to¹

$$\begin{aligned} & \int_V \varphi^*(\vec{r}) \frac{\hbar}{i} \vec{\nabla} \psi(\vec{r}) dV - \left(\int_V \psi^*(\vec{r}) \frac{\hbar}{i} \vec{\nabla} \varphi(\vec{r}) dV \right)^* = \\ & \frac{\hbar}{i} \int_V \vec{\nabla} [\varphi^*(\vec{r}) \psi(\vec{r})] dV = \frac{\hbar}{i} \int_S \varphi^*(\vec{r}) \psi(\vec{r}) \vec{n} dS = 0 \quad . \end{aligned}$$

¹ $\int_V \vec{\nabla} \Phi(\vec{r}) dV = \int_S \Phi(\vec{r}) \vec{n} dS$

Tato podmínka je splněna, je-li na hranici vlnová funkce nulová (pří objemu s jistou symetrií také periodická). Pro nekonečný objem musí vlnová funkce dostatečně rychle klesat k nule. Pro operátor momentu hybnosti máme²

$$\int_V \varphi^*(\vec{r}) \left[\vec{r} \times \frac{\hbar}{i} \vec{\nabla} \right] \psi(\vec{r}) dV - \left(\int_V \psi^*(\vec{r}) \left[\vec{r} \times \frac{\hbar}{i} \vec{\nabla} \right] \varphi(\vec{r}) dV \right)^* =$$

$$\frac{\hbar}{i} \int_V \vec{r} \times \vec{\nabla} [\varphi^*(\vec{r}) \psi(\vec{r})] dV = -\frac{\hbar}{i} \int_V \vec{\nabla} \times [\vec{r} \varphi^*(\vec{r}) \psi(\vec{r})] dV = \frac{\hbar}{i} \int_S \vec{r} \varphi^*(\vec{r}) \psi(\vec{r}) \times \vec{n} dS = 0 \quad .$$

Opět je tedy podmínkou, aby operátor definovaný pro funkce v nekonečném objemu byl hermiteovský, dostatečně rychlý pokles vlnové funkce k nule.

4.3 Rovnice kontinuity

Pro klasickou Hamiltonovu funkci

$$H(\vec{p}, \vec{r}, t) = \frac{\vec{p}^2}{2m} + U(\vec{r}, t) \quad (4.15)$$

Bude mít Schrödingerova rovnice (4.1) tvar

$$-\frac{\hbar^2}{2m} \Delta \Psi(\vec{r}, t) + U(\vec{r}, t) \Psi(\vec{r}, t) = i\hbar \frac{\partial}{\partial t} \Psi(\vec{r}, t) \quad , \quad (4.16)$$

kde $\Delta = \vec{\nabla} \cdot \vec{\nabla}$ Laplaceův operátor. Rovnice komplexně sdružená ke (4.16) je

$$-\frac{\hbar^2}{2m} \Delta \Psi^*(\vec{r}, t) + U(\vec{r}, t) \Psi^*(\vec{r}, t) = -i\hbar \frac{\partial}{\partial t} \Psi^*(\vec{r}, t) \quad . \quad (4.17)$$

Vynásobení rovnice (4.16) funkcí $\Psi^*(\vec{r}, t)$ a rovnice (4.17) funkcí $\Psi(\vec{r}, t)$ získáme dva vztahy, které po odečtení dávají

$$-\frac{\hbar^2}{2m} (\Psi^* \Delta \Psi - \Psi \Delta \Psi^*) = i\hbar \left(\Psi^* \frac{\partial \Psi}{\partial t} + \Psi \frac{\partial \Psi^*}{\partial t} \right) \quad .$$

Pravá strana je derivací součinu funkcí, levou stranu můžeme zapsat jako divergenci vektoru, protože

$$\Psi^* \Delta \Psi - \Psi \Delta \Psi^* = \Psi^* \vec{\nabla} \cdot (\vec{\nabla} \Psi) - \Psi \vec{\nabla} \cdot (\vec{\nabla} \Psi^*) = \vec{\nabla} \cdot (\Psi^* \vec{\nabla} \Psi - \Psi \vec{\nabla} \Psi^*) \quad .$$

Dostáváme tak rovnici kontinuity

$$\vec{\nabla} \cdot (\Psi^* \vec{\nabla} \Psi - \Psi \vec{\nabla} \Psi^*) = -\vec{\nabla} \cdot \vec{F}(\vec{r}) \quad , \quad \int_V \vec{\nabla} \cdot \vec{F}(\vec{r}) dV = - \int_S \vec{F}(\vec{r}) \times \vec{n} dS$$

$$\frac{\partial \rho(\vec{r}, t)}{\partial t} + \vec{\nabla} \cdot \vec{j}(\vec{r}, t) = 0 \quad , \quad \rho(\vec{r}, t) = \Psi^*(\vec{r}, t) \Psi(\vec{r}, t) \quad ,$$

$$\vec{j}(\vec{r}, t) = \frac{\hbar}{2mi} \left[\Psi^*(\vec{r}, t) \vec{\nabla} \Psi(\vec{r}, t) - \Psi(\vec{r}, t) \vec{\nabla} \Psi^*(\vec{r}, t) \right] \quad .$$
(4.18)

V kvasiklasické aproximaci

$$\rho = \Psi^* \Psi \quad , \quad \vec{j} = \frac{\vec{\nabla} S}{m} \Psi^* \Psi \quad .$$
(4.19)

Vidíme, že interpretace šP sí krát psí s hv zdi kou je hustota pravd podobnosti nalezení ásticeø je dob e podlofená. Vektor toku má v kvasiklasické aproximaci také obvyklý tvar rychlost krát hustotaø (vzpome me, že gradient ú ink u je hybnost).

4.4 Ehrenfest v teorém

Definujeme-li střední hodnoty operátoru hybnosti a operátoru sílu jako

$$\vec{p} = \int \psi^*(\vec{r}, t) \left[\frac{\hbar}{i} \vec{\nabla} \right] \psi(\vec{r}, t) dV \quad , \quad \vec{F} = \int \psi^*(\vec{r}, t) \left[-\vec{\nabla} U(\vec{r}, t) \right] \psi(\vec{r}, t) dV$$
(4.20)

vyhovují tyto veli iny druhému Newtonovu zákonu

$$\frac{d\vec{p}}{dt} = \vec{F} \quad .$$
(4.21)

D kaz získáme provedením výpo tu. Máme³

$$\frac{d\vec{p}}{dt} = \frac{\hbar}{i} \int \left\{ \frac{\partial \psi^*}{\partial t} \vec{\nabla} \psi + \psi^* \vec{\nabla} \frac{\partial \psi}{\partial t} \right\} dV = \frac{\hbar}{i} \oint_{\infty} \psi^* \frac{\partial \psi}{\partial t} \vec{n} dS + \frac{\hbar}{i} \int \left\{ \frac{\partial \psi^*}{\partial t} \vec{\nabla} \psi - \frac{\partial \psi}{\partial t} \vec{\nabla} \psi^* \right\} dV \quad .$$

První integrál na pravé stran je roven nule ó vlnové funkce v nekone nu jdou dostate n rychle k nule. Do druhého integrálu dosadíme za derivace podle asu ze Schrödingerovy rovnice

$$\begin{aligned} \frac{d\vec{p}}{dt} &= \int \left\{ \left[-\frac{\hbar^2}{2m} \Delta \psi^* + U \psi^* \right] \vec{\nabla} \psi + \left[-\frac{\hbar^2}{2m} \Delta \psi + U \psi \right] \vec{\nabla} \psi^* \right\} dV = \\ &= \int \left\{ -\frac{\hbar^2}{2m} \vec{\nabla} \left[\vec{\nabla} \psi^* \cdot \vec{\nabla} \psi + U \psi \psi^* \right] + \left[-\vec{\nabla} U \right] \psi \psi^* \right\} dV = \\ &= -\frac{\hbar^2}{2m} \oint_{\infty} \left[\vec{\nabla} \psi^* \cdot \vec{\nabla} \psi + U \psi \psi^* \right] \vec{n} dS + \int \psi^* \left[-\vec{\nabla} U \right] \psi dV = \int \psi^* \left[-\vec{\nabla} U \right] \psi dV \quad . \end{aligned}$$

Op t jsme vyuffili skute nosti, že integrand integrálu po povrchu v nekone nu je roven nule.

³ Krom znám j-í Gaussovy v ty $\int_V \text{div } \vec{f} dV = \oint_S \vec{f} \cdot \vec{n} dS$ platí také $\int_V \text{grad } f dV = \oint_S f \vec{n} dS$.

5. Schrödingerova rovnice pro stacionární stavy

5.1 částice v potenciálovém poli a souadnicová reprezentace

Budeme se zabývat stacionárními stavy a proto musíme předpokládat, že hamiltonián dané úlohy nezávisí explicitně na čase. Hamiltonova funkce klasické úlohy bude tedy

$$H(\vec{p}, \vec{r}) = \frac{\vec{p}^2}{2m} + U(\vec{r}) \quad (5.1)$$

V souadnicové reprezentaci tak obecná Schrödingerova rovnice (4.1) získá separační tvar

$$\Psi(\vec{r}, t) = \psi(\vec{r}) \exp\left(-\frac{i}{\hbar} E t\right) \quad (5.2)$$

tvar

$$-\frac{\hbar^2}{2m} \Delta \psi(\vec{r}) + U(\vec{r}) \psi(\vec{r}) = E \psi(\vec{r}) \quad (5.3)$$

Klasicky se částice může nacházet pouze v oblasti prostoru, kde $E \geq U(\vec{r})$. V kvantové mechanice je nenulová pravděpodobnost nalezení částice i v oblastech s $E < U(\vec{r})$. Mnohdy situace je poměrně snadné rozlišit v jednorozměrném případě, kdy bude mít Schrödingerova rovnice tvar

$$\frac{d^2 \psi}{dx^2} + \frac{2m}{\hbar^2} [E - U(x)] \psi = 0 \quad (5.4)$$

Budeme uvažovat obecný případ potenciální energie s volbou nulové hladiny v kladném nekonečnu $U(\infty) = 0$ a s hodnotou $U(-\infty) = U_0 \geq 0$. Funkce $U(x)$ má alespoň jedno minimum, kde nabývá záporné hodnoty $U_{\min} < 0$. Pro hodnoty energie, které odpovídají pohybu na klasicky ohraničené úsece, tj. pro $U_{\min} < E < 0$ existuje ohraničené řešení Schrödingerovy rovnice pouze pro některé (diskrétní) hodnoty energie E_n . Vlnová funkce základního stavu $\psi_0(x)$ (tj. stavu s nejmenší vlastní hodnotou energie E_0) není nulová nikde ve limitě nekonečnu. Funkce $\psi_n(x)$, popisující stavy pro které $E_{n-1} < E_n < \dots$, mají $n-1$ nulových bodů. Pro energie v intervalu $0 \leq E \leq U_0$ máme spojité spektrum. Při tomto asymptotickém chování vlnové funkce je

$$\psi_E(x) = \begin{cases} a \cos(kx + \alpha) & k = \sqrt{2mE}/\hbar \quad x \rightarrow \infty \\ b \exp(\kappa x) & \kappa = \sqrt{2m(U_0 - E)}/\hbar \quad x \rightarrow -\infty \end{cases} . \quad (5.5)$$

Dv z konstant jsou ur eny podmínkou spojitosti vlnové funkce a její první derivace. Tato podmínka plyne z toho, že ve Schrödingerov rovníci (5.4) vystupuje druhá derivace vlnové funkce.⁴ Nakonec pro energie $E > U_0$ máme op t spojité spektrum s rovinnými vlnami jako asymptotickým e-éním.

5.2 Vodíkový atom

Hamiltonián atomu vodíku je

$$\hat{H} = -\frac{\hbar^2}{2m_p} \Delta_{\vec{r}_p} - \frac{\hbar^2}{2m_e} \Delta_{\vec{r}_e} - \frac{e^2}{4\pi\epsilon_0 |\vec{r}_e - \vec{r}_p|} . \quad (5.6)$$

Zavedením nových sou adnic a nových ozna ení pro redukovanou hmotnost a celkovou hmotnost⁵

$$\vec{r} = \vec{r}_e - \vec{r}_p \quad , \quad \vec{R} = \frac{m_e \vec{r}_e + m_p \vec{r}_p}{m_e + m_p} \quad , \quad m = \frac{m_e m_p}{m_e + m_p} \quad , \quad m_H = m_e + m_p \quad (5.7)$$

p ejde (5.6) na

$$\hat{H} = -\frac{\hbar^2}{2m_H} \Delta_{\vec{R}} - \frac{\hbar^2}{2m} \Delta_{\vec{r}} - \frac{e^2}{4\pi\epsilon_0 r} . \quad (5.8)$$

Ve Schrödingerov rovníci napí-eme energii jako $E + \hbar^2 K^2 / (2m_H)$ a separujeme pohyb hmotného st edu od vzájemného pohybu elektronu a protonu, takže hmotný st ed se pohybuje jako volná ástice

$$-\frac{\hbar^2}{2m_H} \Delta_{\vec{R}} \chi(\vec{R}) = \frac{\hbar^2 K^2}{2m_H} \chi(\vec{R}) \quad (5.9)$$

a vzájemný pohyb je popsán rovnicí

$$-\frac{\hbar^2}{2m} \Delta_{\vec{r}} \psi(\vec{r}) - \frac{e^2}{4\pi\epsilon_0 r} \psi(\vec{r}) = E \psi(\vec{r}) . \quad (5.10)$$

⁴ V n kterých modelových úlohách je v potenciální energii len úm rný Diracov delta funkci $U = u \ell \delta(x - a)$. Potom je spojitá pouze vlnová funkce a derivace má v bod $x = a$ nespojitost $\psi'(a+0) - \psi'(a-0) = 2m\ell u / \hbar^2$.

⁵ P ísn vzato, podle Einsteinova vztahu ekvivalence energie a hmotnosti je $m_H c^2$ vodíku v základním stavu o 13,6 eV men-í než $(m_p + m_e)c^2$.

Zapsáno ve sférických souadnicích máme⁶

$$\frac{1}{r^2} \frac{\partial}{\partial r} \left(r^2 \frac{\partial \psi}{\partial r} \right) + \frac{1}{r^2} \left[\frac{1}{\sin \theta} \frac{\partial}{\partial \theta} \left(\sin \theta \frac{\partial \psi}{\partial \theta} \right) + \frac{1}{\sin^2 \theta} \frac{\partial^2 \psi}{\partial \varphi^2} \right] + \frac{2m}{\hbar^2} \left(E + \frac{e^2}{4\pi \epsilon_0 r} \right) \psi = 0 \quad (5.11)$$

a mžeme p istoupit k e-ení rovnice metodou separace prom nných. Vlnovou funkci hledáme ve tvaru

$$\psi(r, \theta, \varphi) = R(r) Y_{lm}(\theta, \varphi) \quad , \quad (5.12)$$

kde $Y_{lm}(\theta, \varphi)$ jsou tzv. sférické funkce, tj. je jednozna né regulární (dokonce normované k jednici) e-ení rovnic

$$\frac{\partial^2 Y_{lm}}{\partial \varphi^2} + m^2 Y_{lm} = 0 \quad , \quad \frac{1}{\sin \theta} \frac{\partial}{\partial \theta} \left(\sin \theta \frac{\partial Y_{lm}}{\partial \theta} \right) - \frac{m^2}{\sin^2 \theta} Y_{lm} + l(l+1) Y_{lm} = 0 \quad . \quad (5.13)$$

V tchto vztazích $l=0,1,2,\dots$ a $m=-l,-l+1,\dots,l-1,l$. Pro musí být separa ní konstanty tvo ené práv kvantovými ísly je dáno z teorie diferenciálních rovnic. Fyzikáln názorn jí výklad by poskytla realizace operátoru momentu hybnosti pomocí krea ních a anihila ních operátor . V tuto chvíli berme existenci kvantových ísel l a m jako d sledek pofladavk na chování vlnové funkce, tj. pofladavek periodicity v úhlu φ a kone né hodnoty jak na severním ($\theta=0$), tak na jifním ($\theta=\pi$) pólu. Zbývá vy e-it rovnici pro radiální souadnici

$$\frac{d^2 R}{dr^2} + \frac{2}{r} \frac{dR}{dr} - \frac{l(l+1)}{r^2} R + \frac{2m}{\hbar^2} \left(E + \frac{e^2}{4\pi \epsilon_0 r} \right) R = 0 \quad . \quad (5.14)$$

Zavedení bezrozm ných veli in⁷

$$r = a \rho \quad , \quad E = -b \epsilon \quad (5.15)$$

p evede (5.14) na

$$\frac{d^2 R}{d\rho^2} + \frac{2}{\rho} \frac{dR}{d\rho} R + \frac{2ma^2 b}{\hbar^2} \left(\frac{e^2}{4\pi \epsilon_0 a b \rho} - \epsilon - \frac{l(l+1)}{\rho^2} \right) R = 0 \quad . \quad (5.16)$$

Nejvtího zjednodu-ení dosáhneme volbou jednotek délky a energie

⁶ Zavedením operátoru radiální složky hybnosti $\hat{p}_r = -i\hbar(\partial/\partial r + 1/r)$ mžeme hamiltonián zapsat jako $\hat{H} = \frac{1}{2m} \left(\hat{p}_r^2 + \frac{\hat{L}^2}{r^2} \right)$, kde \hat{L} je operátor momentu hybnosti.

⁷ Zavád ní bezrozm ných prom nných ve šfyzikálníchõ rovnicích je obecn velmi uffite ný postup. V našem p ípad je $a = a_B \doteq 0,529 \text{ \AA}$ Bohr v polom r a $b = Ry \doteq 13,6 \text{ eV}$.

$$a = \frac{\hbar^2}{m} \frac{4\pi\epsilon_0}{e^2}, \quad b = \frac{\hbar^2}{2ma^2} = \frac{m}{2\hbar^2} \left(\frac{e^2}{4\pi\epsilon_0} \right)^2. \quad (5.17)$$

Máme tedy e-itu rovnici oby ejnou lineární diferenciální rovnici druhého ádu s jedním parametrem

$$\frac{d^2R}{d\rho^2} + \frac{2}{\rho} \frac{dR}{d\rho} + \left(-\epsilon + \frac{2}{\rho} - \frac{l(l+1)}{\rho^2} \right) R = 0, \quad (5.18)$$

p ítom pofladujeme, aby e-ení bylo na kladné reálné poloose ohrani enou funkcí, která jde dostate n rychle k nule pro $\rho \rightarrow \infty$. V námi studovaném p ípad popisu atomu vodíku se pro jeho zásadní d lefitost neobrátime k hotovému matematickému výsledku, ale podíváme se podrobn ji na jeho odvození. Substitutece

$$R(\rho) = \frac{u(\rho)}{\rho}, \quad \frac{dR}{d\rho} = \frac{1}{\rho} \frac{du}{d\rho} - \frac{u}{\rho^2}, \quad \frac{d^2R}{d\rho^2} = \frac{1}{\rho} \frac{d^2u}{d\rho^2} - \frac{2}{\rho^2} \frac{du}{d\rho} + \frac{2u}{\rho^3} \quad (5.19)$$

vede na rovnici

$$\frac{d^2u}{d\rho^2} + \left(-\epsilon + \frac{2}{\rho} - \frac{l(l+1)}{\rho^2} \right) u = 0. \quad (5.20)$$

Asymptotické tvar rovnice a jejího e-ení pro $\rho \rightarrow \infty$ je

$$\frac{d^2u}{d\rho^2} - \epsilon u = 0, \quad u = A \exp\{-\sqrt{\epsilon} \rho\} + B \exp\{\sqrt{\epsilon} \rho\}, \quad (5.21)$$

pro $\rho \rightarrow 0$ pak

$$\frac{d^2u}{d\rho^2} - \frac{l(l+1)}{\rho^2} u = 0, \quad u = C \rho^{l+1} + D \frac{1}{\rho^l}. \quad (5.22)$$

Nám vyhovují pouze kone ná e-ení, takže hledáme $u(\rho)$ ve tvaru

$$u(\rho) = \rho^{l+1} \exp\{-\sqrt{\epsilon} \rho\} f(\rho) \quad (5.23)$$

Rovnice pro funkci $f(\rho)$ je tedy

$$\rho \frac{d^2f}{d\rho^2} + 2(l+1-\sqrt{\epsilon} \rho) \frac{df}{d\rho} + 2(1-\sqrt{\epsilon}(l+1)) f = 0. \quad (5.24)$$

Hledáme e-ení (5.24) ve tvaru ady

$$f = \sum_{j=0}^{\infty} A_j \rho^j. \quad (5.25)$$

Dosazení do rovnice a porovnání koeficientů u stejných mocnin ρ^j dává rekurentní vztah pro koeficienty A_j

$$[j+2(l+1)](j+1)A_{j+1} - 2[\sqrt{\varepsilon}(j+l+1)-1]A_j = 0 \quad . \quad (5.26)$$

Kdyby n byla nekonečná, pro velké hodnoty j by bylo

$$\frac{A_{j+1}}{A_j} \approx \frac{2\sqrt{\varepsilon}}{j+1} \Rightarrow A_j \approx \frac{(2\sqrt{\varepsilon})^j}{j!} A \Rightarrow \sum_{j=0}^{\infty} A_j \rho^j \approx A \sum_{j=0}^{\infty} \frac{(2\sqrt{\varepsilon} \rho)^j}{j!} = A \exp\{2\sqrt{\varepsilon} \rho\} \quad (5.27)$$

a funkce $u(\rho)$ by tak v nekonečnu divergovala. Musí tedy existovat nějaké j_{\max} , kdy n končí, tedy kdy

$$A_{j_{\max}+1} = 0 \Rightarrow \frac{1}{\sqrt{\varepsilon}} \equiv n = j_{\max} + l + 1 \quad (5.28)$$

Funkce $f(\rho)$ je tedy polynom stupně

$$j_{\max} = n - l - 1 \quad , \quad A_{j+1} = \frac{2(j+l+1-n)}{n[j+2(l+1)](j+1)} A_j \quad . \quad (5.29)$$

Objevilo se nám tak další kvantové číslo (hlavní kvantové číslo) n . Ze vztahu (5.29) plyne omezení na vedlejší kvantové číslo l . Pokud hlavní kvantové číslo pevně zvolíme, musí být $l=0,1,\dots,n-1$. Rovnice (5.24) v proměnné $z=2\sqrt{\varepsilon}\rho$ má po dosazení $\sqrt{\varepsilon}=1/n$ tvar

$$z \frac{d^2 w}{dz^2} + (2l+2-z) \frac{dw}{dz} + (n-l-1)w = 0 \quad (5.30)$$

a jejím řešením je hypergeometrická funkce

$$w = F(-n+l+1, 2l+2, z) \quad , \quad F(\alpha, \gamma, z) = 1 + \frac{\alpha}{\gamma} z + \frac{\alpha(\alpha+1)}{\gamma(\gamma+1)} \frac{z^2}{2!} + \dots \quad . \quad (5.31)$$

Pro atom vodíku jsou normované vlnové funkce ψ_{nlm} s nejnižšími kvantovými čísly tedy

$$\begin{aligned} \psi_{100} &= \frac{2}{(4\pi)^{1/2} a_B^{3/2}} \exp\left(-\frac{r}{a_B}\right) \quad , \quad \psi_{200} = \frac{1}{2(2\pi)^{1/2} a_B^{3/2}} \left(1 - \frac{r}{2a_B}\right) \exp\left(-\frac{r}{2a_B}\right) \quad , \\ \psi_{210} &= \frac{i}{4(2\pi)^{1/2} a_B^{5/2}} r \exp\left(-\frac{r}{2a_B}\right) \cos\theta \quad , \\ \psi_{21\pm 1} &= \frac{\mp i}{8(\pi)^{1/2} a_B^{5/2}} r \exp\left(-\frac{r}{2a_B}\right) \sin\theta \exp(\pm i\varphi) \quad . \end{aligned} \quad (5.32)$$

Fázové faktory jsou v cí konvence, je d leflité si v–imnout, fle pouze pro $s \text{ } \sigma$ stavy (stavy s $l=0$) je $|\psi_{n00}(0)| \neq 0$. Proto nap íklad (Lamb v posuv) dochází k roz–t pení hladin $2s_{1/2}$ a $2p_{1/2}$.

Atom vodíku je jediným exaktn e–itelným p ípadem ó ufl pro helium si zapo tení interakce dvou elektron vyfladuje zvlá–tní metody poruchového po tu. Nicmén zavedení kvantových ísel (tvrté ó spin ó jsme zatím nepouffili) je nesmírn d leflitým p ísp vkem k popisu atom obecn .

5.3 Elektron v homogenním magnetickém poli

Hamiltonián elektronu v magnetickém poli, které popisujeme vektorovým potenciálem \vec{A} a indukci $\vec{B} = \text{rot } \vec{A}$ je

$$\hat{H} = \left(\frac{\hbar}{i} \vec{\nabla} - e \vec{A} \right)^2 - \vec{\mu} \cdot \vec{B} , \quad (5.33)$$

kde $\vec{\mu}$ je operátor magnetického momentu elektronu

$$\vec{\mu} = \frac{e \hbar}{2m} \vec{s} . \quad (5.34)$$

V této definici vystupuje operátor spinu. Protofle se spinu budeme v novat pozd ji, vezmeme jako skute nost, fle pro orientaci pole podél osy z bude moflné napsat vlnovou funkci jako dvouslofkovou veli inu ó spinor

$$\Psi = \begin{pmatrix} \psi(\vec{r}, \sigma=1/2) \\ \psi(\vec{r}, \sigma=-1/2) \end{pmatrix} \quad (5.35)$$

a p sobení hamiltoniánu na jednotlivé sloflky bude

$$\hat{H} \psi(\vec{r}, \sigma) = \left\{ \frac{1}{2m} \left(\frac{\hbar}{i} \frac{\partial}{\partial x} + eBy \right)^2 - \frac{\hbar^2}{2m} \frac{\partial^2}{\partial y^2} - \frac{\hbar^2}{2m} \frac{\partial^2}{\partial z^2} - \frac{eB\sigma}{m} \right\} \psi(\vec{r}, \sigma) . \quad (5.36)$$

Ve vztahu (5.36) ufl jsme zvolili konkrétní tvar vektorového potenciálu $\vec{A} = -By \vec{e}_x$. Zajímavé moflnosti spojené s r znou volbou tohoto potenciálu nebudeme ale rozebírat. Dosadíme do stacionární Schrödingerovy rovnice $\hat{H} \psi = E \psi$ vlnovou funkci ve tvaru, který bere v úvahu, fle rovnice závisí pouze na sou adnici y

$$\psi = \exp \left[\frac{i}{\hbar} (p_x x + p_z z) \right] \chi(y) . \quad (5.37)$$

Pro funkci $\chi(y)$ pak dostáváme obyčejnou diferenciální rovnici

$$\frac{d^2 \chi}{dy^2} + \frac{2m}{\hbar^2} \left[E - \sigma \omega_B - \frac{p_z^2}{2m} - \frac{m}{2} \omega_B^2 (y - y_0)^2 \right] \chi = 0 \quad , \quad (5.38)$$

kde

$$\omega_B = -\frac{eB}{m} \quad , \quad y_0 = -\frac{p_x}{eB} \quad . \quad (5.39)$$

Rovnice (5.38) je rovnice harmonického oscilátoru, můžeme proto hned napsat vlastní hodnoty energie

$$E = \left(n + \frac{1}{2} + \sigma \right) \hbar \omega_B \quad (5.40)$$

a také normované vlastní funkce

$$\chi_n(y) = \frac{1}{\sqrt{\sqrt{\pi} a_B 2^n n!}} \exp \left[-\frac{(y - y_0)^2}{2 a_B^2} \right] H_n \left(\frac{y - y_0}{a_B} \right) \quad , \quad a_B = \sqrt{\frac{\hbar}{m \omega_B}} \quad . \quad (5.41)$$

Pomocí snadno se převede, že kromě konstanty y_0 můžeme vytvořit také veličinu $x_0 = p_y / (eB) + x$, jejíž operátor komutuje s hamiltoniánem

$$\hat{x}_0 = \frac{\hbar}{ieB} \frac{\partial}{\partial y} + x \quad , \quad [\hat{x}_0, \hat{H}] = 0 \quad .$$

V klasickém popisu je bod (x_0, y_0) je středem kružnice poloměru $p_y / (eB)$, kde p_y je velikost příčné hybnosti \vec{p} do roviny $x-y$. Ani pro velké hodnoty kvantového čísla nedostáváme $|\chi_n(y)|^2$ jako rozložení hustoty pravděpodobnosti soustředěné kolem klasické trajektorie. Je třeba si uvědomit značnou (nekonečnou) degeneraci pro danou energii ϵ z lineární kombinace stavů příslušných dané energii uřídí co podobného vytvořit jde. Jaká je vlastní násobnost degenerace pro určité číslo n ? Uzavřeme-li elektron do krychle objemu $V = L_x L_y L_z$, je počet stavů s rznými hodnotami (tedy uřídí diskrétními) p_z v intervalu Δp_z roven $L_z / (2\pi\hbar) \Delta p_z$. Počet stavů pro p_x je obdobně $L_x / (2\pi\hbar) \Delta p_x$, ale interval Δp_x nesmí vést k tomu, aby bylo $y_0 > L_y$, musí tedy být $\Delta p_x = eB L_y$. Celkem je tedy počet stavů s danou hodnotou energie (je to dvojnásobná degenerace daná rovností energie pro $n+1/2$ a $(n+1)-1/2$)

$$\frac{eB\Delta p_z}{(2\pi\hbar)^2}V \quad .$$

6. N které aproximace pro poruchy na ase nezávislé

6.1 Rayleighova a Schrödingerova metoda

6.1.1 Nedegenerované hladiny

P edpokládáme, že hamiltonián je na ase explicitn nezávislý. Je složen ze dvou ástí $\check{H} = \check{H}_0 + \sigma\check{V}$, \check{H}_0 je základní ást (neporu-ený hamiltonián), $\sigma\check{V}$ je interak ní ást (porucha), malý parametr. e-ení rovnice pro vlastní hodnoty a vlastní vektory hamiltoniánu \check{H} hledáme pomocí rozkladu podle vlastních vektor hamiltoniánu \check{H}_0

$$\begin{aligned} \check{H}|\Psi\rangle &= E|\Psi\rangle \quad , \quad \check{H}_0|\Psi_n^{(0)}\rangle = E_n^{(0)}|\Psi_n^{(0)}\rangle \quad , \\ |\Psi\rangle &= \sum_{k=0}^{\infty} \sigma^k \sum_m c_m^{(k)} |\Psi_n^{(0)}\rangle \quad , \quad E = \sum_{k=0}^{\infty} \sigma^k E^{(k)} \quad . \end{aligned} \quad (6.1)$$

Porovnáním len u stejné mocniny σ^k dostaneme

$$\begin{aligned} \sum_{l=0}^k E^{(k-l)} c_m^{(l)} - E_m^{(0)} c_m^{(k)} &= \sum_p V_{mp} c_p^{(k-1)} \quad , \\ V_{mp} &= \langle \Psi_m^{(0)} | \check{V} | \Psi_p^{(0)} \rangle \quad , \quad c_p^{(-1)} = 0 \quad . \end{aligned} \quad (6.2)$$

leny pro $k = 0, 1, 2$ dávají

$$\begin{aligned} (E^{(0)} - E_m^{(0)}) c_m^{(0)} &= 0 \quad , \\ E^{(1)} c_m^{(0)} + (E^{(0)} - E_m^{(0)}) c_m^{(1)} &= \sum_p V_{mp} c_p^{(0)} \quad , \\ E^{(2)} c_m^{(0)} + E^{(1)} c_m^{(1)} + (E^{(0)} - E_m^{(0)}) c_m^{(2)} &= \sum_p V_{mp} c_p^{(1)} \quad . \end{aligned} \quad (6.3)$$

Po ítáme opravu ke stavu $|\Psi_n^{(0)}\rangle$. Stavový vektor budeme p i výpo tu normovat podmínkou (p ípadné normování $\langle \Psi | \Psi \rangle = 1$ m fme provést aíl po ukon ení poruchové ady)⁸

$$\langle \Psi_n^{(0)} | \Psi \rangle = 1 \quad \Rightarrow \quad c_m^{(0)} = \delta_{mn} \quad , \quad c_n^{(l \geq 1)} = 0 \quad . \quad (6.4)$$

⁸ Znamená to, že p ípadné zm ny ve sm ru p vodního stavového vektoru neuvlujeme, po ítáme jen se vznikem opravy v ortogonálním podprostoru k jednorozm rnému podprostoru nateném na p vodní vektor $|\Psi_n^{(0)}\rangle$.

e-éním soustavy rovnic pro $m=n$ máme

$$\begin{aligned} E^{(0)} &= E_n^{(0)} \quad , \quad c_n^{(0)} = 1 \quad , \\ E^{(1)} &= V_{nn} \quad , \quad c_n^{(1)} = 0 \quad , \\ E^{(2)} &= \sum_{p \neq n} \frac{V_{np} V_{pn}}{E_n^{(0)} - E_p^{(0)}} \quad , \quad c_n^{(2)} = 0 \end{aligned} \quad (6.5)$$

a e-éním soustavy rovnic pro $m \neq n$ pak

$$\begin{aligned} c_m^{(0)} &= 0 \quad , \quad c_m^{(1)} = \frac{V_{mn}}{E_n^{(0)} - E_m^{(0)}} \quad , \\ c_m^{(2)} &= \sum_{p \neq n} \frac{V_{mp} V_{pn}}{(E_n^{(0)} - E_p^{(0)})(E_n^{(0)} - E_m^{(0)})} - \frac{V_{mn} V_{nn}}{(E_n^{(0)} - E_m^{(0)})^2} \quad . \end{aligned} \quad (6.6)$$

6.1.2 Degenerované hladiny

Pat í-li stav n_i s -krát degenerované energiové hladiny ($E^{(0)} = E_{n_1}^{(0)} = \dots = E_{n_s}^{(0)}$), je t eba vhodn vybrat p íslu-né vlnové funkce, tj. zvolit namísto p vodních nové

$$\left| \Psi_{n_i}^{(0)} \right\rangle \rightarrow \left| \Psi_{n_i}'^{(0)} \right\rangle = \sum_{j=1}^s d_{ij} \left| \Psi_{n_j}^{(0)} \right\rangle \quad (6.7)$$

tak, aby byl operátor \hat{V} pro nové vlnové funkce pat ící degenerované hladiny diagonální. Ve druhé z rovnic v (6.3) pro n který stav $m=n_i$ z degenerované hladiny položíme $c_p^{(0)}=0$ pro $p \neq n_1, \dots, n_s$. Koeficienty d_{ij} získáme e-éním soustavy rovnic

$$E^{(1)} d_{ij} = \sum_{k=1}^s V_{n_i n_k} d_{kj} \quad , \quad \begin{vmatrix} V_{n_1 n_1} - E^{(1)} & V_{n_1 n_2} & \dots & V_{n_1 n_s} \\ V_{n_2 n_1} & V_{n_2 n_2} - E^{(1)} & \dots & V_{n_2 n_s} \\ \dots & \dots & \dots & \dots \\ V_{n_s n_1} & V_{n_s n_2} & \dots & V_{n_s n_s} - E^{(1)} \end{vmatrix} = 0 \quad . \quad (6.8)$$

Pro nejníí opravné leny dostáváme (indexy n_i ufl pat í novým funkcím $\left| \Psi_{n_i}'^{(0)} \right\rangle$) a p edpokládáme, fl degenerace ufl byla sejmuta, tj. \hat{V} je v nových funkcích $\left| \Psi_{n_i}'^{(0)} \right\rangle$ diagonální a $V_{n_i n_i} \neq V_{n_j n_j}$. Pokud by tomu tak nebylo, je t eba postup opakovat afl do úplného sejmutí degenerace.

$$\begin{aligned}
E^{(0)} &= E_{n_i}^{(0)} \quad , \quad E^{(1)} = V_{n_i n_i} \quad , \quad E^{(2)} = \sum_{p \neq n_k} \frac{V_{n_i p} V_{p n_i}}{E_{n_i}^{(0)} - E_p^{(0)}} \quad , \\
c_m^{(0)} &= \delta_{m n_i} \quad , \quad c_{n_i}^{(1)} = 0 \quad , \quad c_{m \neq n_j}^{(1)} = \frac{V_{m n_i}}{E_{n_i}^{(0)} - E_m^{(0)}} \quad , \\
c_{n_j \neq n_i}^{(1)} &= \frac{1}{V_{n_i n_i} - V_{n_j n_j}} \sum_{p \neq n_k} \frac{V_{n_j p} V_{p n_i}}{E_{n_i}^{(0)} - E_p^{(0)}} \quad .
\end{aligned} \tag{6.9}$$

6.1.3 P ípad velmi blízkých hladin

Pro ur itost uvařujeme o dvou blízkých hladinách, odpovídajících stav m m a n . Z poruchového řenu izolujeme p íslu-řné maticové elementy, tedy

$$\begin{aligned}
\check{V} &= \check{V}_1 + \check{V}_2 \quad , \quad \check{H} = \check{H}_1 + \check{V}_2 \quad , \quad \check{H}_1 = \check{H}_0 + \check{V}_1 \quad , \\
\check{V}_1 &= V_{mm} |m\rangle \langle m| + V_{nn} |n\rangle \langle n| + V_{mn} |m\rangle \langle n| + V_{nm} |n\rangle \langle m| \quad .
\end{aligned} \tag{6.10}$$

Platí tedy

$$\begin{aligned}
\langle m | \check{V}_2 | m \rangle = \langle n | \check{V}_2 | n \rangle = \langle m | \check{V}_2 | n \rangle = \langle n | \check{V}_2 | m \rangle = 0 \quad , \\
\check{V}_1 | k \neq m, n \rangle = 0 \quad .
\end{aligned} \tag{6.11}$$

Potom bude

$$\begin{aligned}
\check{H}_1 | k \neq m, n \rangle &= E_k^{(0)} | k \neq m, n \rangle \quad , \\
\check{H}_1 | m \rangle &= E_m^{(1)} | m \rangle + V_{nm} | m \rangle \quad , \quad E_m^{(1)} = E_m^{(0)} + V_{mm} \quad , \\
\check{H}_1 | n \rangle &= E_n^{(1)} | n \rangle + V_{mn} | n \rangle \quad , \quad E_n^{(1)} = E_n^{(0)} + V_{nn} \quad .
\end{aligned} \tag{6.12}$$

Rovnice pro vlastní hodnoty

$$\begin{aligned}
\check{H}_1 [\alpha |m\rangle + \beta |n\rangle] &= \varepsilon [\alpha |m\rangle + \beta |n\rangle] \quad , \\
\begin{pmatrix} E_m^{(1)} - \varepsilon & V_{nm} \\ V_{mn} & E_n^{(1)} - \varepsilon \end{pmatrix} \begin{pmatrix} \alpha \\ \beta \end{pmatrix} = 0 &\Rightarrow \begin{vmatrix} E_m^{(1)} - \varepsilon & V_{nm} \\ V_{mn} & E_n^{(1)} - \varepsilon \end{vmatrix} = 0
\end{aligned} \tag{6.13}$$

vede k výslednému roz-řpení hladin

$$\varepsilon_{\pm} = \frac{E_m^{(1)} + E_n^{(1)}}{2} \pm \left[\left(\frac{E_m^{(1)} - E_n^{(1)}}{2} \right)^2 + |V_{mn}|^2 \right]^{1/2} \quad . \tag{6.14}$$

6.2 Potenciální energie jako porucha

Jako neporu-řnou úlohu uvařujeme pohyb volné řástice, popsany ř Helmholtzovou rovnicí

$$\Delta \Psi^{(0)}(\vec{r}) + k^2 \Psi^{(0)}(\vec{r}) = 0 \quad , \quad k = \frac{p}{\hbar} = \frac{(2mE)^{1/2}}{\hbar} \quad . \quad (6.15)$$

Pohyb v potenciálovém poli, které považujeme za poruchu je popsán Schrödingerovou rovnicí

$$\Delta \Psi(\vec{r}) + k^2 \Psi(\vec{r}) = \frac{2m}{\hbar^2} U(\vec{r}) \Psi(\vec{r}) \quad . \quad (6.16)$$

e-ní této rovnice m ěme napsat ve tvaru

$$\Psi(\vec{r}) = \Psi^{(0)}(\vec{r}) - \frac{2m}{\hbar^2} \int G(\vec{r} - \vec{r}_1) U(\vec{r}_1) \Psi(\vec{r}_1) d^s \vec{r}_1 \quad , \quad (6.17)$$

kde G je Greenova funkce Helmholtzovy rovnice

$$\begin{aligned} \Delta G(\vec{r} - \vec{r}_1) + k^2 G(\vec{r} - \vec{r}_1) &= -\delta^{(s)}(\vec{r} - \vec{r}_1) \quad , \\ G(\vec{r} - \vec{r}_1) &= \frac{1}{4\pi} \frac{\exp\{ik|\vec{r} - \vec{r}_1|\}}{|\vec{r} - \vec{r}_1|} \quad , \quad s = 3 \quad , \\ G(\vec{r} - \vec{r}_1) &= \frac{i}{4} H_0^{(1)}\{k|\vec{r} - \vec{r}_1|\} \quad , \quad s = 2 \quad , \\ G(\vec{r} - \vec{r}_1) &= \frac{i}{2k} \exp\{ik|\vec{r} - \vec{r}_1|\} \quad , \quad s = 1 \quad . \end{aligned} \quad (6.18)$$

Schrödingerovu rovnici pak e-íme iteracemi

$$\Psi^{(n+1)}(\vec{r}) = \Psi^{(0)}(\vec{r}) - \frac{2m}{\hbar^2} \int G(\vec{r} - \vec{r}_1) U(\vec{r}_1) \Psi^{(n)}(\vec{r}_1) d^s \vec{r}_1 \quad , \quad n = 0, 1, \dots \quad . \quad (6.19)$$

Z staneme-li pouze u základní iterace ($n=0$), nazývá se toto p ěbližné e-ení pohybu v potenciálovém poli Bornova aproximace. P edpokládáme tedy $\Psi^{(0)}(\vec{r})$ ve tvaru rovinné vlny a zajímáme se o vlnovou funkci daleko od oblasti p sobení potenciálu, tedy pro Greenovu funkci klademe

$$\begin{aligned} G(\vec{r}, \vec{r}_1) &= \frac{\exp\{ikr\}}{4\pi r} \exp\{-ik\vec{r}_1 \cdot \vec{n}_f\} \quad , \quad s = 3 \quad , \\ G(\vec{r}, \vec{r}_1) &= \frac{(1+i)\exp\{ikr\}}{4\sqrt{\pi k r}} \exp\{-ik\vec{r}_1 \cdot \vec{n}_f\} \quad , \quad s = 2 \quad , \\ G(\vec{r}, \vec{r}_1) &= \frac{i\exp\{ikr\}}{2k} \exp\{-ik\vec{r}_1 \cdot \vec{n}_f\} \quad , \quad s = 1 \quad . \end{aligned} \quad (6.20)$$

V exponentu jsme aproximovali

$$|\vec{r} - \vec{r}_1| = r \left(1 - 2 \vec{n}_f \cdot \frac{\vec{r}_1}{r} + \frac{r_1^2}{r^2} \right)^{1/2} \approx r - \vec{n}_f \cdot \vec{r}_1, \quad (6.21)$$

přičemž jsme označili jako $\vec{n}_f = \vec{r}/r$ jednotkový vektor ve směru pozorování. Dopadající rovinná vlna je pak

$$\Psi^{(0)}(\vec{r}) = \exp\{i \vec{k} \cdot \vec{r}\} = \exp\{i k r \vec{n}_i \cdot \vec{n}_f\}, \quad (6.22)$$

s označením jednotkového vektoru ve směru dopadu $\vec{n}_i = \vec{k}/k$. Vlnová funkce je pak

$$\Psi(\vec{r}) = \exp\{i k r \vec{n}_i \cdot \vec{n}_f\} + \frac{2\pi}{k} \left(\frac{k}{2\pi r} \right)^{(s-1)/2} f(\vec{n}_i, \vec{n}_f) \exp\{i k r\}, \quad (6.23)$$

kde $f(\vec{n}_i, \vec{n}_f)$ je amplituda rozptylu

$$f(\vec{n}_i, \vec{n}_f) = \frac{m}{2\pi \hbar^2} \exp\left\{-\frac{i(s+1)\pi}{4}\right\} \int \exp\{-i k \vec{r}_1 \cdot \vec{n}_f\} U(\vec{r}_1) \Psi(\vec{r}_1) d^s \vec{r}_1. \quad (6.24)$$

Amplituda rozptylu v Bornovské aproximaci je

$$f_B(\vec{n}_i, \vec{n}_f) = \frac{m}{2\pi \hbar^2} \exp\left\{-\frac{i(s+1)\pi}{4}\right\} \int \exp\{i k \vec{r}_1 \cdot (\vec{n}_i - \vec{n}_f)\} U(\vec{r}_1) d^s \vec{r}_1. \quad (6.25)$$

V trojrozměrném případě dostáváme pro amplitudu rozptylu dopředu ($\vec{n}_i = \vec{n}_f$) výraz

$$f_B(\theta=0) = -\frac{m}{2\pi \hbar^2} \int U(\vec{r}_1) d^3 \vec{r}_1. \quad (6.26)$$

To je reálná veličina, což je v rozporu s optickým teorémem⁹ a omezuje to platnost jinak velmi užitečné aproximace na případ velmi slabého rozptylu. Podíl pravděpodobnosti toho, že rozptýlená částice projde za jednotkovou plošným elementem $dS = r^2 d\Omega$ a hustoty toku částic v dopadajícím svazku nazveme diferenciálním úhelným průřezem $d\sigma$

$$d\sigma = |f(\vec{n}_i, \vec{n}_f)|^2 d\Omega_f. \quad (6.27)$$

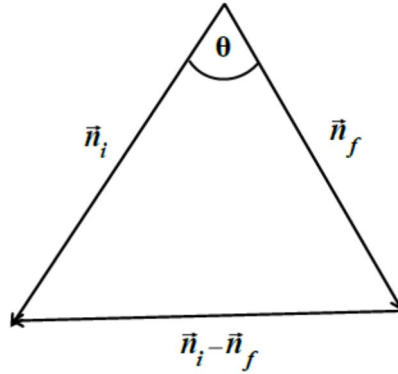
Jako příklad uvedeme výpočet amplitudy rozptylu v Bornovské aproximaci pro Yukavův potenciál ve třech rozměrech

⁹ Optický teorém je pozoruhodný vztah, který spojuje celkový úhelný průřez a imaginární část amplitudy rozptylu ve směru dopadající vlny $\Im\{f(0)\} = \frac{k}{4\pi} \sigma$.

$$U(\vec{r}) = \frac{\alpha \exp(-\lambda r)}{r} .$$

Z (6.25) máme ve sférických souřadnicích

$$f(\vec{n}_i, \vec{n}_f) = -\frac{m}{2\pi\hbar^2} U \int \frac{\exp(-\lambda r)}{r} \exp[ikr|\vec{n}_i - \vec{n}_f|\cos\vartheta] \sin\vartheta d\varphi d\vartheta r^2 dr .$$



Z obrázku vidíme, že $|\vec{n}_i - \vec{n}_f| = 2 \sin(\theta/2)$. Integrál vzhledem k φ dává 2π , po substituci $\cos\vartheta = x$ máme

$$\int_{-1}^1 \exp[2ikr \sin(\theta/2)x] dx = \frac{\exp(2ikr \sin(\theta/2)) - \exp(-2ikr \sin(\theta/2))}{2ikr \sin(\theta/2)} .$$

Zbývá dopočítat

$$f(\vec{n}_i, \vec{n}_f) = -\frac{m\alpha}{2ik \sin(\theta/2)\hbar^2} \int_0^\infty \left\{ \exp[-(\lambda - 2ik \sin(\theta/2))r] - \exp[-(\lambda + 2ik \sin(\theta/2))r] \right\} dr .$$

Amplituda rozptylu je tedy

$$f(\vec{n}_i, \vec{n}_f) = -\frac{m\alpha}{2\hbar^2} \frac{1}{(\lambda/2)^2 + k^2 \sin^2(\theta/2)} . \quad (6.28)$$

Pro rozptyl na coulombovském potenciálu ($\lambda=0$) dostáváme Rutherfordův úhlový průřez (oznáváme $\hbar k = p = mv$)

$$d\sigma_{\text{Ruth}} = \left(\frac{\alpha}{2mv^2} \right)^2 \frac{d\Omega_f}{\sin^4 \frac{\theta}{2}} . \quad (6.29)$$

6.3 Varia ní princip

Uvařujme varia ní úlohu

$$J = \langle \psi | \hat{H} | \psi \rangle - E (\langle \psi | \psi \rangle - 1) \quad , \quad \delta J = 0 \quad . \quad (6.30)$$

Variace vzhledem k energii, která zde vystupuje jako Lagrange v multiplikátor, dává normovací podmínku. Variace vzhledem k $\langle \psi |$ dává Schrödingerovu rovnici

$$\begin{aligned} \frac{\delta J}{\delta E} = 0 &\Rightarrow \langle \psi | \psi \rangle - 1 = 0 \quad , \\ \frac{\delta J}{\delta \langle \psi |} = 0 &\Rightarrow (\hat{H} - E) | \psi \rangle = 0 \quad . \end{aligned} \quad (6.31)$$

Striktn vzato variace bra vektoru a jemu p íslu-ného ket vektoru nejsou nezávislé, ale varia ním po tu s nimi budeme formáln po ítat jako s nezáviskými veli inami, nebo platí

$$(\delta \langle \psi |) | \alpha \rangle + \langle \beta | (\delta | \psi \rangle) = 0 \Rightarrow | \alpha \rangle = 0 \quad , \quad \langle \beta | = 0 \quad . \quad (6.32)$$

6.4 Hartreeho - Fockova metoda selfkonzistentního pole

Pro výpo et mnohaelektronových systém je vhodná metoda selfkonzistentního pole. P edpokládáme, že spinov nezávislý Hamilton v operátor soustavy s N elektrony je tvo en ástí vyjad uující interakci elektronu s vn jím polem a lenem, popisujícím vzájemnou interakci elektron soustavy

$$\begin{aligned} \hat{H} &= \hat{H}_1 + \hat{H}_2 \quad , \quad \hat{H}_1 = \sum_{i=1}^N \hat{H}_i \quad , \quad \hat{H}_2 = \frac{1}{2} \sum_{\substack{i,k=1 \\ i \neq k}}^N \hat{V}_{ik} \quad , \\ \hat{H}_i &= -\frac{\hbar^2}{2m} \Delta_i + eV(\vec{r}_i) \quad , \quad \hat{V}_{ik} = \frac{e^2}{4\pi \epsilon_0} \frac{1}{|\vec{r}_i - \vec{r}_k|} \quad . \end{aligned} \quad (6.33)$$

Pro vlnovou funkci volíme pak

$$\begin{aligned} \Psi(\vec{r}_1, s_1, \vec{r}_2, s_2, \dots, \vec{r}_N, s_N) = \\ \sqrt{\frac{1}{N!}} \begin{vmatrix} \psi_{n_1}(\vec{r}_1, s_1) & \psi_{n_2}(\vec{r}_1, s_1) & \dots & \psi_{n_N}(\vec{r}_1, s_1) \\ \psi_{n_1}(\vec{r}_2, s_2) & \psi_{n_2}(\vec{r}_2, s_2) & \dots & \psi_{n_N}(\vec{r}_2, s_2) \\ \dots & \dots & \dots & \dots \\ \psi_{n_1}(\vec{r}_N, s_N) & \psi_{n_2}(\vec{r}_N, s_N) & \dots & \psi_{n_N}(\vec{r}_N, s_N) \end{vmatrix} \quad . \end{aligned} \quad (6.34)$$

Jedno ásticové vlnové funkce m ěme psát jako sou iny sou adnicových a spinových funkcí. Budeme pořadovat, aby jedno ásticové funkce byly ortonormální. Varia ní funkcionál má v takovém p ípad tvar

$$\begin{aligned}
J &= \sum_{i=1}^N \int \psi_{n_i}^*(\vec{r}_i) \hat{H}_i \psi_{n_i}(\vec{r}_i) d^3 \vec{r}_i - \sum_{i=1}^N E_i \int \psi_{n_i}^*(\vec{r}_i) \psi_{n_i}(\vec{r}_i) d^3 \vec{r}_i + \\
&\quad \frac{1}{2} \sum_{\substack{i,k=1 \\ i \neq k}}^N \iint \psi_{n_i}^*(\vec{r}_i) \psi_{n_k}^*(\vec{r}_k) \check{V}_{ik} \psi_{n_i}(\vec{r}_i) \psi_{n_k}(\vec{r}_k) d^3 \vec{r}_i d^3 \vec{r}_k - \\
&\quad \frac{1}{2} \sum_{\substack{i,k=1 \\ i \neq k}}^N \delta_{s_i s_k} \iint \psi_{n_i}^*(\vec{r}_i) \psi_{n_k}^*(\vec{r}_k) \check{V}_{ik} \psi_{n_i}(\vec{r}_i) \psi_{n_k}(\vec{r}_k) d^3 \vec{r}_i d^3 \vec{r}_k .
\end{aligned} \tag{6.35}$$

Po variaci dostáváme soustavu rovnic

$$\begin{aligned}
&\left[-\frac{\hbar^2}{2m} \Delta_{\vec{r}} + eV(\vec{r}) + \frac{e^2}{4\pi\epsilon_0} \sum_{\substack{k=1 \\ k \neq i}}^N \int \psi_{n_k}^*(\vec{r}') \frac{1}{|\vec{r} - \vec{r}'|} \psi_{n_k}(\vec{r}') d^3 \vec{r}' \right] \psi_{n_i}(\vec{r}) \\
&- \left[\frac{e^2}{4\pi\epsilon_0} \sum_{\substack{k=1 \\ k \neq i}}^N \delta_{s_i s_k} \int \psi_{n_k}^*(\vec{r}') \frac{1}{|\vec{r} - \vec{r}'|} \psi_{n_i}(\vec{r}') d^3 \vec{r}' \right] \psi_{n_k}(\vec{r}) = E_i \psi_{n_i}(\vec{r}) .
\end{aligned} \tag{6.36}$$

Pro celkovou energii (není prostým součtem energií E_i , neboť tak by byla coulombovská interakce započtena dvakrát) obdržíme výraz

$$\begin{aligned}
E &= \sum_{i=1}^N \int \psi_{n_i}^*(\vec{r}) \\
&\left\{ \left[-\frac{\hbar^2}{2m} \Delta_{\vec{r}} + eV(\vec{r}) + \frac{e^2}{8\pi\epsilon_0} \sum_{\substack{k=1 \\ k \neq i}}^N \int \psi_{n_k}^*(\vec{r}') \frac{1}{|\vec{r} - \vec{r}'|} \psi_{n_k}(\vec{r}') d^3 \vec{r}' \right] \psi_{n_i}(\vec{r}) \right. \\
&\quad \left. - \left[\frac{e^2}{8\pi\epsilon_0} \sum_{\substack{k=1 \\ k \neq i}}^N \delta_{s_i s_k} \int \psi_{n_k}^*(\vec{r}') \frac{1}{|\vec{r} - \vec{r}'|} \psi_{n_i}(\vec{r}') d^3 \vec{r}' \right] \psi_{n_k}(\vec{r}) \right\} .
\end{aligned} \tag{6.37}$$

Pro atom se Z protony v jádru a dvěma elektrony dostáváme

$$\begin{aligned}
&\left[-\frac{\hbar^2}{2m} \Delta_{\vec{r}} - \frac{Ze^2}{4\pi\epsilon_0 r} + \frac{e^2}{4\pi\epsilon_0} \int \psi_{n_2}^*(\vec{r}') \frac{1}{|\vec{r} - \vec{r}'|} \psi_{n_2}(\vec{r}') d^3 \vec{r}' \right] \psi_{n_1}(\vec{r}) \\
&- \left[\frac{e^2}{4\pi\epsilon_0} \delta_{s_1 s_2} \int \psi_{n_2}^*(\vec{r}') \frac{1}{|\vec{r} - \vec{r}'|} \psi_{n_1}(\vec{r}') d^3 \vec{r}' \right] \psi_{n_2}(\vec{r}) = E_1 \psi_{n_1}(\vec{r}) , \\
&\left[-\frac{\hbar^2}{2m} \Delta_{\vec{r}} - \frac{Ze^2}{4\pi\epsilon_0 r} + \frac{e^2}{4\pi\epsilon_0} \int \psi_{n_1}^*(\vec{r}') \frac{1}{|\vec{r} - \vec{r}'|} \psi_{n_1}(\vec{r}') d^3 \vec{r}' \right] \psi_{n_2}(\vec{r}) \\
&- \left[\frac{e^2}{4\pi\epsilon_0} \delta_{s_1 s_2} \int \psi_{n_1}^*(\vec{r}') \frac{1}{|\vec{r} - \vec{r}'|} \psi_{n_2}(\vec{r}') d^3 \vec{r}' \right] \psi_{n_1}(\vec{r}) = E_2 \psi_{n_2}(\vec{r}) .
\end{aligned} \tag{6.38}$$

Pro konkrétních výpočtech je výhodné použít rozkladu

$$\frac{1}{|\vec{r}_1 - \vec{r}_2|} = \sum_{l=0}^{\infty} \frac{4\pi}{2l+1} \frac{r_{<}^l}{r_{>}^{l+1}} \sum_{m=-l}^l Y_{lm}^*(\vartheta_1, \varphi_1) Y_{lm}(\vartheta_2, \varphi_2) \quad . \quad (6.39)$$

6.5 Ritzova varia ní metoda

Je z ejmé, že pro nejmenší hodnotu energiového spektra platí nerovnost

$$E_0 \leq J = \frac{\langle \psi | \hat{H} | \psi \rangle}{\langle \psi | \psi \rangle} \quad . \quad (6.40)$$

Dokaz je jednoduchý. Zapišme

$$|\psi\rangle = \sum_n |n\rangle \langle n | \psi \rangle \quad , \quad \hat{H} |n\rangle = E_n |n\rangle \quad . \quad (6.41)$$

Potom

$$J = \frac{\sum_{n=0}^{\infty} |\langle n | \psi \rangle|^2 E_n}{\sum_{n=0}^{\infty} |\langle n | \psi \rangle|^2} = \frac{\sum_{n=1}^{\infty} |\langle n | \psi \rangle|^2 (E_n - E_0)}{\sum_{n=0}^{\infty} |\langle n | \psi \rangle|^2} + E_0 \geq E_0 \quad . \quad (6.42)$$

Budeme tedy minimalizovat hodnotu funkcionálu J na podprostoru zkušebních vektorů. Tento podprostor parametrizujeme M parametry α_m , takže redukuje minimalizaci funkcionálu J na hledání minima funkce

$$J(\alpha_1, \dots, \alpha_M) = \frac{\langle \psi(\alpha_1, \dots, \alpha_M) | \hat{H} | \psi(\alpha_1, \dots, \alpha_M) \rangle}{\langle \psi(\alpha_1, \dots, \alpha_M) | \psi(\alpha_1, \dots, \alpha_M) \rangle} \quad . \quad (6.43)$$

Zvláštní pozornosti si zaslouží případ, kdy parametry α_m jsou koeficienty lineární kombinace vektorů báze M -rozměrného podprostoru p-íslu-ného Hilbertova prostoru

$$|\psi(\alpha_1, \dots, \alpha_M)\rangle = \sum_{j=1}^M \alpha_j |\phi_j\rangle \quad . \quad (6.44)$$

V tomto případě dostáváme

$$J(\alpha_1, \dots, \alpha_M) = \frac{\sum_{j,k=1}^M \alpha_j \alpha_k \langle \phi_j | \hat{H} | \phi_k \rangle}{\sum_j \alpha_j^2} \quad (6.45)$$

Z podmínky

$$\frac{\partial J(\alpha_1, \dots, \alpha_M)}{\partial \alpha_i} = 0 \quad , \quad i = 1, \dots, M \quad (6.46)$$

dostáváme soustavu rovnic

$$\sum_{k=1}^M \langle \phi_k | \hat{H} | \phi_i \rangle \alpha_k = J \alpha_i \quad . \quad (6.47)$$

Můžeme si také představit, že úloha je předvedena na nalezení vlastních hodnot a vlastních vektorů projekce \hat{H}_P hamiltoniánu do tohoto podprostoru

$$\hat{H}_P = \sum_{j,k=1}^M |\phi_j\rangle \langle \phi_j| \hat{H} |\phi_k\rangle \langle \phi_k| \quad (6.48)$$

s aproximací Schrödingerovy rovnice

$$\hat{H}_P |\phi_i\rangle = E_P |\phi_i\rangle \quad . \quad (6.49)$$

Promítneme-li totiž (6.49) postupně do vektorů (6.44), dostaneme soustavu M homogenních algebraických rovnic (6.47), která má řešení pro

$$\begin{vmatrix} \langle \phi_1 | (\hat{H} - E_P) | \phi_1 \rangle & \cdots & \langle \phi_1 | (\hat{H} - E_P) | \phi_M \rangle \\ \cdots & \cdots & \cdots \\ \langle \phi_M | (\hat{H} - E_P) | \phi_1 \rangle & \cdots & \langle \phi_M | (\hat{H} - E_P) | \phi_M \rangle \end{vmatrix} = 0 \quad . \quad (6.50)$$

Vektory báze mohou být parametrizovány s parametry α_s a v tomto parametru lze pak minimalizovat příslušný funkcionál.

Významnou aplikací je metoda *LCAO* pro výpočet elektronových stavů v molekulách. Molekulární vlnová funkce elektronu se konstruuje jako lineární kombinace vlnových funkcí elektronu jednotlivých atomů. Pro molekulu s M atomy hledáme tedy jednoelektronové vlnové funkce ve tvaru

$$\Psi(\vec{r}) = \sum_{m=1}^M \alpha_m \psi_{\{n_m\}}(\vec{r} - \vec{R}_m) \quad (6.51)$$

a tyto vlnové funkce můžeme pak vytvářet mnohaelektronové vlnové funkce.

7. Bornova a Oppenheimerova aproximace

7.1 Obecná teorie

Pro výpočet stacionárních stavů molekul je vhodná Bornova-Oppenheimerova aproximace. Předpokládáme, že spinové nezávislý Hamilton v operátor soustavy s N elektrony a M jádry je tvořen částí vyjadřující kinetickou energii jader, dále pak elektronovou částí obsahující kinetickou energii a vzájemnou interakci elektronů, a nakonec interakční částí, popisující interakci elektronů s jádry a vzájemnou interakci jader

$$\begin{aligned}
\dot{H} &= \dot{H}_J + \dot{H}_e + \dot{H}_{\text{int}} \quad , \quad \dot{H}_J = -\hbar^2 \sum_{r=1}^M \frac{1}{2M_r} \Delta_r \quad , \\
\dot{H}_e &= -\frac{\hbar^2}{2m} \sum_{i=1}^N \Delta_i + \frac{e^2}{8\pi \varepsilon_0} \sum_{\substack{i,k=1 \\ i \neq k}}^N \frac{1}{|\vec{r}_i - \vec{r}_k|} \quad , \\
\dot{H}_{\text{int}} &= \frac{e^2}{8\pi \varepsilon_0} \sum_{\substack{r,s=1 \\ r \neq s}}^M \frac{Z_r Z_s}{|\vec{R}_r - \vec{R}_s|} - \frac{e^2}{4\pi \varepsilon_0} \sum_{i=1}^N \sum_{r=1}^M \frac{Z_r}{|\vec{r}_i - \vec{R}_r|} \quad .
\end{aligned} \tag{7.1}$$

Vlnovou funkci hledáme ve tvaru

$$\psi(\{\vec{r}\}, \{\vec{R}\}) = \chi(\{\vec{r}\}, \{\vec{R}\}) X(\{\vec{R}\}) \quad , \tag{7.2}$$

kde funkce $\chi(\{\vec{r}\}, \{\vec{R}\})$ je e-ením rovnice

$$\begin{aligned}
& \left[\frac{\hbar^2}{2m} \sum_{i=1}^N \Delta_i + \frac{e^2}{8\pi \varepsilon_0} \sum_{\substack{i,k=1 \\ i \neq k}}^N \frac{1}{|\vec{r}_i - \vec{r}_k|} + \frac{e^2}{8\pi \varepsilon_0} \sum_{\substack{r,s=1 \\ r \neq s}}^M \frac{Z_r Z_s}{|\vec{R}_r - \vec{R}_s|} - \right. \\
& \left. \frac{e^2}{4\pi \varepsilon_0} \sum_{i=1}^N \sum_{r=1}^M \frac{Z_r}{|\vec{r}_i - \vec{R}_r|} \right] \chi(\{\vec{r}\}, \{\vec{R}\}) = U(\{\vec{R}\}) \chi(\{\vec{r}\}, \{\vec{R}\}) \quad , \\
& \int \chi^*(\{\vec{r}\}, \{\vec{R}\}) \chi(\{\vec{r}\}, \{\vec{R}\}) d\{\vec{r}\} = 1 \quad .
\end{aligned} \tag{7.3}$$

Varia ní úloha pro funkci $X(\{\vec{R}\})$ má pak v tomto p ípad tvar

$$\begin{aligned}
\delta J &= 0 \quad , \\
J &= \int X^*(\{\vec{R}\}) \left[-\hbar^2 \sum_{r=1}^M \frac{1}{2M_r} \Delta_r + U(\{\vec{R}\}) - E \right] X(\{\vec{R}\}) d\{\vec{R}\} \quad .
\end{aligned} \tag{7.4}$$

Z uvedeného funkcionálu m fleme pak odvodit pro pohyb jader "Schrödingerovu rovnici"

$$\left[-\hbar^2 \sum_{r=1}^M \frac{1}{2M_r} \Delta_r + U(\{\vec{R}\}) - E \right] X(\{\vec{R}\}) = 0 \quad . \tag{7.5}$$

Pro dvouatomovou molekulu (p edpokládáme, fle t fli-t je v klidu) ozna íme relativní sou adnici a redukovanou hmotnost jako

$$\vec{R} = \vec{R}_1 - \vec{R}_2 \quad , \quad \mu = \frac{M_1 M_2}{M_1 + M_2} \tag{7.6}$$

a rovnice (7.5) se zjednodu-í na

$$\left[-\frac{\hbar^2}{2\mu} \Delta + U(R) - E \right] X(\vec{R}) = 0 \quad . \tag{7.7}$$

Standardní substituce

$$X(\vec{R}) = \frac{\Sigma_K(R)}{R} Y_{KM}(\Theta, \Phi) \quad (7.8)$$

vede k rovnici

$$\left[-\frac{\hbar^2}{2\mu} \frac{d^2}{dR^2} + U_{eff}(R, K) - E \right] \Sigma_K(R) = 0 \quad , \quad (7.9)$$

kde

$$U_{eff}(R, K) = U(R) + \frac{\hbar^2 K(K+1)}{2\mu R^2} \quad . \quad (7.10)$$

Blízko rovnovážného stavu pak ponecháme jen nejnižší leny rozvoje efektivního potenciálu

$$U_{eff}(R, K) = U_{eff}(R_0, K) + \frac{\mu\Omega^2}{2} (R - R_0)^2 \quad , \quad \Omega^2 = \frac{1}{\mu} \frac{d^2 U_{eff}(R_0, K)}{dR^2} \quad . \quad (7.11)$$

Dosazením (7.11) do (7.9) dostáváme rovnici harmonického oscilátoru. Struktura energiových hladin dvouatomové molekuly je tak tvořena třemi leny ó elektronovým, rota ním a vibra ním

$$E = E^{(el)} + E^{(r)} + E^{(v)} \quad , \quad (7.12)$$

$$E^{(el)} = U(R_0) \quad , \quad E^{(r)} = B K(K+1) \quad , \quad E^{(v)} = \hbar\Omega \left(v + \frac{1}{2} \right) \quad .$$

Ve vztahu (7.12) jsme zavedli konstantu $B = \hbar^2 / (2\mu R_0^2)$, která určuje škálu rota ních hladin energie. Typické hodnoty pro základní molekuly jsou uvedeny v Tabulce 1.

Tabulka 1

molekula eV	H ₂	N ₂	O ₂
$-U(R_0)$	4,7	7,5	5,2
$\hbar\Omega$	0,54	0,29	0,20
$10^3 B$	7,6	0,25	0,18

7.2 Molekula vodíku

7.2.1 Iont molekuly vodíku

Nejprve budeme studovat jednoduší případ, a to iont molekuly vodíku. V tomto případě má hamiltonián v Bornovó Oppenheimerové aproximaci tvar

$$\begin{aligned} \hat{H} &= \frac{\hbar^2}{2m} \Delta - \frac{e^2}{4\pi\epsilon_0 r_1} - \frac{e^2}{4\pi\epsilon_0 r_2} + \frac{e^2}{4\pi\epsilon_0 R} \quad , \\ \vec{r}_1 &= \vec{r} - \vec{R}_1 \quad , \quad \vec{r}_2 = \vec{r} - \vec{R}_2 \quad , \quad \vec{R} = \vec{R}_1 - \vec{R}_2 \quad . \end{aligned} \quad (7.13)$$

Při malé vzdálenosti protonů by se molekulární vlnová funkce chovala podobně jako vlnová funkce elektronu v heliovém atomu, při velké vzdálenosti protonů by molekulární vlnová funkce jen s malou pravděpodobností obsahovala stav, kdy oba elektrony jsou lokalizovány kolem jednoho protonu. Vlnové funkce budeme tedy hledat ve tvaru

$$\begin{aligned} \psi(\vec{r}) &= \alpha \psi_a(\vec{r}_1) + \beta \psi_b(\vec{r}_2) \quad , \quad \int |\psi_a(\vec{r}_1)|^2 d^3\vec{r} = \int |\psi_b(\vec{r}_2)|^2 d^3\vec{r} = 1 \quad , \\ |\alpha|^2 + |\beta|^2 + \alpha \beta^* S(\vec{R}) + \alpha^* \beta S^*(\vec{R}) &= 1 \quad , \\ S(\vec{R}) &= \int \psi_a\left(\vec{r} - \frac{1}{2}\vec{R}\right) \psi_b^*\left(\vec{r} + \frac{1}{2}\vec{R}\right) d^3\vec{r} \quad . \end{aligned} \quad (7.14)$$

Hledáme tedy parametry α a β , které splní normovací podmínku a realizují minimum funkce

$$\begin{aligned} J &= |\alpha|^2 H_{aa} + |\beta|^2 H_{bb} + \alpha \beta^* H_{ba} + \alpha^* \beta H_{ab} \quad , \\ H_{aa} &= \int \psi_a^*(\vec{r}_1) \hat{H} \psi_a(\vec{r}_1) d^3\vec{r} \quad , \quad H_{bb} = \int \psi_b^*(\vec{r}_2) \hat{H} \psi_b(\vec{r}_2) d^3\vec{r} \quad , \\ H_{ba} &= \int \psi_b^*(\vec{r}_2) \hat{H} \psi_a(\vec{r}_1) d^3\vec{r} \quad , \quad H_{ab} = \int \psi_a^*(\vec{r}_1) \hat{H} \psi_b(\vec{r}_2) d^3\vec{r} \quad . \end{aligned} \quad (7.15)$$

Situaci podstatně zjednodušíme, hledáme-li vlnovou funkci základního stavu. Za vlnové funkce vezmeme

$$\begin{aligned} \psi_a(\vec{r}_1) &= \phi(r_1) \quad , \quad \psi_b(\vec{r}_2) = \phi(r_2) \quad , \\ \phi(r) &= \left(\frac{\gamma^3}{\pi a_B^3}\right)^{1/2} \exp\left\{-\gamma \frac{r}{a_B}\right\} \quad . \end{aligned} \quad (7.16)$$

a vzhledem k symetrii budeme uvažovat jen symetrické a antisymetrické kombinace

$$\psi_{\pm}(\vec{r}) = \left(\frac{1}{2(1 \pm S)}\right)^{1/2} [\phi(r_1) \pm \phi(r_2)] \quad , \quad S = \int \phi(r_1) \phi(r_2) d^3\vec{r} \quad . \quad (7.17)$$

Pro maticové elementy hamiltoniánu dostáváme

$$\begin{aligned}
H_{aa} = H_{bb} &= \frac{\hbar^2}{m a_B^2} \left[-\frac{1}{2} \gamma^2 + \gamma(\gamma-1) + \frac{\gamma}{\rho} - \gamma C \right] , \\
H_{ba} = H_{ab} &= \frac{\hbar^2}{m a_B^2} \left[-\frac{1}{2} \gamma^2 S + \gamma(\gamma-2)E + \frac{\gamma S}{\rho} \right] .
\end{aligned} \tag{7.18}$$

Zde jsme označili $\rho = \gamma R / a_B$ a zavedli integrály pro ekrytový $S(\rho)$, Coulombový $C(\rho)$ a výmenný $E(\rho)$

$$\begin{aligned}
S(\rho) &= \int \phi(r_1) \phi(r_2) d^3 \vec{r} = \left(1 + \rho + \frac{1}{3} \rho^2 \right) \exp\{-\rho\} , \\
C(\rho) &= \frac{a_B}{\gamma} \int \frac{\phi(r_1) \phi(r_2)}{r_2} d^3 \vec{r} = \frac{1}{\rho} (1 - (1 + \rho) \exp\{-2\rho\}) , \\
E(\rho) &= \frac{a_B}{\gamma} \int \frac{\phi(r_1) \phi(r_2)}{r_2} d^3 \vec{r} = (1 + \rho) \exp\{-\rho\} .
\end{aligned} \tag{7.19}$$

Minimalizujeme tedy výrazy

$$\begin{aligned}
J_+ &= \frac{\hbar^2}{m a_B^2} \left[-\frac{1}{2} \gamma^2 + \frac{\gamma}{\rho} + \frac{\gamma(\gamma-1) - \gamma C(\rho) + \gamma(\gamma-2)E(\rho)}{1 + S(\rho)} \right] , \\
J_- &= \frac{\hbar^2}{m a_B^2} \left[-\frac{1}{2} \gamma^2 + \frac{\gamma}{\rho} + \frac{\gamma(\gamma-1) - \gamma C(\rho) - \gamma(\gamma-2)E(\rho)}{1 - S(\rho)} \right] .
\end{aligned} \tag{7.20}$$

Pro J_- nenajdeme minimum, pro J_+ máme jedno minimum. V okolí významných bodů lze psát

$$\begin{aligned}
\gamma &\approx \begin{cases} 2 & R \rightarrow 0 \\ 1.2380 - 0.2026(R - 2.0033) & R \rightarrow R_{\min} \\ 1 & R \rightarrow \infty \end{cases} , \\
\frac{m a_B^2}{\hbar^2} J_+ &\approx \begin{cases} 1/R & R \rightarrow 0 \\ -0.5865 + 0.0468(R - 2.0033)^2 & R \rightarrow R_{\min} \\ -1/2 & R \rightarrow \infty \end{cases} .
\end{aligned} \tag{7.21}$$

7.2.2 Molekula vodíku

Opět v Bornově-Oppenheimerově aproximaci vezmeme za elektronový hamiltonián výraz

$$\begin{aligned}
\hat{H} = & \frac{\hbar^2}{2m} \Delta_1 - \frac{e^2}{4\pi \varepsilon_0 |\vec{r}_1 - \vec{R}_a|} - \frac{e^2}{4\pi \varepsilon_0 |\vec{r}_1 - \vec{R}_b|} \\
& \frac{\hbar^2}{2m} \Delta_2 - \frac{e^2}{4\pi \varepsilon_0 |\vec{r}_2 - \vec{R}_a|} - \frac{e^2}{4\pi \varepsilon_0 |\vec{r}_2 - \vec{R}_b|} \\
& + \frac{e^2}{4\pi \varepsilon_0 |\vec{r}_1 - \vec{r}_2|} + \frac{e^2}{4\pi \varepsilon_0 |\vec{R}_a - \vec{R}_b|} .
\end{aligned} \tag{7.22}$$

a vlnovou funkcií budeme hledat ve tvaru

$$\begin{aligned}
\psi_s(\vec{r}_1, \vec{r}_2) &= \frac{1}{[2(1+S^2)]^{1/2}} [\psi_a(\vec{r}_1)\psi_b(\vec{r}_2) + \psi_b(\vec{r}_1)\psi_a(\vec{r}_2)] , \\
\psi_t(\vec{r}_1, \vec{r}_2) &= \frac{1}{[2(1-S^2)]^{1/2}} [\psi_a(\vec{r}_1)\psi_b(\vec{r}_2) - \psi_b(\vec{r}_1)\psi_a(\vec{r}_2)] , \\
\psi_a(\vec{r}) &= \phi(|\vec{r} - \vec{R}_a|) , \quad \psi_b(\vec{r}) = \phi(|\vec{r} - \vec{R}_b|) .
\end{aligned} \tag{7.23}$$

Připomejme, že spinová část vlnové funkce má tvar

$$\begin{aligned}
\chi_s(s_1, s_2) &= \frac{1}{\sqrt{2}} \left[\begin{pmatrix} 1 \\ 0 \end{pmatrix}_1 \begin{pmatrix} 0 \\ 1 \end{pmatrix}_2 - \begin{pmatrix} 0 \\ 1 \end{pmatrix}_1 \begin{pmatrix} 1 \\ 0 \end{pmatrix}_2 \right] , \\
\chi_{t_1}(s_1, s_2) &= \begin{pmatrix} 1 \\ 0 \end{pmatrix}_1 \begin{pmatrix} 1 \\ 0 \end{pmatrix}_2 , \quad \chi_{t_3}(s_1, s_2) = \begin{pmatrix} 0 \\ 1 \end{pmatrix}_1 \begin{pmatrix} 0 \\ 1 \end{pmatrix}_2 , \\
\chi_{t_2}(s_1, s_2) &= \frac{1}{\sqrt{2}} \left[\begin{pmatrix} 1 \\ 0 \end{pmatrix}_1 \begin{pmatrix} 0 \\ 1 \end{pmatrix}_2 + \begin{pmatrix} 0 \\ 1 \end{pmatrix}_1 \begin{pmatrix} 1 \\ 0 \end{pmatrix}_2 \right] .
\end{aligned} \tag{7.24}$$

Podobně jako u iontu, dostáváme pro energiový funkcionál molekuly vyjádření

$$\begin{aligned}
J &= \frac{\langle ab | \hat{H} | ab \rangle \pm \langle ba | \hat{H} | ab \rangle}{1 \pm S^2} , \\
\langle ab | \hat{H} | ab \rangle &= \langle ba | \hat{H} | ba \rangle = \iint \psi_b^*(\vec{r}_2) \psi_a^*(\vec{r}_1) \hat{H} \psi_a(\vec{r}_1) \psi_b(\vec{r}_2) d^3 \vec{r}_1 d^3 \vec{r}_2 , \\
\langle ba | \hat{H} | ab \rangle &= \langle ab | \hat{H} | ba \rangle = \iint \psi_a^*(\vec{r}_2) \psi_b^*(\vec{r}_1) \hat{H} \psi_a(\vec{r}_1) \psi_b(\vec{r}_2) d^3 \vec{r}_1 d^3 \vec{r}_2 .
\end{aligned} \tag{7.25}$$

Ke všem integrálům známým z předchozí kapitoly přibudou dva další (ϕ je reálná funkce!)

$$\begin{aligned}
C_2(\rho) &= \frac{a_B}{\gamma} \iint \frac{1}{|\vec{r}_1 - \vec{r}_2|} \phi^2(|\vec{r}_1 - \vec{R}_a|) \phi^2(|\vec{r}_2 - \vec{R}_b|) d^3 \vec{r}_1 d^3 \vec{r}_2 , \\
E_2(\rho) &= \frac{a_B}{\gamma} \iint \frac{1}{|\vec{r}_1 - \vec{r}_2|} \phi(|\vec{r}_1 - \vec{R}_a|) \phi(|\vec{r}_1 - \vec{R}_b|) \phi(|\vec{r}_2 - \vec{R}_b|) \phi(|\vec{r}_2 - \vec{R}_a|) d^3 \vec{r}_1 d^3 \vec{r}_2 .
\end{aligned} \tag{7.26}$$

Minimalizujeme pak výraz

$$\begin{aligned}
J_+ &= \frac{\hbar^2}{m a_B^2} \left[-\alpha(\rho) \gamma + \beta(\rho) \gamma^2 \right] , \\
\alpha(\rho) &= \frac{2 \left[1 + C(\rho) \right] + 4 S(\rho) E(\rho) - C_2(\rho) - E_2(\rho)}{1 + S^2(\rho)} - \frac{1}{\rho} , \\
\beta(\rho) &= \frac{1 - S^2(\rho) + 2 S(\rho) E(\rho)}{1 + S^2(\rho)} .
\end{aligned} \tag{7.27}$$

8. Kvasiklasická aproximace

8.1 Základní vztahy

e-ení Schrödingerovy rovnice

$$i \hbar \frac{\partial}{\partial t} \Psi = \left(-\frac{\hbar^2}{2m} \Delta + U \right) \Psi \tag{8.1}$$

hledáme ve tvaru

$$\Psi(\vec{r}, t) = A(\vec{r}, t) \exp \left\{ \frac{i}{\hbar} S(\vec{r}, t) \right\} . \tag{8.2}$$

Dosazením (8.2) do (8.1) dostáváme

$$A \frac{\partial S}{\partial t} - i \hbar \frac{\partial A}{\partial t} + \frac{1}{2m} A (\vec{\nabla} S)^2 - \frac{i \hbar}{2m} A \Delta S - \frac{i \hbar}{m} \vec{\nabla} S \cdot \vec{\nabla} A + U A - \frac{\hbar^2}{2m} \Delta A = 0 . \tag{8.3}$$

Oddělení členů u sudých a lichých mocnin \hbar dává

$$\begin{aligned}
\frac{\partial S}{\partial t} + \frac{(\vec{\nabla} S)^2}{2m} + U - \frac{\hbar^2 \Delta A}{2m A} &= 0 , \\
\frac{\partial A}{\partial t} + A \frac{\Delta S}{2m} + \frac{1}{m} \vec{\nabla} S \cdot \vec{\nabla} A &= 0 .
\end{aligned} \tag{8.4}$$

Zanedbáme-li člen s \hbar^2 (škvanový potenciál) a označíme $\rho = A^2$, můžeme rovnice přepsat na Hamiltonovu - Jacobiho rovnici a rovnici kontinuity

$$-\frac{\partial S}{\partial t} = H(\vec{\nabla} S, \vec{r}) , \quad -\frac{\partial \rho}{\partial t} = \vec{\nabla} \cdot \left(\rho \frac{\vec{\nabla} S}{m} \right) . \tag{8.5}$$

Ve stacionárním jednorozměrném případě je e-ením

$$\begin{aligned}\psi(x) &= \frac{C_1}{\sqrt{p}} \exp\left\{\frac{i}{\hbar} \int_a^x p dx\right\} + \frac{C_2}{\sqrt{p}} \exp\left\{-\frac{i}{\hbar} \int_a^x p dx\right\}, \quad p = \sqrt{2m(E-U)}, \\ \psi(x) &= \frac{D_1}{\sqrt{|p|}} \exp\left\{\frac{1}{\hbar} \int_b^x |p| dx\right\} + \frac{D_2}{\sqrt{|p|}} \exp\left\{-\frac{1}{\hbar} \int_b^x |p| dx\right\}, \quad |p| = \sqrt{2m(U-E)}.\end{aligned}\quad (8.6)$$

Podmínka platnosti aproximace je, aby p ísp vek škvantového potenciáluø byl malý, v tomto p ípad ěi lze vyjád ěit jako

$$\left|\frac{d\lambda}{dx}\right| \ll 2\pi, \quad \lambda(x) = \frac{2\pi\hbar}{p(x)}.\quad (8.7)$$

8.2 Okrajové podmínky

A $x=a$ a $x=b$ jsou body obratu, tedy

$$\begin{aligned}U(x) &> E & x < a &, \\ U(x) &< E & a < x < b &, \\ U(x) &> E & x > b &.\end{aligned}\quad (8.8)$$

Kvasiklasická e-ení v jednotlivých oblastech jsou

$$\begin{aligned}\psi(x) &= \frac{A}{2\sqrt{|p|}} \exp\left\{\frac{1}{\hbar} \int_a^x |p| dx\right\}, \quad \psi(x) = \frac{C_1}{\sqrt{p}} \exp\left\{\frac{i}{\hbar} \int_a^x p dx\right\} + \frac{C_2}{\sqrt{p}} \exp\left\{-\frac{i}{\hbar} \int_a^x p dx\right\} \\ &= \frac{D_1}{\sqrt{p}} \exp\left\{\frac{i}{\hbar} \int_b^x p dx\right\} + \frac{D_2}{\sqrt{p}} \exp\left\{-\frac{i}{\hbar} \int_b^x p dx\right\}, \quad \psi(x) = \frac{B}{2\sqrt{|p|}} \exp\left\{-\frac{1}{\hbar} \int_b^x |p| dx\right\}.\end{aligned}\quad (8.9)$$

V okolí bod ů obratu je

$$E - U(x) \approx \frac{\hbar^2 \alpha^2}{2m} (x-a), \quad E - U(x) \approx -\frac{\hbar^2 \beta^2}{2m} (x-b).\quad (8.10)$$

V tomto okolí (ale stále dostate ěn ě daleko od bod ů obrat ů) m ůžeme psát

$$\begin{aligned}\psi(x) &= \frac{A}{2\sqrt{\hbar\alpha}(a-x)^{1/4}} \exp\left\{-\frac{2\alpha}{3}(a-x)^{3/2}\right\}, \quad \psi(x) = \\ &= \frac{C_1}{\sqrt{\hbar\alpha}(x-a)^{1/4}} \exp\left\{\frac{2\alpha}{3}i(x-a)^{3/2}\right\} + \frac{C_2}{\sqrt{\hbar\alpha}(x-a)^{1/4}} \exp\left\{-\frac{2\alpha}{3}i(x-a)^{3/2}\right\} = \\ &= \frac{D_1}{\sqrt{\hbar\beta}(b-x)^{1/4}} \exp\left\{-\frac{2\beta}{3}i(b-x)^{3/2}\right\} + \frac{D_2}{\sqrt{\hbar\beta}(b-x)^{1/4}} \exp\left\{\frac{2\beta}{3}i(b-x)^{3/2}\right\}, \\ \psi(x) &= \frac{B}{2\sqrt{\hbar\beta}(x-b)^{1/4}} \exp\left\{-\frac{2\beta}{3}(x-b)^{3/2}\right\}.\end{aligned}\quad (8.11)$$

P i analytickém prodloužení odmocnin do komplexní roviny pouěijeme zápisu

$$\begin{aligned}\varphi \in (0, \pi) &\Rightarrow x - b = \rho \exp\{i\varphi\} \quad , \quad a - x = \rho \exp\{i(\varphi - \pi)\} \quad , \\ \varphi \in (\pi, 2\pi) &\Rightarrow x - b = \rho \exp\{i(\varphi - 2\pi)\} \quad , \quad a - x = \rho \exp\{i(\varphi - \pi)\} \quad .\end{aligned}\tag{8.12}$$

Obchodem bod obratu v horní (spodní) polorovině dostáváme podmínky spojitosti

$$\begin{aligned}C_2 &= \frac{A}{2} \exp\left\{i\frac{\pi}{4}\right\} \quad , \quad D_2 = \frac{B}{2} \exp\left\{-i\frac{\pi}{4}\right\} \quad , \\ C_1 &= \frac{A}{2} \exp\left\{-i\frac{\pi}{4}\right\} \quad , \quad D_1 = \frac{B}{2} \exp\left\{i\frac{\pi}{4}\right\}\end{aligned}\tag{8.13}$$

a nakonec tedy

$$\frac{1}{\hbar} \int_a^b p \, dx - \frac{\pi}{2} = n\pi \quad , \quad B = (-1)^n A \quad .\tag{8.14}$$

8.3 Bohrovo - Sommerfeldovo kvantování

Připomejme, že v klasické mechanice máme pro periodu výraz

$$\begin{aligned}T &= \frac{2\pi}{\omega} = \oint dt = 2 \int_a^b \frac{dx}{v(x)} = 2m \int_a^b \frac{dx}{p(x)} \quad , \\ v &= \frac{\partial E}{\partial p} \quad , \quad T = \oint \frac{\partial p}{\partial E} dx \quad .\end{aligned}\tag{8.15}$$

Kvasiklasická vlnová funkce normovaná na jednici je z (8.6) a (8.13)

$$\psi(x) = \sqrt{\frac{2\omega}{\pi v}} \cos\left\{\frac{1}{\hbar} \int_a^x p \, dx - \frac{\pi}{4}\right\} \quad ,\tag{8.16}$$

podmínku kvantování (8.14) napíšeme jako

$$\frac{1}{2\pi\hbar} \oint p \, dx = n + \frac{1}{2} \quad .\tag{8.17}$$

Dále pak $S = \oint p \, dx$ je plocha uvnitř uzavřené trajektorie ve fázovém prostoru. Podlíme-li tuto plochu výrazem $2\pi\hbar$, dostaneme počet kvantových stavů n s energiemi menšími, než je energie na uvažované trajektorii. Můžeme říci, že v kvasiklasické aproximaci odpovídá jednomu kvantovému stavu buňka fázového prostoru velikosti $2\pi\hbar$. Pro počet stavů v elementárním objemu fázového prostoru dostáváme

$$\Delta N = \frac{\Delta q_1 \dots \Delta q_s \Delta p_1 \dots \Delta p_s}{(2\pi\hbar)^s} \quad .\tag{8.18}$$

Odečtením kvantových podmínek pro dvě sousední energetické hladiny dostáváme

$$\oint p(E + \Delta E) dx - \oint p(E) dx = \Delta E \oint \frac{\partial p}{\partial E} dx \quad , \quad (8.19)$$

$$\Delta E \frac{2\pi}{\omega} = 2\pi \hbar \Rightarrow \Delta E = \hbar \omega \quad .$$

9. Poruchy na ase závislé

9.1 Interak ní reprezentace

Budeme po ítat v interak ní reprezentaci. P edpokládáme, že hamiltonián je složen ze dvou ástí $\check{H} = \check{H}_0 + \check{V}$: \check{H}_0 je na ase nezávislá základní ást (neporu-ený hamiltonián), \check{V} je interak ní ást, která m že explicitn záviset na ase (porucha). Platí

$$\check{H}_{\text{int}} = \exp\left(\frac{i}{\hbar} \check{H}_0 t\right) \check{V} \exp\left(-\frac{i}{\hbar} \check{H}_0 t\right) \quad , \quad |\Psi_{\text{int}}\rangle = \exp\left(\frac{i}{\hbar} \check{H}_0 t\right) |\Psi\rangle \quad (9.1)$$

$$\Rightarrow i\hbar \frac{\partial}{\partial t} |\Psi_{\text{int}}(t)\rangle = \check{H}_{\text{int}} |\Psi_{\text{int}}(t)\rangle \quad .$$

Odtud dále

$$|\Psi_{\text{int}}(t)\rangle = \check{S}(t, 0) |\Psi_{\text{int}}(0)\rangle \quad ,$$

$$i\hbar \frac{\partial}{\partial t} \check{S}(t, 0) = \check{H}_{\text{int}}(t) \check{S}(t, 0) \quad , \quad \check{S}(0, 0) = \check{I} \Rightarrow \quad (9.2)$$

$$\check{S}(t, 0) = \check{I} - \frac{i}{\hbar} \int_0^t \check{H}_{\text{int}}(t_1) dt_1 - \frac{1}{\hbar^2} \int_0^t \check{H}_{\text{int}}(t_1) \int_0^{t_1} \check{H}_{\text{int}}(t_2) dt_2 dt_1 + \dots$$

Jako bázi zvolíme vlastní vektory hamiltoniánu \check{H}_0

$$\check{H}_0 |\Phi_n\rangle = E_n |\Phi_n\rangle \quad , \quad |\Psi_{\text{int}}(t)\rangle = \sum_n c_n(t) |\Phi_n\rangle \quad . \quad (9.3)$$

Vlnovou funkci ve Schrödingerov representaci zapí-eme dv ma zp soby

$$|\Psi\rangle = \exp\left(-\frac{i}{\hbar} \check{H}_0 t\right) |\Psi_{\text{int}}(t)\rangle = \sum_n c_n(t) \exp\left(-\frac{i}{\hbar} E_n t\right) |\Phi_n\rangle \quad ,$$

$$|\Psi\rangle = \exp\left(-\frac{i}{\hbar} \check{H}_0 t\right) \check{S}(t, 0) |\Psi_{\text{int}}(0)\rangle = \quad (9.4)$$

$$\sum_n \sum_m c_m(0) \exp\left(-\frac{i}{\hbar} E_n t\right) |\Phi_n\rangle \langle \Phi_n | \check{S}(t, 0) | \Phi_m \rangle$$

a promítnutím do $|\Phi_k\rangle$ dostáváme pro $c_k(t)$ (vektor $|\Psi_{\text{int}}(t)\rangle$ není normován na jednotku!)

$$c_k(t) = \sum_n c_n(0) \langle \Phi_k | \hat{S}^{\check{}}(t,0) | \Phi_n \rangle . \quad (9.5)$$

S ozna ením $V_{kn}(t) = \langle \Phi_k | \check{V}(t) | \Phi_n \rangle$ máme pak

$$c_k(t) = \sum_n c_n(0) \left\{ \delta_{kn} - \frac{i}{\hbar} \int_0^t V_{kn}(t_1) \exp\left\{ \frac{i}{\hbar} (E_k - E_n) t_1 \right\} dt_1 - \frac{1}{\hbar^2} \sum_m \int_0^t V_{km}(t_1) \exp\left\{ \frac{i}{\hbar} (E_k - E_m) t_1 \right\} \int_0^{t_1} V_{mn}(t_2) \exp\left\{ \frac{i}{\hbar} (E_m - E_n) t_2 \right\} dt_2 dt_1 + \dots \right\} \quad (9.6)$$

P ímým dosazením za $|\Psi_{\text{int}}(t)\rangle$ z (9.3) do (9.1) a promítnutím do $|\Phi_m\rangle$ dostáváme

$$\sum_m i \hbar \frac{d}{dt} c_m(t) |\Phi_m\rangle = \sum_m c_m(t) \check{H}_{\text{int}}(t) |\Phi_m\rangle , \quad (9.7)$$

$$i \hbar \frac{d}{dt} c_n(t) = \sum_m V_{nm}(t) \exp\left\{ \frac{i}{\hbar} (E_n - E_m) t \right\} c_m(t) .$$

9.2 Fermiho zlaté pravidlo

P edpokládejme, že v ase $t=0$ je soustava v určitém stavu (po áte ním) $|\Phi_i\rangle$, takže pro koeficienty $c_{ik}(0) = \delta_{ik}$. Po ítejme pravd podobnost p echodu do (kone ného) stavu $|\Phi_f\rangle$ r zného od $|\Phi_i\rangle$, tedy koeficient $c_{f[i]}(t)$. P idaný index i zvýraz uje, že po ítáme p echod z tohoto po áte ního stavu. S ozna ením $\hbar \omega_{fi} = E_f - E_i$ pak máme v prvním p íblížení

$$c_{f[i]}(t) = -\frac{i}{\hbar} \int_0^t V_{fi}(t_1) \exp\{i \omega_{fi} t_1\} dt_1 . \quad (9.8)$$

9.2.1 Harmonický pr b h asové závislosti poruchy.

Pro harmonickou poruchu

$$\check{V}(t) = \check{F} \exp\{-i \omega t\} + \check{F}^+ \exp\{i \omega t\}$$

dostáváme

$$c_{f[i]}(t) = -\frac{i}{\hbar} \int_0^t V_{fi}(t_1) \exp\{i \omega_{fi} t_1\} dt_1 =$$

$$\frac{1}{\hbar} F_{fi} \frac{\exp\{i(\omega_{fi} - \omega)t\} - 1}{\omega_{fi} - \omega} - \frac{1}{\hbar} F_{if}^* \frac{\exp\{i(\omega - \omega_{if})t\} - 1}{\omega - \omega_{if}} . \quad (9.9)$$

Zvlá-tní pozornost zasluhuje p ípad, kdy $\omega \approx \omega_{fi}$ nebo $\omega \approx \omega_{if}$. Po ítejme pravd podobnost p echodu za jednotku asu, definovanou vztahem

$$w_{f[i]} = \lim_{t \rightarrow \infty} \frac{|c_{f[i]}(t)|^2}{t} . \quad (9.10)$$

Ze (9.9) dostáváme

$$\begin{aligned} \hbar^2 |c_{f[i]}(t)|^2 &= |F_{fi}|^2 \frac{\sin^2(\omega_{fi} - \omega)t/2}{(\omega_{fi} - \omega/2)^2} + |F_{if}|^2 \frac{\sin^2(\omega_{fi} + \omega)t/2}{((\omega_{fi} + \omega)/2)^2} + \\ &[F_{fi} F_{if} \exp\{-i\omega t\} + F_{fi}^* F_{if}^* \exp\{i\omega t\}] \frac{\sin^2 \omega_{fi} t/2 - \sin^2 \omega t/2}{(\omega_{fi}/2)^2 - (\omega/2)^2} . \end{aligned} \quad (9.11)$$

S využitím vztahu

$$\delta(x) = \lim_{t \rightarrow \infty} \frac{\sin^2(xt)}{\pi x^2 t} \quad (9.12)$$

dostáváme

$$\begin{aligned} \frac{\hbar^2}{\pi} w_{f[i]} &= |F_{fi}|^2 \delta((\omega_{fi} - \omega)/2) + |F_{if}|^2 \delta((\omega_{fi} + \omega)/2) + \\ &[F_{fi} F_{if} + F_{fi}^* F_{if}^*] \delta(\omega_{fi}/2) . \end{aligned} \quad (9.13)$$

To znamená

$$w_{f[i]} = \frac{2\pi}{\hbar} |F_{fi}|^2 \delta(E_f - E_i + \hbar\omega) , \quad w_{f[i]} = \frac{2\pi}{\hbar} |F_{if}|^2 \delta(E_i - E_f + \hbar\omega) \quad (9.14)$$

pro absorpci ($E_f = E_i + \hbar\omega$ a $\exp\{-i\omega t\}$) nebo emisi ($E_f = E_i - \hbar\omega$ a $\exp\{i\omega t\}$) fotonu a

$$w_{f[i]} = \frac{2\pi}{\hbar} |F_{fi} + F_{if}^*|^2 \delta(E_f - E_i) \quad (9.15)$$

pro stacionární poruchu ($\omega=0$). P i p echodech do finálního stavu, který leží ve spojitém spektru s hustotou stav $d\nu_f$ nebo i pro diskrétní spektrum s velmi blízkými energiemi po ítáme

$$w_{f[i]} = \sum_{\{n|E_n \approx E_f\}} w_{n[i]} = \int dw_{f[i]} , \quad (9.16)$$

kde hustota pravd podobnosti p echodu za jednotku asu je dw_{fi}

$$dw_{f[i]} = \frac{2\pi}{\hbar} |F_{fi}|^2 \delta(E_f - E_i - \hbar\omega) dv_f = \frac{2\pi}{\hbar} |F_{fi}|^2 \delta(E_f - E_i - \hbar\omega) \rho(E_f) dE_f, \quad (9.17)$$

$$dw_{f[i]} = \frac{2\pi}{\hbar} |F_{if}|^2 \delta(E_f - E_i + \hbar\omega) dv_f = \frac{2\pi}{\hbar} |F_{if}|^2 \delta(E_f - E_i + \hbar\omega) \rho(E_f) dE_f.$$

Princip detailní rovnováhy říká, že vzhledem k

$$|F_{fi}|^2 = F_{fi} F_{fi}^* = (F_{fi}^*)^* F_{fi}^* = (F_{if}^+)^* F_{if}^+ = |F_{if}^+|^2, \quad (9.18)$$

platí

$$\frac{w_{f[i]}}{\rho(E_f)} = \frac{w_{i[f]}}{\rho(E_i)}. \quad (9.19)$$

10. Vlastní hodnoty a vlastní funkce operátoru momentu hybnosti

V předchozích částech jsme se s operátorem momentu hybnosti letmo setkali a také jsme v nich v některých případech brali v úvahu spin elektronu. Teď se budeme zabývat úvahami poněkud zprávnějšími. Jednotkový axiální tenzor ε_{ikl} nabývá hodnotu 1 pro indexy $\{ikl\}$, které vznikly sudým počtem transpozic z $\{123\}$, hodnotu -1 pro indexy $\{ikl\}$, které vznikly lichým počtem transpozic z $\{123\}$ a hodnotu 0 v ostatních případech. Platí

$$\varepsilon_{ikl} \varepsilon_{rst} = \begin{vmatrix} \delta_{ir} & \delta_{is} & \delta_{it} \\ \delta_{kr} & \delta_{ks} & \delta_{kt} \\ \delta_{lr} & \delta_{ls} & \delta_{lt} \end{vmatrix}, \quad \varepsilon_{ikl} \varepsilon_{rsl} = \begin{vmatrix} \delta_{ir} & \delta_{is} \\ \delta_{kr} & \delta_{ks} \end{vmatrix}, \quad (10.1)$$

$$\varepsilon_{ikl} \varepsilon_{rkl} = 2\delta_{ir}, \quad \varepsilon_{ikl} \varepsilon_{ikl} = 6.$$

Poznámka: používáme zde Einsteinovu sumaci symboliku, tj. se sčítáme přes indexy, které se v daném členu vyskytují opakovaně. Pomocí tenzoru ε_{ikl} zapíšeme operátor momentu hybnosti a jeho komutační relace jako

$$\hbar \hat{l}_i'' = \varepsilon_{ikl} \hat{q}_k \hat{p}_l, \quad [\hat{l}_i'', \hat{q}_k] = i \varepsilon_{ikl} \hat{q}_l, \quad [\hat{l}_i'', \hat{p}_k] = i \varepsilon_{ikl} \hat{p}_l. \quad (10.2)$$

Snadno také ukážeme, že

$$\hbar [\hat{l}_i'', \hat{l}_j''] = \varepsilon_{jkl} \hat{l}_i'' \hat{q}_k \hat{p}_l - \varepsilon_{jkl} \hat{q}_k \hat{p}_l \hat{l}_i'' = \varepsilon_{jkl} \hat{q}_k \hat{l}_i'' \hat{p}_l + i \varepsilon_{jkl} \varepsilon_{ikm} \hat{q}_m \hat{p}_l - \varepsilon_{jkl} \hat{q}_k \hat{p}_l \hat{l}_i'' = i \varepsilon_{jkl} \varepsilon_{ilm} \hat{q}_k \hat{p}_m + i \varepsilon_{jkl} \varepsilon_{ikm} \hat{q}_m \hat{p}_l = i (\hat{q}_j \hat{p}_i - \hat{q}_i \hat{p}_j) = i \hbar \varepsilon_{ijk} \hat{l}_k''. \quad (10.3)$$

Definujeme

$$\hat{l}''^2 = \hat{l}_x''^2 + \hat{l}_y''^2 + \hat{l}_z''^2, \quad \hat{l}_+'' = \frac{1}{\sqrt{2}} (\hat{l}_x'' + i \hat{l}_y''), \quad \hat{l}_-'' = \frac{1}{\sqrt{2}} (\hat{l}_x'' - i \hat{l}_y''). \quad (10.4)$$

Pro tyto operátory platí komutační relace

$$\left[\hat{l}^2, \hat{l}_i \right] = 0 \quad , \quad \left[\hat{l}_+, \hat{l}_- \right] = \hat{l}_z \quad , \quad \left[\hat{l}_z, \hat{l}_+ \right] = \hat{l}_+ \quad , \quad , \quad \left[\hat{l}_z, \hat{l}_- \right] = -\hat{l}_- \quad . \quad (10.5)$$

Operátor třetice momentu hybnosti můžeme psát jako

$$\hat{l}^2 = 2\hat{l}_+ \hat{l}_- + \hat{l}_z^2 - \hat{l}_z = 2\hat{l}_- \hat{l}_+ + \hat{l}_z^2 + \hat{l}_z \quad . \quad (10.6)$$

V souřadnicové reprezentaci (ve sférických souřadnicích) je

$$\begin{aligned} \hat{l}_+ &= \frac{1}{\sqrt{2}} \exp\{i\varphi\} \left(\frac{\partial}{\partial \vartheta} + i \cot \vartheta \frac{\partial}{\partial \varphi} \right) \quad , \\ \hat{l}_- &= \frac{1}{\sqrt{2}} \exp\{-i\varphi\} \left(-\frac{\partial}{\partial \vartheta} + i \cot \vartheta \frac{\partial}{\partial \varphi} \right) \quad , \\ \hat{l}_z &= -i \frac{\partial}{\partial \varphi} \quad , \quad \hat{l}^2 = - \left[\frac{1}{\sin \vartheta} \frac{\partial}{\partial \vartheta} \left(\sin \vartheta \frac{\partial}{\partial \vartheta} \right) + \frac{1}{\sin^2 \vartheta} \frac{\partial^2}{\partial \varphi^2} \right] \quad . \end{aligned} \quad (10.7)$$

Vlastní hodnoty a vlastní funkce operátoru z-ové složky momentu hybnosti \hat{l}_z najdeme snadno využitím metody separace proměnných

$$\begin{aligned} -i \frac{\partial \psi(r, \vartheta, \varphi)}{\partial \varphi} &= l_z \psi(r, \vartheta, \varphi) \quad , \quad \psi(r, \vartheta, \varphi) = f(r, \vartheta) \Phi_{l_z}(\varphi) \quad , \\ l_z &= m = 0, \pm 1, \pm 2, \dots \quad , \quad \Phi_m(\varphi) = \frac{1}{\sqrt{2\pi}} \exp\{im\varphi\} \quad . \end{aligned} \quad (10.8)$$

Osa z není nijak preferována, takže pro momentu hybnosti do libovolného směru můžeme nabývat pouze celočíselných hodnot. Tento výsledek není rozporný, neboť vlastní funkce jsou pro různé směry známy.

Označme tedy jako l nejvyšší možnou hodnotu m pro danou vlastní hodnotu operátoru \hat{l}^2 . Buď $|\lambda m\rangle$ vlastní vektor operátoru \hat{l}_z s vlastní hodnotou m a souřadnicí vlastní vektor \hat{l}^2 s vlastní hodnotou λ . Potom

$$\begin{aligned} \hat{l}_z \hat{l}_+ |\lambda m\rangle &= \hat{l}_+ (\hat{l}_z + 1) |\lambda m\rangle = (m+1) \hat{l}_+ |\lambda m\rangle \quad , \\ \hat{l}_z \hat{l}_- |\lambda m\rangle &= \hat{l}_- (\hat{l}_z - 1) |\lambda m\rangle = (m-1) \hat{l}_- |\lambda m\rangle \quad , \\ |\lambda m+1\rangle &= C_+ \hat{l}_+ |\lambda m\rangle \quad , \quad |\lambda m-1\rangle = C_- \hat{l}_- |\lambda m\rangle \quad . \end{aligned} \quad (10.9)$$

Pro $m = l$ musí tedy vzhledem k tomu, že l je nejvyšší možná hodnota m být

$$\begin{aligned} \hat{l}_+^{\epsilon\epsilon} |\lambda l\rangle &= 0 \quad , \quad 2\hat{l}_-^{\epsilon\epsilon} \hat{l}_+^{\epsilon\epsilon} |\lambda l\rangle = (\hat{l}^2 - \hat{l}_z^2 - l_z) |\lambda l\rangle = 0 \quad , \\ \hat{l}^2 |\lambda l\rangle &= \lambda |\lambda l\rangle \quad , \quad \hat{l}_z^2 |\lambda l\rangle = l^2 |\lambda l\rangle \quad , \quad \hat{l}_z^{\epsilon\epsilon} |\lambda l\rangle = l |\lambda l\rangle \quad . \end{aligned} \quad (10.10)$$

Dostáváme tedy pro vlastní hodnoty operátoru \hat{l}^2 hodnoty $\lambda = l(l+1)$, vlastní hodnoty $\hat{l}_z^{\epsilon\epsilon}$ nezávisí na m .

Vlastní vektory operátoru \hat{l}^2 v souadnicové reprezentaci dostaneme nejsnadn ji p ímým e-ením rovnice

$$\begin{aligned} Y_{lm}(\vartheta, \varphi) &= \Phi_m(\varphi) \Theta_{lm}(\vartheta) \quad , \quad \int_0^\pi \int_0^{2\pi} |Y_{lm}(\vartheta, \varphi)|^2 \sin\vartheta d\varphi d\vartheta \quad , \\ \frac{1}{\sin\vartheta} \frac{d}{d\vartheta} \left(\sin\vartheta \frac{d\Theta_{lm}(\vartheta)}{d\vartheta} \right) &+ \left(l(l+1) - \frac{m^2}{\sin^2\vartheta} \right) \Theta_{lm}(\vartheta) = 0 \quad . \end{aligned} \quad (10.11)$$

e-ením jsou p idružené Legendreovy polynomy $P_l^m(\cos\vartheta)$. S uválením normovací podmínky

$$Y_{lm}(\vartheta, \varphi) = (-1)^{m+|m|} i^l \sqrt{\frac{2l+1}{4\pi}} \sqrt{\frac{(l-|m|)!}{(l+|m|)!}} P_l^m(\cos\vartheta) \exp\{im\varphi\} \quad . \quad (10.12)$$

Jiný zp sob dává maticová formulace. Souadnicová reprezentace vznikla projekcí $Y_{lm}(\vartheta, \varphi) = \langle \vartheta \varphi | lm \rangle$. Po ítejme maticový element \hat{l}^2 podle (10.6). Máme

$$\begin{aligned} l(l+1) &= 2 \langle lm | \hat{l}_+^{\epsilon\epsilon} \left(\sum_{\mu=-l}^{\mu=l} |l\mu\rangle \langle l\mu| \right) \hat{l}_-^{\epsilon\epsilon} |lm\rangle + m^2 - m = \\ 2 \langle lm | \hat{l}_+^{\epsilon\epsilon} |lm-1\rangle \langle lm-1 | \hat{l}_-^{\epsilon\epsilon} |lm\rangle + m^2 - m \quad , \quad \langle lm-1 | \hat{l}_-^{\epsilon\epsilon} |lm\rangle &= \langle lm | \hat{l}_+^{\epsilon\epsilon} |lm-1\rangle^* \quad , \\ \langle lm | \hat{l}_+^{\epsilon\epsilon} |lm-1\rangle &= \langle lm-1 | \hat{l}_-^{\epsilon\epsilon} |lm\rangle = \sqrt{\frac{(l+m)(l-m+1)}{2}} \quad . \end{aligned} \quad (10.13)$$

Dále pak

$$\begin{aligned} \hat{l}_+^{\epsilon\epsilon} |ll\rangle &= 0 \quad , \quad \frac{d\Theta_{ll}(\vartheta)}{d\vartheta} - l \cot\vartheta \Theta_{ll}(\vartheta) = 0 \quad , \\ \Theta_{ll}(\vartheta) &= (-i)^l \sqrt{\frac{(2l+1)!}{2}} \frac{\sin^l \vartheta}{2^l l!} \quad , \\ \hat{l}_-^{\epsilon\epsilon} |lm+1\rangle &= \langle lm | \hat{l}_-^{\epsilon\epsilon} |lm+1\rangle |lm\rangle \quad , \quad \hat{l}_-^{\epsilon\epsilon} |ll\rangle = \sqrt{\frac{(2l)!}{2^{l-m}}} \sqrt{\frac{(l-m)!}{(l+m)!}} |lm\rangle \quad . \end{aligned} \quad (10.14)$$

Všechny úvahy prováděné pro moment hybnosti jedné částice \vec{l} platí samozřejmě i pro celkový moment soustavy \vec{L}

$$\vec{L} = \sum_a \vec{l}_a . \quad (10.15)$$

11. Maticové elementy skaláru a vektoru, parita stavu

Uvažujme opět uzavřenou soustavu částic bez vnějšího pole nebo částici ve vnějším centrálním poli. Hamiltonián takové úlohy se nezmění při otočení souadnicové soustavy o libovolný úhel kolem libovolné osy (procházející středem), a vzdálenosti této izotropie prostoru komutuje s hamiltoniánem \hat{H} operátor momentu hybnosti \vec{L} . Při otočení se však obecně nezmění skalární veličina f , a také její operátor \hat{f} bude tedy komutovat s operátorem momentu hybnosti

$$[\hat{f}, \vec{L}] = 0 . \quad (11.1)$$

Matrice operátoru \hat{f} je vzhledem k L a M diagonální a na M nezávislá. Diagonalita plyne z komutativnosti \hat{f} a \vec{L} . Nezávislost na M snadno ukážeme: označme N soubor zbývajících maticových indexů (kvantových čísel), charakterizujících stav soustavy. Z komutativnosti \hat{f} a \vec{L}_+ a nezávislosti maticových elementů \vec{L}_+ na N dostáváme

$$\begin{aligned} \langle N' LM + 1 | \hat{f} | N LM + 1 \rangle \langle N LM + 1 | \vec{L}_+ | N LM \rangle = \\ \langle N' LM + 1 | \vec{L}_+ | N' LM \rangle \langle N' LM | \hat{f} | N LM \rangle , \end{aligned} \quad (11.2)$$

tedy maticové elementy operátoru \hat{f} nezávisí na M . Pro hamiltonián to znamená $2L+1$ násobnou degeneraci energiových hladin.

Uvažujme teď o vektorové fyzikální veličině, které přísluší operátor \vec{V} . Komutativní relace s operátorem momentu hybnosti \vec{L} budou stejné, jako komutativní relace operátoru vektoru souadnic, tedy

$$[\vec{L}_i, \vec{V}_k] = i \varepsilon_{ikl} \vec{V}_l . \quad (11.3)$$

Maticové elementy vektoru mohou být odlišné od nuly jen pro hodnoty L a M lišící se nejvýše o jednotku (výběrová pravidla). Máme například

$$\begin{aligned}
[\check{L}_z, \check{V}_z] &= 0 \quad , \quad [\check{L}_z, \check{V}_+] = \check{V}_+ \quad , \quad [\check{L}_z, \check{V}_-] = -\check{V}_- \quad , \\
\langle M_2 | \check{L}_z \sum_M |M\rangle \langle M | \check{V}_z | M_1 \rangle &= \langle M_2 | \check{V}_z \check{L}_z | M_1 \rangle \\
\Rightarrow M_2 \langle M_2 | \check{V}_z | M_1 \rangle &= M_1 \langle M_2 | \check{V}_z | M_1 \rangle \quad , \\
\langle M_2 | \check{L}_z \sum_M |M\rangle \langle M | \check{V}_+ | M_1 \rangle &= \langle M_2 | \check{V}_+ \check{L}_z | M_1 \rangle + \langle M_2 | \check{V}_+ | M_1 \rangle \\
\Rightarrow M_2 \langle M_2 | \check{V}_+ | M_1 \rangle &= (M_1 + 1) \langle M_2 | \check{V}_+ | M_1 \rangle \quad , \\
\langle M_2 | \check{L}_z \sum_M |M\rangle \langle M | \check{V}_- | M_1 \rangle &= \langle M_2 | \check{V}_- \check{L}_z | M_1 \rangle - \langle M_2 | \check{V}_- | M_1 \rangle \\
\Rightarrow M_2 \langle M_2 | \check{V}_- | M_1 \rangle &= (M_1 - 1) \langle M_2 | \check{V}_- | M_1 \rangle \quad .
\end{aligned} \tag{11.4}$$

Operátor parity definujeme jako

$$\langle \vec{r} | (\check{P} | \psi \rangle) = \langle -\vec{r} | \psi \rangle \quad . \tag{11.5}$$

Jeho vlastní hodnoty jsou $P=1$ a $P=-1$, jak snadno vidíme z $\check{P}^2 | \psi \rangle = | \psi \rangle$. Parita stavů částice charakterizovaných l a m je $(-1)^l$, protože při prostorové inverzi se sférické harmonické a vlastní funkce $Y_{lm}(\vartheta, \varphi) = \langle \vartheta \varphi | l m \rangle$ transformují takto:

$$\begin{aligned}
\vec{r} \rightarrow -\vec{r} \quad , \quad r \rightarrow r \quad , \quad \vartheta \rightarrow \pi - \vartheta \quad , \quad \varphi \rightarrow \varphi + \pi \quad , \quad P_l^m(\cos \vartheta) \exp\{i m \varphi\} \\
\rightarrow P_l^m(\cos(\pi - \vartheta)) \exp\{i m (\varphi + \pi)\} = (-1)^l P_l^m(\cos \vartheta) \exp\{i m \varphi\} \quad .
\end{aligned} \tag{11.6}$$

Z hlediska parity rozlišíme skalární veličiny na pravé skaláry a pseudoskaláry a vektorové veličiny na polární vektory a axiální vektory podle toho, jestli s operátorem parity komutují nebo antikomutují. Stav s sudou paritou označme $|g\rangle$, stav s lichou paritou $|u\rangle$.

Výběrová pravidla pro libovolný operátor \check{O} dostaneme ze vztah

$$\begin{aligned}
\langle p_2 | \check{P} \{ |g\rangle \langle g| + |u\rangle \langle u| \} \check{O} | p_1 \rangle &= \langle p_2 | g \rangle \langle g | \check{O} | p_1 \rangle - \langle p_2 | u \rangle \langle u | \check{O} | p_1 \rangle \quad , \\
\langle p_2 | \check{O} \check{P} \{ |g\rangle \langle g| + |u\rangle \langle u| \} | p_1 \rangle &= \langle p_2 | \check{O} | g \rangle \langle g | p_1 \rangle - \langle p_2 | \check{O} | u \rangle \langle u | p_1 \rangle
\end{aligned} \tag{11.7}$$

a relací

$$\check{P} \check{O}_g - \check{O}_g \check{P} = 0 \quad , \quad \check{P} \check{O}_u + \check{O}_u \check{P} = 0 \quad . \tag{11.8}$$

12. Spin

12.1 Rotace a komutací relace pro operátor momentu hybnosti

Budeme si všímat pouze infinitezimálních rotací o úhel $\Delta\phi$. Pro rotace kolem os kartézské soustavy jsou adnic v trojrozměrném eukleidovském prostoru máme

$$R_x(\Delta\phi) = \begin{pmatrix} 1 & 0 & 0 \\ 0 & 1 - \frac{(\Delta\phi)^2}{2} & -\Delta\phi \\ 0 & \Delta\phi & 1 - \frac{(\Delta\phi)^2}{2} \end{pmatrix}, \quad R_y(\Delta\phi) = \begin{pmatrix} 1 - \frac{(\Delta\phi)^2}{2} & 0 & \Delta\phi \\ 0 & 1 & 0 \\ -\Delta\phi & \Delta\phi & 1 - \frac{(\Delta\phi)^2}{2} \end{pmatrix} \quad (12.1)$$

a

$$R_z(\Delta\phi) = \begin{pmatrix} 1 - \frac{(\Delta\phi)^2}{2} & -\Delta\phi & 0 \\ \Delta\phi & 1 - \frac{(\Delta\phi)^2}{2} & 0 \\ 0 & 0 & 1 \end{pmatrix}. \quad (12.2)$$

Tyto rotace můžeme zapsat pomocí operátoru momentu hybnosti jako

$$R_i(\Delta\phi) = \hat{I} - i \hat{J}_i \Delta\phi - \frac{1}{2} \hat{J}_i^2 (\Delta\phi)^2, \quad (12.3)$$

kde

$$\hat{I} = \begin{pmatrix} 1 & 0 & 0 \\ 0 & 1 & 0 \\ 0 & 0 & 1 \end{pmatrix}, \quad \hat{J}_x = \begin{pmatrix} 0 & 0 & 0 \\ 0 & 0 & -i \\ 0 & i & 0 \end{pmatrix}, \quad \hat{J}_y = \begin{pmatrix} 0 & 0 & i \\ 0 & 0 & 0 \\ -i & 0 & 0 \end{pmatrix}, \quad \hat{J}_z = \begin{pmatrix} 0 & -i & 0 \\ i & 0 & 0 \\ 0 & 0 & 0 \end{pmatrix}. \quad (12.4)$$

Konečné rotace pak napíšeme jako

$$\hat{R}_i(\phi) = \lim_{N \rightarrow \infty} \left[\hat{I} - i \hat{J}_i \frac{\phi}{N} \right]^N = \exp\{-i \hat{J}_i \phi\}. \quad (12.5)$$

12.2 Spin

Komutační relace pro složky momentu hybnosti můžeme psát ve vektorové formě

$$\vec{l} \times \vec{l} = i \vec{l}. \quad (12.6)$$

Částice může mít kromě tohoto orbitálního momentu ještě vnitřní moment hybnosti. Pro jeho operátor platí

$$\vec{s} \times \vec{s} = i \vec{s}, \quad [\vec{s}, \vec{r}] = 0, \quad [\vec{s}, \vec{p}] = 0, \quad [\vec{s}, \vec{l}] = 0. \quad (12.7)$$

První vztah říká, že spin má charakter momentu impulsu, další vztahy vyjadřují to, že jde o vnitřní moment impulsu, který nijak nesouvisí se souřadnicí a impulzem částice. Definujeme dále operátor celkového momentu hybnosti

$$\vec{j} = \vec{l} + \vec{s} \quad , \quad \vec{j} \times \vec{j} = i \vec{j} \quad . \quad (12.8)$$

Obdobn jako pro orbitální moment dostaneme pro spin

$$\begin{aligned} \hat{s}_z |s s_z\rangle &= s_z |s s_z\rangle \quad , \quad \hat{s}^2 |s s_z\rangle = s(s+1) |s s_z\rangle \quad , \\ s_z &= -s, -s+1, \dots, s-1, s \quad . \end{aligned} \quad (12.9)$$

Rozdíl je ovšem v tom, že projekce orbitálního momentu m musela nabývat celočíselných hodnot. U spinu toto neplatí. Protože však projekce spinu tvoří posloupnost čísel ličících se o jedničku, musí být rozdíl $2s$ mezi maximální a minimální hodnotou roven nule nebo celému kladnému číslu. Jsou tedy možné hodnoty spinu částic $s=0, 1/2, 1, \dots$. Například spin $1/2$ mají leptony (elektron a pozitron, a leptony a neutrina) a kvarky, spin 1 fotony, W a Z bosony a gluony.

Operátor spinu může být reprezentován maticemi. Pro $s=0$ je možný pouze jediný spinový stav $s_z=0$, reprezentace je triviální, tvoří ji nulový vektor

$$\vec{s} = [\hat{s}_x, \hat{s}_y, \hat{s}_z] = [0, 0, 0] \quad . \quad (12.10)$$

Pro $s=1/2$ jsou možné pouze dva spinové stavy, $s_z = \pm 1/2$, a reprezentace je realizována Pauliho maticemi

$$\begin{aligned} \vec{s} &= [\hat{s}_x, \hat{s}_y, \hat{s}_z] \quad , \quad \hat{s}_x = \frac{1}{2} \sigma_x \quad , \quad \hat{s}_y = \frac{1}{2} \sigma_y \quad , \quad \hat{s}_z = \frac{1}{2} \sigma_z \quad , \\ \sigma_x &= \begin{pmatrix} 0 & 1 \\ 1 & 0 \end{pmatrix} \quad , \quad \sigma_y = \begin{pmatrix} 0 & -i \\ i & 0 \end{pmatrix} \quad , \quad \sigma_z = \begin{pmatrix} 1 & 0 \\ 0 & -1 \end{pmatrix} \quad . \end{aligned} \quad (12.11)$$

Platí

$$\sigma_x^2 = \sigma_y^2 = \sigma_z^2 = \begin{pmatrix} 1 & 0 \\ 0 & 1 \end{pmatrix} \quad , \quad \hat{s}_x^2 + \hat{s}_y^2 + \hat{s}_z^2 = \frac{3}{4} \begin{pmatrix} 1 & 0 \\ 0 & 1 \end{pmatrix} \quad . \quad (12.12)$$

Také pro $s=1$, kdy jsou možné tři spinové stavy $s_z = 0, \pm 1$, máme jednoduchou maticovou reprezentaci

$$\begin{aligned} \vec{s} &= [\hat{s}_x, \hat{s}_y, \hat{s}_z] \quad , \quad \hat{s}_x = \beta_x \quad , \quad \hat{s}_y = \beta_y \quad , \quad \hat{s}_z = \beta_z \quad , \\ \beta_x &= \frac{1}{\sqrt{2}} \begin{pmatrix} 0 & 1 & 0 \\ 1 & 0 & 1 \\ 0 & 1 & 0 \end{pmatrix} \quad , \quad \beta_y = \frac{i}{\sqrt{2}} \begin{pmatrix} 0 & 1 & 0 \\ -1 & 0 & 1 \\ 0 & -1 & 0 \end{pmatrix} \quad , \quad \beta_z = \begin{pmatrix} 1 & 0 & 0 \\ 0 & 0 & 0 \\ 0 & 0 & 1 \end{pmatrix} \quad . \end{aligned} \quad (12.13)$$

Pro matice platí

$$\begin{aligned}
\beta_x^2 &= \frac{1}{2} \begin{pmatrix} 1 & 0 & 1 \\ 0 & 2 & 0 \\ 1 & 0 & 1 \end{pmatrix}, & \beta_y^2 &= \frac{1}{2} \begin{pmatrix} 1 & 0 & -1 \\ 0 & 2 & 0 \\ -1 & 0 & 1 \end{pmatrix}, & \beta_z^2 &= \begin{pmatrix} 1 & 0 & 0 \\ 0 & 0 & 0 \\ 0 & 0 & 1 \end{pmatrix}, \\
& & & & \xi_x^2 + \xi_y^2 + \xi_z^2 &= 2 \begin{pmatrix} 1 & 0 & 0 \\ 0 & 1 & 0 \\ 0 & 0 & 1 \end{pmatrix}.
\end{aligned} \tag{12.14}$$

částice se spinem, tj. částice s vnitřním momentem hybnosti, má také vnitřní magnetický moment $\vec{\mu}$. Jeho operátor $\hat{\mu}$ je úměrný operátoru spinu \hat{s}

$$\hat{\mu} = \frac{\mu}{s} \hat{s} \quad , \quad (12.15)$$

kde μ je pro částici charakteristická konstanta. Pro elektron je $\mu = \mu_B = e\hbar/(2m)$. Hamiltonián elektronu v elektromagnetickém poli (v souřadnicové reprezentaci) tedy bude

$$\hat{H} = \frac{1}{2m} \left(\hat{p} - e\vec{A}(\vec{r}) \right)^2 - \frac{\mu_B}{s} \hat{s} \cdot \vec{B}(\vec{r}) + e\phi(\vec{r}) \quad . \quad (12.16)$$

12.3 Spin a rotace

Pro Pauliho matice platí

$$[\sigma_i, \sigma_j] = 2i\epsilon_{ijk} \sigma_k \quad , \quad \{\sigma_i, \sigma_j\} = 2\delta_{ij} \quad . \quad (12.17)$$

Dále pro matici

$$\vec{\sigma} \cdot \vec{a} = \sigma_i a_i = \begin{pmatrix} a_3 & a_1 - ia_2 \\ a_1 + ia_2 & -a_3 \end{pmatrix} \quad (12.18)$$

platí

$$(\vec{\sigma} \cdot \vec{a})(\vec{\sigma} \cdot \vec{b}) = \vec{a} \cdot \vec{b} + i\vec{\sigma} \cdot (\vec{a} \times \vec{b}) \quad , \quad (12.19)$$

protože

$$\sigma_j a_j \sigma_k b_k = \frac{1}{2} \left(\{\sigma_j, \sigma_k\} + [\sigma_j, \sigma_k] \right) = (\delta_{jk} + i\epsilon_{jkl} \sigma_l) a_j b_k \quad . \quad (12.20)$$

Speciálně pro jednotkový vektor platí

$$(\vec{\sigma} \cdot \vec{n})^{2k} = \begin{pmatrix} 1 & 0 \\ 0 & 1 \end{pmatrix} \quad , \quad (\vec{\sigma} \cdot \vec{n})^{2k+1} = \begin{pmatrix} n_3 & n_1 - in_2 \\ n_1 + in_2 & -n_3 \end{pmatrix} \quad . \quad (12.21)$$

Máme pak

$$\exp\left\{i\phi \frac{\vec{\sigma} \cdot \vec{n}}{2}\right\} = \begin{pmatrix} 1 & 0 \\ 0 & 1 \end{pmatrix} \cos\frac{\phi}{2} + i \begin{pmatrix} n_3 & n_1 - in_2 \\ n_1 + in_2 & -n_3 \end{pmatrix} \sin\frac{\phi}{2} \quad . \quad (12.22)$$

Tento výraz umohl uje vyjádřit transformaci spinoru při rotaci souřadné soustavy. Jak bylo ukázáno, Pauliho matice splňují komutační relace stejné jako operátor momentu impulsu, který je generátorem infinitezimálních rotací. Označíme-li ϕ a θ polární a azimutální úhly charakterizující jednotkový vektor, máme pro spinor s prvkem $1/2$ do jednotkového vektoru

$$\left(\cos\frac{\phi}{2} + i\sigma_3\sin\frac{\phi}{2}\right)\left(\cos\frac{\theta}{2} + i\sigma_2\sin\frac{\theta}{2}\right)\begin{pmatrix} 1 \\ 0 \end{pmatrix} = \begin{pmatrix} \cos\frac{\theta}{2}\exp\left\{i\frac{\phi}{2}\right\} \\ -\sin\frac{\theta}{2}\exp\left\{-i\frac{\phi}{2}\right\} \end{pmatrix}. \quad (12.23)$$

Vzhledem k šneobvyklému výskytu polovi níh úhl ukáfleme p sobení rotací na spinory je-t jiným zp sobem. Operátory spinu zapí-eme nyní jako

$$\begin{aligned} \hat{s}_x &= \frac{1}{2} [|+\rangle\langle-| + |- \rangle\langle+|] , & \hat{s}_y &= \frac{i}{2} [|-\rangle\langle+| - |+ \rangle\langle-|] , \\ \hat{s}_z &= \frac{1}{2} [|+\rangle\langle+| - |- \rangle\langle-|] . \end{aligned} \quad (12.24)$$

Transformace spinoru p i rotaci kolem osy z o úhel ϕ

$$\begin{aligned} \hat{R}_z(\phi) &= \exp\{i\hat{s}_z\phi\} , & |\sigma\rangle_R &= \hat{R}_z(\phi)|\sigma\rangle = \exp\{i\hat{s}_z\phi\}|\sigma\rangle , \\ |+\rangle_R &= \exp\{i\hat{s}_z\phi\}|+\rangle = \exp\left\{i\frac{\phi}{2}\right\}|+\rangle , & |-\rangle_R &= \exp\{i\hat{s}_z\phi\}|-\rangle = \exp\left\{-i\frac{\phi}{2}\right\}|-\rangle. \end{aligned} \quad (12.25)$$

Pro operátory spinu tak dostáváme

$$\begin{aligned} \hat{s}_{xR} &= \frac{1}{2} \left[\exp\left\{i\frac{\phi}{2}\right\}|+\rangle\langle-| \exp\left\{i\frac{\phi}{2}\right\} + \exp\left\{-i\frac{\phi}{2}\right\}|-\rangle\langle+| \exp\left\{-i\frac{\phi}{2}\right\} \right] \\ &= \cos\phi\hat{s}_x - \sin\phi\hat{s}_y , \\ \hat{s}_{yR} &= \frac{i}{2} \left[\exp\left\{-i\frac{\phi}{2}\right\}|-\rangle\langle+| \exp\left\{-i\frac{\phi}{2}\right\} - \exp\left\{i\frac{\phi}{2}\right\}|+\rangle\langle-| \exp\left\{i\frac{\phi}{2}\right\} \right] \\ &= \sin\phi\hat{s}_x + \cos\phi\hat{s}_y , \\ \hat{s}_{zR} &= \frac{1}{2} \left[\exp\left\{i\frac{\phi}{2}\right\}|+\rangle\langle+| \exp\left\{-i\frac{\phi}{2}\right\} - \exp\left\{-i\frac{\phi}{2}\right\}|-\rangle\langle-| \exp\left\{i\frac{\phi}{2}\right\} \right] = \hat{s}_z . \end{aligned} \quad (12.26)$$

13. Princip nerozli-itelnosti ástic

Pro kvantovou teorii soustav tvo ených více stejnými ásticemi je základním tvrzením princip nerozli-itelnosti. Uvaflujme soustavu tvo enou dv ma ásticemi. Podle principu nerozli-itelnosti musí být stavy, které se li-í pouze po adím ástic, identické. Jejich stavové vektory se tedy mohou li-ít pouze fází $\exp\{i\alpha\}$. Pro vlnovou funkci dvou ásticové soustavy musí tedy platit

$$\begin{aligned} |\xi_1, \xi_2\rangle &= \exp\{i\alpha\}|\xi_2, \xi_1\rangle = \exp\{2i\alpha\}|\xi_1, \xi_2\rangle \Rightarrow \\ &|\xi_1, \xi_2\rangle = \pm|\xi_2, \xi_1\rangle . \end{aligned} \quad (13.1)$$

částice s $\exp\{i\alpha\}=1$, popisované symetrickými vlnovými funkcemi nazýváme bosony, částice s $\exp\{i\alpha\}=-1$, popisované antisymetrickými vlnovými funkcemi nazýváme fermiony. V relativistické kvantové teorii lze ukázat, že částice s poloúsebným spinem jsou fermiony, částice s celoúsebným spinem bosony. Pro soustavu N bosonů máme

$$\begin{aligned} \langle \xi_1, \xi_2, \dots, \xi_N | p_1, p_2, \dots, p_N \rangle = \\ \sqrt{\frac{N_1! N_2! \dots N_N!}{N!}} \sum \langle \xi_{i_1} | p_1 \rangle \langle \xi_{i_2} | p_2 \rangle \dots \langle \xi_{i_N} | p_N \rangle \quad . \end{aligned} \quad (13.2)$$

Sumace se provádí přes permutace $\{i_1, i_2, \dots, i_N\}$ množiny $\{1, 2, \dots, N\}$, N_k je počet stejných stavů p_k . Pro dvě částice máme

$$\begin{aligned} \langle \xi_1, \xi_2 | p_1, p_2 \rangle = \langle \xi_1 | p_1 \rangle \langle \xi_2 | p_2 \rangle \delta_{p_1 p_2} + \\ \frac{1}{\sqrt{2}} (\langle \xi_1 | p_1 \rangle \langle \xi_2 | p_2 \rangle + \langle \xi_1 | p_2 \rangle \langle \xi_2 | p_1 \rangle) (1 - \delta_{p_1 p_2}) \quad . \end{aligned} \quad (13.3)$$

Pro soustavu N fermionů pak

$$\begin{aligned} \langle \xi_1, \xi_2, \dots, \xi_N | p_1, p_2, \dots, p_N \rangle = \\ \sqrt{\frac{1}{N!}} \begin{vmatrix} \langle \xi_1 | p_1 \rangle & \langle \xi_1 | p_2 \rangle & \dots & \langle \xi_1 | p_N \rangle \\ \langle \xi_2 | p_1 \rangle & \langle \xi_2 | p_2 \rangle & \dots & \langle \xi_2 | p_N \rangle \\ \dots & \dots & \dots & \dots \\ \langle \xi_N | p_1 \rangle & \langle \xi_N | p_2 \rangle & \dots & \langle \xi_N | p_N \rangle \end{vmatrix} \quad . \end{aligned} \quad (13.4)$$

tj. Slater v determinant. Pro dvě částice

$$\begin{aligned} \langle \xi_1, \xi_2 | p_1, p_2 \rangle = \\ \frac{1}{\sqrt{2}} (\langle \xi_1 | p_1 \rangle \langle \xi_2 | p_2 \rangle - \langle \xi_1 | p_2 \rangle \langle \xi_2 | p_1 \rangle) \quad . \end{aligned} \quad (13.5)$$

Proměnné ξ zahrnují jak souřadnice částice, tak její spinový stav. Často používáme s vlnovou funkcí, která je součinem souřadnicové a spinové funkce a je symetrická při záměně souřadnic a antisymetrická při záměně spinových proměnných nebo naopak. Pro dva elektrony například symetrickou souřadnicovou funkci

$$\Psi^{(s)}(\vec{r}_1, \vec{r}_2) = \frac{1}{\sqrt{2}} [\psi_a(\vec{r}_1) \psi_b(\vec{r}_2) + \psi_b(\vec{r}_1) \psi_a(\vec{r}_2)]$$

násobíme antisymetrickou spinovou funkcí

$$\Sigma^{(a)}(s_{z1}, s_{z2}) = \frac{1}{\sqrt{2}} \left[\begin{pmatrix} 1 \\ 0 \end{pmatrix}_1 \begin{pmatrix} 0 \\ 1 \end{pmatrix}_2 - \begin{pmatrix} 0 \\ 1 \end{pmatrix}_1 \begin{pmatrix} 1 \\ 0 \end{pmatrix}_2 \right]$$

nebo antisymetrickou souřadnicovou funkci

$$\Psi^{(a)}(\vec{r}_1, \vec{r}_2) = \frac{1}{\sqrt{2}} [\psi_a(\vec{r}_1)\psi_b(\vec{r}_2) - \psi_b(\vec{r}_1)\psi_a(\vec{r}_2)]$$

násobíme n kterou ze t í možných symetrických spinových funkcí

$$\Sigma^{(s)}(s_{z1}, s_{z2}) = \begin{cases} \begin{pmatrix} 1 \\ 0 \end{pmatrix}_1 \begin{pmatrix} 1 \\ 0 \end{pmatrix}_2 \\ \frac{1}{\sqrt{2}} \left[\begin{pmatrix} 1 \\ 0 \end{pmatrix}_1 \begin{pmatrix} 0 \\ 1 \end{pmatrix}_2 + \begin{pmatrix} 0 \\ 1 \end{pmatrix}_1 \begin{pmatrix} 1 \\ 0 \end{pmatrix}_2 \right] \\ \begin{pmatrix} 0 \\ 1 \end{pmatrix}_1 \begin{pmatrix} 0 \\ 1 \end{pmatrix}_2 \end{cases} .$$

Funkce vzniklé násobením sou adnicové a spinové ásti jsou lineárními kombinacemi Slaterových determinant . Tak nap íklad

$$\Psi^{(a)}(\vec{r}_1, \vec{r}_2)\Sigma^{(s)}(s_{z1}, s_{z2}) = \frac{1}{\sqrt{2}} \begin{vmatrix} \psi_a(\vec{r}_1) \begin{pmatrix} 1 \\ 0 \end{pmatrix}_1 & \psi_b(\vec{r}_1) \begin{pmatrix} 0 \\ 1 \end{pmatrix}_1 \\ \psi_a(\vec{r}_2) \begin{pmatrix} 1 \\ 0 \end{pmatrix}_2 & \psi_b(\vec{r}_2) \begin{pmatrix} 0 \\ 1 \end{pmatrix}_2 \end{vmatrix} + \frac{1}{\sqrt{2}} \begin{vmatrix} \psi_b(\vec{r}_1) \begin{pmatrix} 1 \\ 0 \end{pmatrix}_1 & \psi_a(\vec{r}_1) \begin{pmatrix} 0 \\ 1 \end{pmatrix}_1 \\ \psi_b(\vec{r}_2) \begin{pmatrix} 1 \\ 0 \end{pmatrix}_2 & \psi_a(\vec{r}_2) \begin{pmatrix} 0 \\ 1 \end{pmatrix}_2 \end{vmatrix} .$$

P ipomeneme si také, že operátor slofkky z spinu je

$$\hat{S}_z = \frac{1}{2} \begin{pmatrix} 1 & 0 \\ 0 & -1 \end{pmatrix}_1 \begin{pmatrix} 1 & 0 \\ 0 & 1 \end{pmatrix}_2 + \frac{1}{2} \begin{pmatrix} 1 & 0 \\ 0 & 1 \end{pmatrix}_1 \begin{pmatrix} 1 & 0 \\ 0 & -1 \end{pmatrix}_2 . \quad (13.6)$$

P sobením na jednotlivé spinové funkce zji- ujeme, že jsou to vlastní funkce tohoto operátoru a vlastními hodnotami 0 (pro $\Sigma^{(a)}$) a 1, 0 a 01 (pro t i r zné $\Sigma^{(s)}$).

14. Cesta k Bellovým nerovnostem

14.1 EPR paradox

V roce 1935 uve ejnili Einstein, Podolsky a Rosen ó odtud zkratka EPR ó lánek¹⁰, který (spolu s následující Bohrovou odpov dí¹¹) ovlivnil na více jak p l století úvahy o tom, jak úplný je kvantov mechanický popis fyzikální reality (tj. vývoje zkoumané soustavy). EPR navrhli my-lený experiment (skute ný experiment dovolil pokrok v experimentálních možnostech aíl v roce 1982), který se týkal m ení na dvou identických volných ásticích ve stavu, popsaném vlnovou funkcí

¹⁰ A. Einstein, B. Podolsky and N. Rosen: Can Quantum-Mechanical Description of Physical Reality Be Considered Complete?, Physical Review **47** (1935), 777-780.

¹¹ N. Bohr: Can Quantum-Mechanical Description of Physical Reality Be Considered Complete?, Physical Review **48** (1935), 696-702.

$$\Psi(x_1, x_2 | t) = \left[\frac{m}{4\pi\hbar t} \right]^{1/2} \exp \left\{ i \left[\frac{m}{4\hbar t} (x_1 - x_2 + x_0)^2 - \frac{\pi}{4} \right] \right\} . \quad (14.1)$$

Lepší p edstavu dává rozklad této funkce do rovinných vln

$$\Psi(x_1, x_2 | t) = \frac{1}{2\pi\hbar} \int_{-\infty}^{\infty} \exp \left\{ \frac{i}{\hbar} \left[p(x_1 - x_2 + x_0) - \frac{p^2}{m} t \right] \right\} dp . \quad (14.2)$$

Einstein, Podolsky a Rosen uvaflují v lánku o stavu v $t=0$, kdy

$$\Psi(x_1, x_2) = \frac{1}{2\pi\hbar} \int_{-\infty}^{\infty} \exp \left\{ \frac{i}{\hbar} p(x_1 - x_2 + x_0) \right\} dp = \delta(x_1 - x_2 + x_0) . \quad (14.3)$$

Budeme m ít hybnost první ástice. M ení samoz ejm povede ke zm n vlnové funkce¹². V ímnn me si, fle vlnovou funkci (14.3) m fleme chápat jako

$$\delta(x_1 - x_2 + x_0) = \int_{-\infty}^{\infty} \chi_p(x_1) \chi_{-p}(x_2 - x_0) dp , \quad (14.4)$$

kde χ_p jsou vlastní funkce operátoru hybnosti

$$\hat{P} \chi_p(x) \equiv \frac{\hbar}{i} \frac{d}{dx} \chi_p(x) = p \chi_p(x) , \quad \chi_p(x) = \frac{1}{(2\pi\hbar)^{1/2}} \exp \left\{ \frac{i}{\hbar} p x \right\} . \quad (14.5)$$

Zm íme-li tedy hybnost první ástice a získáme hodnotu P , má s jistotou druhá ástice hodnotu $-P$

$$\int_{-\infty}^{\infty} \chi_p^*(x_1) \Psi(x_1, x_2) dx_1 = \int_{-\infty}^{\infty} \frac{1}{(2\pi\hbar)^{1/2}} \exp \left\{ -\frac{i}{\hbar} P x_1 \right\} \delta(x_1 - x_2 + x_0) dx_1 = \frac{1}{(2\pi\hbar)^{1/2}} \exp \left\{ -\frac{i}{\hbar} P (x_2 - x_0) \right\} . \quad (14.6)$$

Pro názornost rozepí-eme postup podrobn ji. Vlnovou funkci zapisujeme v sou adnicové representaci, takfle pro stavový vektor máme

$$|\Psi\rangle = \iint |\xi_2\rangle |\xi_1\rangle \Psi(\xi_1, \xi_2) d\xi_1 d\xi_2 .$$

¹² Obecný p edpis je následující: nam íme-li pro operátor \hat{O} vlastní hodnotu ω , zm ní se p vodní stav (školaps vlnové funkce) $|\psi\rangle$ na $(\langle\omega|\psi\rangle)|\omega\rangle$, kde $|\omega\rangle$ je p íslu-ný vlastní vektor: $\hat{O}|\omega\rangle = \omega|\omega\rangle$. Zm nu stavu danou m ením tedy popisujeme nikoliv Schrödingerovou rovnicí, ale jako p sobení projek ního operátoru $|\omega\rangle\langle\omega|$ na stavový vektor $|\psi\rangle$.

Namíli jsme na první částici vlastní hodnotu operátoru hybnosti P , na druhé částici jsme nemíli. Projekcí operátor popisující měření, kterým působíme na stavový vektor je tedy

$$(|P\rangle\langle P|)_1 \hat{I}_2 .$$

Nakonec vytvoříme v souadnicové reprezentaci vlnovou funkci z výsledného (tj. po měření) stavového vektoru promítnutím do vlastních vektor operátor souadnic

$$\Psi'(x_1, x_2) = \underbrace{\langle x_1 | P \rangle}_{\chi_P(x_1)} \iint \underbrace{\langle P | \xi_1 \rangle}_{\chi_P^*(\xi_1)} \underbrace{\langle x_2 | \hat{I} | \xi_2 \rangle}_{\delta(x_2 - \xi_2)} \Psi(\xi_1, \xi_2) d\xi_1 d\xi_2 = \chi_P(x_1) \int \chi_P^*(\xi_1) \Psi(\xi_1, x_2) d\xi_1 ,$$

tedy po dosazení z (14.3) a (14.5) pro druhou částici skutečně výsledek (14.6).

Nyní změníme úmysl a budeme měřit polohu první částice. Postup po měření bude plně analogický tomu při měření hybnosti. Vlnovou funkci (14.3) můžeme také chápat jako

$$\delta(x_1 - x_2 + x_0) = \int_{-\infty}^{\infty} \phi_x(x_1) \phi_x(x_2 - x_0) dx , \quad (14.7)$$

kde funkce ϕ_x jsou vlastní funkce operátoru souadnice

$$\hat{Q} \phi_\xi(x) \equiv x \phi_\xi(x) = \xi \phi_\xi(x) , \quad \phi_\xi(x) = \delta(x - \xi) . \quad (14.8)$$

Změníme-li tedy polohu první částice a získáme hodnotu X , nachází se s jistotou druhá částice v $X + x_0$

$$\int_{-\infty}^{\infty} \phi_x^*(x_1) \Psi(x_1, x_2) dx_1 = \int_{-\infty}^{\infty} \delta(x_1 - X) \delta(x_1 - x_2 + x_0) dx_1 = \delta(X - x_2 + x_0) . \quad (14.9)$$

Vzdálenost částic v době měření může být taková, že druhá částice leží v prostorupodobné oblasti v soustavě první částice, což lze tedy vyloučit jakýkoliv přenos informace o tom, kterou ze sdružených veličin (hybnost nebo souadnice) budeme u první částice měřit. Přesto je potom pro druhou částici přesně dána hodnota její hybnosti nebo souadnice. EPR docházejí k závěru, že proto nemůže být kvantově mechanický popis úplný, což popis částice obsahuje nějaké skryté parametry (hidden variables), které v kvantovém popisu chybí.

14.2 Bohmova modifikace EPR pokusu

Připravít experimentálně stavy popsané vlnovou funkcí (1.1) není možné. Velmi důležitý krok učinil proto Bohm¹³, když navrhl modifikovanou, ale v principu identickou verzi pokusu. Předpokládejme, že máme molekulu se dvěma atomy, z nichž každý má spin

¹³ David Bohm: Quantum Theory (první vydání Prentice-Hall 1951, novější vydání Dover Publications), §22.16.

$\hbar/2$, přitom celkový spin molekuly je nulový. Molekulu rozdělíme zpět na dva atomy, které nemají celkový moment hybnosti. Atomy se začnou vzdalovat a jejich vzájemná interakce se stává zanedbatelnou, takže celkový spin je opět stále nulový. Až budou atomy vzdáleny prostorupodobným intervalem, provedeme na prvním z nich měření projekce spinu do osy z . Je-li zjištěná orientace kladná, víme s jistotou, že orientace spinu druhé částice je záporná. Můžeme se však také rozhodnout, že budeme měřit projekci spinu do osy x a opět, pokud bychom-li určili orientaci, víme s jistotou, že druhá částice má orientaci zápornou. To ale podle EPR znamená, že částice nese skrytou informaci o spinu, kterou kvantová mechanika neobsahuje.

Nejprve uvedeme několik připomenutí popisu spinu. Spinový stav částice se spinem $\hbar/2$ můžeme popsat pomocí vlastních hodnot operátoru projekce spinu do osy z

$$\begin{aligned}\frac{\hbar}{2}\hat{\sigma}_z|+z\rangle &= \frac{\hbar}{2}|+z\rangle, & \frac{\hbar}{2}\begin{pmatrix} 1 & 0 \\ 0 & -1 \end{pmatrix}\begin{pmatrix} 1 \\ 0 \end{pmatrix} &= \frac{\hbar}{2}\begin{pmatrix} 1 \\ 0 \end{pmatrix}, \\ \frac{\hbar}{2}\hat{\sigma}_z|-z\rangle &= -\frac{\hbar}{2}|-z\rangle, & \frac{\hbar}{2}\begin{pmatrix} 1 & 0 \\ 0 & -1 \end{pmatrix}\begin{pmatrix} 0 \\ 1 \end{pmatrix} &= -\frac{\hbar}{2}\begin{pmatrix} 0 \\ 1 \end{pmatrix}.\end{aligned}\quad (14.10)$$

Vlastní vektory projekce spinu do libovolného směru dostaneme otočením vektoru projekce spinu do osy z v rovině $x-z$ o polární úhel θ a pak otočením o azimutální úhel φ v rovině $x-y$

$$\begin{aligned}\frac{\hbar}{2}\vec{n}\cdot\hat{\sigma}|+\vec{n}\rangle &= \frac{\hbar}{2}|+\vec{n}\rangle, \\ |+\vec{n}\rangle &= \left[\cos\frac{\varphi}{2} - i\sin\frac{\varphi}{2}\hat{\sigma}_z \right] \left[\cos\frac{\theta}{2} - i\sin\frac{\theta}{2}\hat{\sigma}_y \right] |+z\rangle = \begin{pmatrix} \cos\frac{\theta}{2}\exp\left[-i\frac{\varphi}{2}\right] \\ \sin\frac{\theta}{2}\exp\left[i\frac{\varphi}{2}\right] \end{pmatrix}\end{aligned}\quad (14.11)$$

a

$$\begin{aligned}\frac{\hbar}{2}\vec{n}\cdot\hat{\sigma}|-\vec{n}\rangle &= -\frac{\hbar}{2}|-\vec{n}\rangle, \\ |-\vec{n}\rangle &= \left[\cos\frac{\varphi}{2} - i\sin\frac{\varphi}{2}\hat{\sigma}_z \right] \left[\cos\frac{\theta}{2} - i\sin\frac{\theta}{2}\hat{\sigma}_y \right] |-z\rangle = \begin{pmatrix} -\sin\frac{\theta}{2}\exp\left[-i\frac{\varphi}{2}\right] \\ \cos\frac{\theta}{2}\exp\left[i\frac{\varphi}{2}\right] \end{pmatrix}.\end{aligned}\quad (14.12)$$

Spinový stav dvou částic charakterizujeme stavy dvěma kvantovými čísly, dané vlastními hodnotami dvou komutujících operátorů druhé mocniny operátoru celkového spinu

$$\hat{S}^2 = \hat{S}_1^2 + \hat{S}_2^2 + 2\hat{S}_1 \cdot \hat{S}_2 \text{ a jeho projekce do osy } z \text{ } \hat{S}_z = \hat{S}_{1z} + \hat{S}_{2z}$$

$$\hat{S}^2 |s, m\rangle = s(s+1)\hbar^2 |s, m\rangle \quad , \quad \hat{S}_z |s, m\rangle = m\hbar |s, m\rangle \quad . \quad (14.13)$$

Tripletový stav s $s=1$ a $m=-1, 0, 1$ m fème zapsat jako

$$|1, -1\rangle = |-z\rangle_1 |-z\rangle_2, \quad |1, 0\rangle = \frac{1}{\sqrt{2}} \{ |+z\rangle_1 |-z\rangle_2 + |-z\rangle_1 |+z\rangle_2 \}, \quad |1, 1\rangle = |+z\rangle_1 |+z\rangle_2 \quad (14.14)$$

a pro nás d leflitý singletový stav s $s=0, m=0$ jako

$$|0, 0\rangle = \frac{1}{\sqrt{2}} \{ |+z\rangle_1 |-z\rangle_2 - |-z\rangle_1 |+z\rangle_2 \} \quad . \quad (14.15)$$

Vzhledem k transforma ním vztah m plynoucím z (14.11) a (14.12)

$$\begin{aligned} |+z\rangle &= \exp\left[i\frac{\varphi}{2}\right] \left\{ \cos\frac{\theta}{2} |+ \vec{n}\rangle - \sin\frac{\theta}{2} |- \vec{n}\rangle \right\} \quad , \\ |-z\rangle &= \exp\left[-i\frac{\varphi}{2}\right] \left\{ \sin\frac{\theta}{2} |+ \vec{n}\rangle + \cos\frac{\theta}{2} |- \vec{n}\rangle \right\} \end{aligned} \quad (14.16)$$

m fème singletový vztah zapsat také jako

$$|\psi\rangle = \frac{1}{\sqrt{2}} \{ |+ \vec{n}\rangle_1 |- \vec{n}\rangle_2 - |- \vec{n}\rangle_1 |+ \vec{n}\rangle_2 \} \quad . \quad (14.17)$$

14.3 Bellovy nerovnosti

V roce 1964 se poda ilo Bellovi¹⁴ ukázat, fe pokud by existovaly skryté parametry, musely by výsledky vhodn zvolené kombinace m ení spl ovat jisté nerovnosti (nyní obecn nazývané Bellovy nerovnosti). P i m ení orientace spinu je dokonce možné navrhnout takové m ení, kde výpo et nerovností pro pravd podobnosti nam ení r zných orientací je možné provád t na elementární úrovni. Potom lze op t jednodu-e provést výpo ty pravd podobností podle kvantové mechaniky a ukáfle se, fe pro jisté situace kvantov mechanické pravd podobnosti Bellovy nerovnosti naru-ují. Pokud by se experimentáln zjistilo, fe jsou i v t chto p ípadech Bellovy nerovnosti spln ny, byl by to d kaz neúplnosti kvantov mechanického popisu. V opa ném p ípad by ov-em výsledky vylou ily existenci skrytých parametr .

Moderní (módní?) popis vyfladuje místo m ení na první a druhé ástici mluvit o pozorovatelích Alici a Bobovi. Jejich jednotlivá m ení jsou od sebe vzdálena prostorupodobným intervalem, aby se vylou ily jakákoliv možnost interakce m ených ástic. M ení spinové orientace se provádí ve t ech r zných (ne nutn kolmých) sm rech.

¹⁴ J. S. Bell: On the Einstein Podolsky Rosen paradox, Physics **1** (1964), 195-200.

Počet	částice 1 (Alice)	částice 2 (Bob)
N_1	$(+\vec{a}, +\vec{b}, +\vec{c})$	$\Leftrightarrow (-\vec{a}, -\vec{b}, -\vec{c})$
N_2	$(+\vec{a}, +\vec{b}, -\vec{c})$	$\Leftrightarrow (-\vec{a}, -\vec{b}, +\vec{c})$
N_3	$(+\vec{a}, -\vec{b}, +\vec{c})$	$\Leftrightarrow (-\vec{a}, +\vec{b}, -\vec{c})$
N_4	$(+\vec{a}, -\vec{b}, -\vec{c})$	$\Leftrightarrow (-\vec{a}, +\vec{b}, +\vec{c})$
N_5	$(-\vec{a}, +\vec{b}, +\vec{c})$	$\Leftrightarrow (+\vec{a}, -\vec{b}, -\vec{c})$
N_6	$(-\vec{a}, +\vec{b}, -\vec{c})$	$\Leftrightarrow (+\vec{a}, -\vec{b}, +\vec{c})$
N_7	$(-\vec{a}, -\vec{b}, +\vec{c})$	$\Leftrightarrow (+\vec{a}, +\vec{b}, -\vec{c})$
N_8	$(-\vec{a}, -\vec{b}, -\vec{c})$	$\Leftrightarrow (+\vec{a}, +\vec{b}, +\vec{c})$

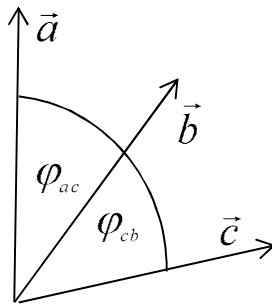
Výsledek měření Boba závisí na tom, jaké měření zvolí Alice. Jak ale bylo řečeno, rozhodnutí provádí Alice ať poté, co jsou částice odděleny prostoropodobným intervalem. Pokud si částice nese ve skrytých parametrech informaci o spinové orientaci, můžeme uvažovat o osmi skupinách částic uvedených v tabulce. Jednoduchým seřazením po tu částic v odpovídajících skupinách dojdeme k tomu, jaká je pravděpodobnost $P(+\vec{a}|\vec{b})$ toho, že Alice naměří pro první částici orientaci $+\vec{a}$ a Bob naměří pro druhou částici orientaci $+\vec{b}$. Vybereme tedy vhodné kombinace

$$P(+\vec{a}|\vec{b}) = \frac{N_3 + N_4}{\sum_{i=1}^8 N_i}, \quad P(+\vec{a}|\vec{c}) = \frac{N_2 + N_4}{\sum_{i=1}^8 N_i}, \quad P(+\vec{c}|\vec{b}) = \frac{N_3 + N_7}{\sum_{i=1}^8 N_i}. \quad (14.18)$$

Je zřejmé, že

$$P(+\vec{a}|\vec{b}) \leq P(+\vec{a}|\vec{c}) + P(+\vec{c}|\vec{b}), \quad (14.19)$$

Přítomnost rovnosti by nastala pouze v případě $N_2 = N_7 = 0$. Při kvantově mechanickém výpočtu pravděpodobností zvolíme pro jednoduchost tři vektory ležící v rovině $x-y$ (podle obrázku).



Ukážeme podrobněji výpočet pravděpodobnosti $P(+\vec{a}|\vec{b})$. Za vektor \vec{n} ve výrazu pro stavový vektor singletu (14.17) zvolíme vektor \vec{a} , takže máme

$$|\psi\rangle = \frac{1}{\sqrt{2}} \{ |+\vec{a}\rangle_1 |-\vec{a}\rangle_2 - |-\vec{a}\rangle_1 |+\vec{a}\rangle_2 \} .$$

Podle vztahů (14.11) a (14.12) máme

$$\begin{aligned} |+\vec{a}\rangle &= \frac{1}{\sqrt{2}} \begin{pmatrix} \exp[-i\varphi_a/2] \\ \exp[i\varphi_a/2] \end{pmatrix}, & |-\vec{a}\rangle &= \frac{1}{\sqrt{2}} \begin{pmatrix} -\exp[-i\varphi_a/2] \\ \exp[i\varphi_a/2] \end{pmatrix}, \\ |+\vec{b}\rangle &= \frac{1}{\sqrt{2}} \begin{pmatrix} \exp[-i\varphi_b/2] \\ \exp[i\varphi_b/2] \end{pmatrix}, & |-\vec{b}\rangle &= \frac{1}{\sqrt{2}} \begin{pmatrix} -\exp[-i\varphi_b/2] \\ \exp[i\varphi_b/2] \end{pmatrix}. \end{aligned}$$

Pro amplitudu pravděpodobnosti dostáváme

$$\begin{aligned} A(+\vec{a}|\vec{b}) &= \frac{1}{\sqrt{2}} \langle +\vec{b} | \{ |+\vec{a}\rangle_1 |-\vec{a}\rangle_2 - |-\vec{a}\rangle_1 |+\vec{a}\rangle_2 \} = \\ &= \frac{1}{\sqrt{2}} \left\{ \underbrace{\langle +\vec{a}_1 | +\vec{a}_1 \rangle}_{=1} \langle +\vec{b}_2 | -\vec{a}_2 \rangle - \underbrace{\langle +\vec{a}_1 | -\vec{a}_1 \rangle}_{=0} \langle +\vec{b}_2 | +\vec{a}_2 \rangle \right\} \end{aligned}$$

a dále

$$A(+\vec{a}|\vec{b}) = \frac{1}{2\sqrt{2}} (\exp[i\varphi_b/2] \exp[-i\varphi_b/2]) \begin{pmatrix} -\exp[-i\varphi_a/2] \\ \exp[i\varphi_a/2] \end{pmatrix} = \frac{i}{\sqrt{2}} \sin \frac{\varphi_a - \varphi_b}{2} .$$

Nakonec

$$P(+\vec{a}|\vec{b}) = |A(+\vec{a}|\vec{b})|^2 = \frac{1}{2} \sin^2 \frac{\varphi_a - \varphi_b}{2} = \frac{1}{2} \sin^2 \frac{\varphi_{ac} + \varphi_{cb}}{2} . \quad (14.20)$$

Podobně postupujeme při výpočtu dalších dvou pravděpodobností (při výpočtu $P(+\vec{c}|\vec{b})$ je přirozené výhodné zvolit za \vec{n} vektor \vec{c}). Máme tak

$$\begin{aligned} P(+\vec{a}|\vec{b}) &= \frac{1}{2} \sin^2 \frac{\varphi_{ac} + \varphi_{cb}}{2}, \\ P(+\vec{a}|\vec{c}) &= \frac{1}{2} \sin^2 \frac{\varphi_{ac}}{2}, & P(+\vec{c}|\vec{b}) &= \frac{1}{2} \sin^2 \frac{\varphi_{cb}}{2}. \end{aligned} \quad (14.21)$$

Zjevné narušení Bellovy nerovnosti (14.19) dostáváme například pro $\varphi_{ac} = \varphi_{cb} = \varphi < \pi/4$, kdy by mělo platit

$$\sin^2 \varphi \leq 2 \sin^2 \frac{\varphi}{2} \Rightarrow \cos \frac{\varphi}{2} \leq \frac{\sqrt{2}}{2} . \quad (14.22)$$

14.4 Experimenty s fotony

Je mnohem jednodušší připravit singletový stav dvou fotonů než například dvou protonů. Proto všechny přesné experimenty byly prováděny s fotony. V experimentech se ověřují složitější varianty Bellovy nerovnosti, které jsou například méně citlivé na nedokonalosti detektorů. Uvedeme důkaz¹⁵ jednoho z mnoha výsledků. S označením pravděpodobností koincidencí při detekci obou fotonů po průchodu polarizátory orientovanými ve směru \vec{a} (Alice) a \vec{b} (Bob) ó oba $P_{++}(\vec{a}, \vec{b})$, řádný $P_{--}(\vec{a}, \vec{b})$, pouze Alice $P_{+-}(\vec{a}, \vec{b})$ a pouze Bob $P_{-+}(\vec{a}, \vec{b})$ ó vytvoříme veličinu

$$E(\vec{a}, \vec{b}) = P_{++}(\vec{a}, \vec{b}) + P_{--}(\vec{a}, \vec{b}) - P_{+-}(\vec{a}, \vec{b}) - P_{-+}(\vec{a}, \vec{b})$$

Pro tytéž orientace se počítá

$$S(\vec{a}, \vec{a}', \vec{b}, \vec{b}') = |E(\vec{a}, \vec{b}) \pm E(\vec{a}, \vec{b}')| + |E(\vec{a}', \vec{b}) \mp E(\vec{a}', \vec{b}')| . \quad (14.23)$$

Bellova nerovnost je v tomto případě

$$S(\vec{a}, \vec{a}', \vec{b}, \vec{b}') \leq 2 . \quad (14.24)$$

Uvedeme především kvantově mechanický výpočet dává

$$S_{\max}^{QM} = S^{QM}(0^\circ, 45^\circ, 22,5^\circ, 67,5^\circ) = 2\sqrt{2} \quad (14.25)$$

a je experimentálně potvrzen.

Předpokládejme tedy existenci skrytého parametru s rozložením pravděpodobnosti výskytu $f(\lambda)$, $\int d\lambda f(\lambda) = 1$. Výraz pro $E(\vec{a}, \vec{b})$ můžeme přepsat na

$$E(\vec{a}, \vec{b}) = \int d\lambda f(\lambda) \underbrace{\{P_+(\vec{a}, \lambda) - P_-(\vec{a}, \lambda)\}}_{A(\vec{a}, \lambda)} \underbrace{\{P_+(\vec{b}, \lambda) - P_-(\vec{b}, \lambda)\}}_{B(\vec{b}, \lambda)} .$$

Velikosti P jako pravděpodobnosti nabývají hodnot mezi nulou a jedničkou, takže pro velikosti A a B platí nerovnosti

$$|A(\vec{a}, \lambda)| \leq 1 \quad , \quad |B(\vec{b}, \lambda)| \leq 1 .$$

Vytvoříme absolutní hodnotu ze součtu i rozdílu funkce E se stejným \vec{a} , ale různým \vec{b} a \vec{b}'

$$|E(\vec{a}, \vec{b}) \pm E(\vec{a}, \vec{b}')| = \left| \int d\lambda f(\lambda) A(\vec{a}, \lambda) [B(\vec{b}, \lambda) \pm B(\vec{b}', \lambda)] \right| .$$

Protože pro libovolnou funkci $\left| \int F(x) dx \right| \leq \int |F(x)| dx$, můžeme psát

¹⁵ J. S. Bell: Bertlmann's socks and the nature of reality, Journal de Physique **42** (1981), C2, 41-61.

$$\left| E(\vec{a}, \vec{b}) \pm E(\vec{a}, \vec{b}') \right| \leq \int d\lambda f(\lambda) |A(\vec{a}, \lambda)| \left| B(\vec{b}, \lambda) \pm B(\vec{b}', \lambda) \right| .$$

Protože však $|A(\vec{a}, \lambda)| \leq 1$, můžeme dále psát

$$\left| E(\vec{a}, \vec{b}) \pm E(\vec{a}, \vec{b}') \right| \leq \int d\lambda f(\lambda) \left| B(\vec{b}, \lambda) \pm B(\vec{b}', \lambda) \right| .$$

Podobně dostaneme nerovnost

$$\left| E(\vec{a}', \vec{b}) \mp E(\vec{a}', \vec{b}') \right| \leq \int d\lambda f(\lambda) \left| B(\vec{b}, \lambda) \mp B(\vec{b}', \lambda) \right| .$$

Oba vztahy se čteme

$$\begin{aligned} & \left| E(\vec{a}, \vec{b}) \pm E(\vec{a}, \vec{b}') \right| + \left| E(\vec{a}', \vec{b}) \mp E(\vec{a}', \vec{b}') \right| \leq \\ & \int d\lambda f(\lambda) \left\{ \left| B(\vec{b}, \lambda) \pm B(\vec{b}', \lambda) \right| + \left| B(\vec{b}, \lambda) \mp B(\vec{b}', \lambda) \right| \right\} . \end{aligned}$$

Opět platí $|B(\vec{b}, \lambda)| \leq 1$ a $|B(\vec{b}', \lambda)| \leq 1$, takže výraz ve složených závorkách bude nejvýše roven dvěma. Dostáváme tak zobecněnou Bellovu nerovnost (14.24)

$$\left| E(\vec{a}, \vec{b}) \pm E(\vec{a}, \vec{b}') \right| + \left| E(\vec{a}', \vec{b}) \mp E(\vec{a}', \vec{b}') \right| \leq 2 . \quad (14.26)$$

Tím je důkaz ukončen.

Záměna spinových stavů částic se spinem 1/2 polarizačními stavy fotonů je umožněna identickými maticemi hustoty. Ekvivalentní stavy jsou uvedeny v tabulce.

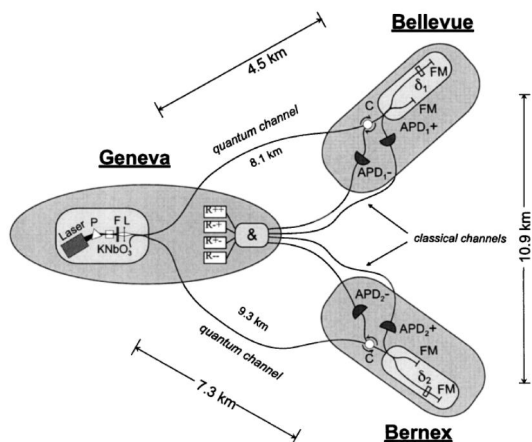
Spin		Polarizace
$ +z\rangle$	\Leftrightarrow	$\vec{\varepsilon} = \vec{e}_x$
$ -z\rangle$	\Leftrightarrow	$\vec{\varepsilon} = \vec{e}_y$
$ +x\rangle$	\Leftrightarrow	$\vec{\varepsilon} = \frac{1}{\sqrt{2}}(\vec{e}_x + \vec{e}_y)$
$ -x\rangle$	\Leftrightarrow	$\vec{\varepsilon} = \frac{1}{\sqrt{2}}(-\vec{e}_x + \vec{e}_y)$
$\exp\left[i\frac{\pi}{4}\right] +y\rangle$	\Leftrightarrow	$\vec{\varepsilon} = \frac{1}{\sqrt{2}}(\vec{e}_x + i\vec{e}_y)$
$\exp\left[-i\frac{3\pi}{4}\right] -y\rangle$	\Leftrightarrow	$\vec{\varepsilon} = \frac{1}{\sqrt{2}}(\vec{e}_x - i\vec{e}_y)$

Následující obrázek ukazuje, že experimenty dokazující narušení Bellových nerovností nejsou omezeny na fyzikální laboratoře. V uvedeném případě¹⁶ se fotony vydaly po kabelech

10

¹⁶ W. Tittel, J. Brendel, H. Zbinden, and N. Gisin: Violation of Bell Inequalities by Photons More Than km Apart, Phys. Rev. Letters **81** (1998), 3563-3566.

TM výcarské po-ty ze fienevy do dvou blížkých vesnic, kde byly na po-tovných ú adech umíst ny interferometry s pot ebnými detektory.



15. Jakou dráhu pro-la ástice?

15.1 Elementární popis interference dvou svazk

Uvaflujme dva zcela koherentní zdroje kulových vln (pro jednoduchost budeme po ítat jen v rovinném ezu, tj. v rovin $z=0$) v rovin $y=0$ vzdálené $2d$

$$\psi(x, y, t) = \left[\frac{1}{r_a} e^{ikr_a} + \frac{1}{r_b} e^{ikr_b} \right] e^{-i\frac{\hbar k^2}{2m}t}, \quad (15.1)$$

kde

$$r_a = \sqrt{(x+d)^2 + y^2}, \quad r_b = \sqrt{(x-d)^2 + y^2}. \quad (15.2)$$

P í p echodu k eliptickým sou adnicím

$$r = \frac{r_a + r_b}{2}, \quad s = \frac{r_a - r_b}{2}, \quad 0 < d \leq r, \quad -d \leq s \leq d \quad (15.3)$$

máme

$$\psi = \frac{e^{i\left(kr - \frac{\hbar k^2}{2m}t\right)}}{r} \frac{2r^2}{r^2 - s^2} \left\{ \cos ks - i \frac{s}{r} \sin ks \right\}. \quad (15.4)$$

Dal-ím výpo tem dostáváme pro hustotu

$$\rho = \psi \psi^* = \left(\frac{2r}{r^2 - s^2} \right)^2 \left\{ \cos^2 ks + \left(\frac{s}{r} \right)^2 \sin^2 ks \right\}. \quad (15.5)$$

Pro velké hodnoty y a malé hodnoty x m flíme psát p íblifn

$$r \doteq y, \quad s \doteq \frac{xd}{(y^2 + d^2)^{1/2}} = d \sin \theta, \quad (15.6)$$

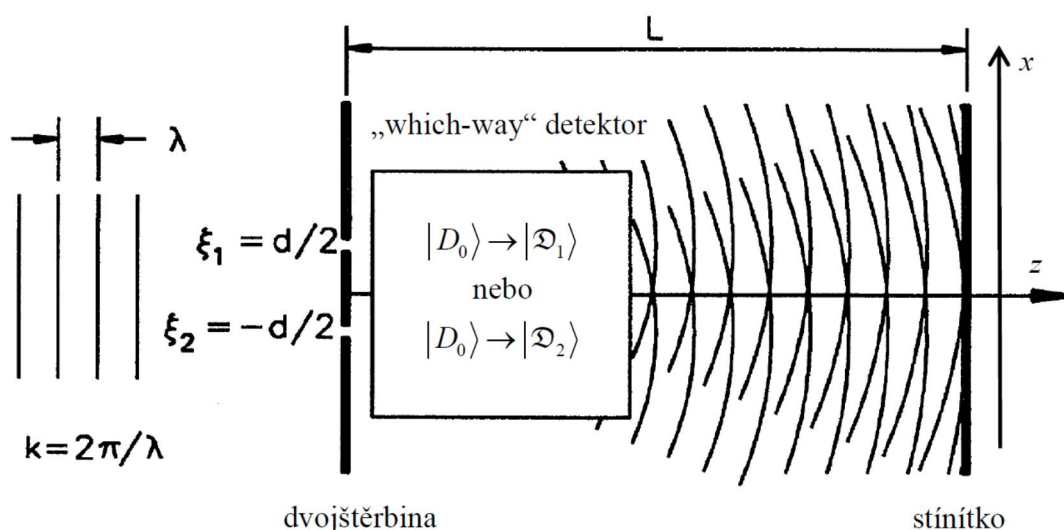
takže dostáváme obvyklý interferenční vztah

$$\rho \doteq \frac{1}{y} \cos^2 \left(\frac{2\pi d}{\lambda} \sin \theta \right) . \quad (15.6)$$

15.2 Which-path (Welcher-Weg)?

Představme si, že za dvojřtinou umístíme detektor (nebudeme zatím uvažovat o jeho provedení, jen musíme předpokládat, že při jeho švypnutí nic nebrání volnému pohybu interferující částice). Schematicky je uspořádání na obrázku¹⁷. Po průchodu řtinami budeme mít provázaný stav částice a detektoru

$$|\Psi\rangle = \frac{1}{\sqrt{2}} [|\psi_1\rangle |\mathcal{D}_1\rangle + |\psi_2\rangle |\mathcal{D}_2\rangle] . \quad (15.7)$$



Jednodušší postup při popisu experimentu je ten, že pro volnou částici zvolíme souřadnicovou reprezentaci, takže máme

$$\langle x | \Psi \rangle = \frac{1}{\sqrt{2}} [\langle x | \psi_1 \rangle |\mathcal{D}_1\rangle + \langle x | \psi_2 \rangle |\mathcal{D}_2\rangle] = \frac{1}{\sqrt{2}} [\psi_1(x) |\mathcal{D}_1\rangle + \psi_2(x) |\mathcal{D}_2\rangle] . \quad (15.8)$$

Potom pro hustotu pravděpodobnosti nalezení částice v okolí bodu o souřadnici x (o stavy detektoru se nezajímáme) dostáváme

$$p(x) = \langle x | \Psi \rangle \langle \Psi | x \rangle = |\langle x | \Psi \rangle|^2 = \frac{1}{2} [|\psi_1(x)|^2 + |\psi_2(x)|^2 + 2 \operatorname{Re} \{ \langle \mathcal{D}_1 | \mathcal{D}_2 \rangle \psi_2(x) \overline{\psi_1(x)} \}] . \quad (15.9)$$

¹⁷ S.M. Tan and D.F. Walls: Loss of coherence in interferometry, Physical Review A 47 (1993), 4663-4676.

Jsou-li vektory stavu detektoru ortogonální (tj. pokud bychom stav detektoru zjišťovali, budeme s jistotou vidět, kterou ze tří částic prošla) zmizí interference a dostáváme

$$\langle \mathcal{D}_1 | \mathcal{D}_2 \rangle = 0 \Rightarrow p(x) = \frac{1}{2} (|\psi_1(x)|^2 + |\psi_2(x)|^2) . \quad (15.10)$$

Jestliže detektor vypneme, je detektor v základním stavu, tj. $|\mathcal{D}_1\rangle = |\mathcal{D}_2\rangle = |D_0\rangle$ a dostaneme přirozený interferenční obrazec s maximální viditelností

$$\langle \mathcal{D}_1 | \mathcal{D}_2 \rangle = 1 \Rightarrow p(x) = \frac{1}{2} [|\psi_1(x)|^2 + |\psi_2(x)|^2 + 2 \operatorname{Re}\{\psi_2(x) \overline{\psi_1(x)}\}] . \quad (15.11)$$

Viditelnost spočteme tak, že zapíšeme $\langle \mathcal{D}_1 | \mathcal{D}_2 \rangle = |\langle \mathcal{D}_1 | \mathcal{D}_2 \rangle| \exp[-i\delta]$, $\psi_1(x) = |\psi_1(x)| \exp[i\phi_1]$ a $\psi_2(x) = |\psi_2(x)| \exp[i\phi_2]$, takže z (15.9) máme

$$p(x) = \frac{1}{2} [|\psi_1(x)|^2 + |\psi_2(x)|^2 + 2 |\langle \mathcal{D}_1 | \mathcal{D}_2 \rangle| |\langle \psi_1 | \psi_2 \rangle| \cos(\phi_2 - \phi_1 - \delta)] \quad (15.12)$$

a odsud výraz pro viditelnost

$$\mathfrak{V}(x) = \frac{p_{\max}(x) - p_{\min}(x)}{p_{\max}(x) + p_{\min}(x)} = \frac{2 |\langle \mathcal{D}_1 | \mathcal{D}_2 \rangle| |\langle \psi_1 | \psi_2 \rangle|}{|\psi_1(x)|^2 + |\psi_2(x)|^2} . \quad (15.13)$$

Obecněji přístup vyžaduje užití pojmu matice hustoty. Kvantovou mechanickou soustavu můžeme popsat vlnovou funkcí pouze tehdy, je-li izolovaná a neinteraguje s okolím. V opačném případě je možné soustavu popsat pouze měřitelnými způsoby, a tento popis je právě vyjádřen operátorem matice hustoty $\hat{\rho}$. Bez dalšího rozboru a důkazů uvedeme jen dvě pro náš experiment podstatná tvrzení: Stejná hodnota výsledku měření fyzikální veličiny s operátorem \hat{F} je dán stopou¹⁸

$$\langle \hat{F} \rangle = \operatorname{Tr}\{\hat{\rho} \hat{F}\} \quad (15.14)$$

a v případě, že je soustava popsána stavovým vektorem $|\Phi\rangle$, je matice hustoty dána výrazem

$$\hat{\rho} = |\Phi\rangle \langle \Phi| . \quad (15.15)$$

To je právě náš případ. Bude nás tedy zajímat pravděpodobnost nalezení částice v bodě x a detektoru ve stavu $|D_a\rangle$, čemuž odpovídá operátor $|x\rangle \langle D_a| \langle D_a| \langle x|$. Za bázi Hilbertova

¹⁸ Stopa operátoru \hat{O} je definována takto: Mějme v Hilbertově prostoru nějakou ortonormální bázi $\{|a\rangle\}$. Pomocí této báze vytvoříme maticové elementy $\langle a | \hat{O} | b \rangle$. Potom stejně jako v algebře stopa je součet diagonálních elementů $\operatorname{Tr}\{\hat{O}\} = \sum_a \langle a | \hat{O} | a \rangle$, v bázi mohutnosti kontinua pak $\operatorname{Tr}\{\hat{O}\} = \int_x dx \langle x | \hat{O} | x \rangle$.

prostoru bude výhodné zvolit $\{|\xi\rangle|D_\beta\rangle\}$, tedy bázi tvořenou vlastními vektory operátoru souadnice částice a operátoru stavu detektoru. (Stavy $|\mathfrak{D}_1\rangle$ a $|\mathfrak{D}_2\rangle$ jsou superpozicí různých stavů $|D_\alpha\rangle$.) Máme počítat $p(\alpha, x) = \text{Tr}\{|\Psi\rangle\langle\Psi||x\rangle\langle x||D_\alpha\rangle\langle D_\alpha|\}$, tedy

$$\begin{aligned} p(\alpha, x) = & \frac{1}{2} \sum_\beta \int d\xi \langle D_\beta | \langle \xi | \psi_1 \rangle | \mathfrak{D}_1 \rangle \langle \mathfrak{D}_1 | \langle \psi_1 | x \rangle \langle x | D_\alpha \rangle \langle D_\alpha | \xi \rangle | D_\beta \rangle + \\ & \frac{1}{2} \sum_\beta \int d\xi \langle D_\beta | \langle \xi | \psi_1 \rangle | \mathfrak{D}_1 \rangle \langle \mathfrak{D}_2 | \langle \psi_2 | x \rangle \langle x | D_\alpha \rangle \langle D_\alpha | \xi \rangle | D_\beta \rangle + \\ & \frac{1}{2} \sum_\beta \int d\xi \langle D_\beta | \langle \xi | \psi_2 \rangle | \mathfrak{D}_2 \rangle \langle \mathfrak{D}_1 | \langle \psi_1 | x \rangle \langle x | D_\alpha \rangle \langle D_\alpha | \xi \rangle | D_\beta \rangle + \\ & \frac{1}{2} \sum_\beta \int d\xi \langle D_\beta | \langle \xi | \psi_2 \rangle | \mathfrak{D}_2 \rangle \langle \mathfrak{D}_2 | \langle \psi_2 | x \rangle \langle x | D_\alpha \rangle \langle D_\alpha | \xi \rangle | D_\beta \rangle . \end{aligned}$$

S využitím ortonormality

$$\langle x | \xi \rangle = \delta(x - \xi) \quad , \quad \langle D_\alpha | D_\beta \rangle = \delta_{\alpha\beta}$$

možeme předchozí výraz zredukovat na přehledný tvar

$$\begin{aligned} p(\alpha, x) = & \frac{1}{2} \left[|\psi_1(x)|^2 |\langle D_\alpha | \mathfrak{D}_1 \rangle|^2 + |\psi_2(x)|^2 |\langle D_\alpha | \mathfrak{D}_2 \rangle|^2 + \right. \\ & \left. \psi_1(x) \overline{\psi_2(x)} \langle D_\alpha | \mathfrak{D}_1 \rangle \langle \mathfrak{D}_2 | D_\alpha \rangle + \overline{\psi_1(x)} \psi_2(x) \langle \mathfrak{D}_1 | D_\alpha \rangle \langle D_\alpha | \mathfrak{D}_2 \rangle \right] . \end{aligned} \quad (15.16)$$

Je hned vidět (v každém členu vzniká jednotkový operátor $\sum_\alpha |D_\alpha\rangle\langle D_\alpha| = \hat{I}$), že se tením pravděpodobností (15.16) přes stavy detektoru dostaneme výraz (15.9)

$$p(\alpha) = \sum_x p(\alpha, x) = \frac{1}{2} \left[|\psi_1(x)|^2 + |\psi_2(x)|^2 + 2 \text{Re} \left\{ \langle \mathfrak{D}_1 | \mathfrak{D}_2 \rangle \psi_2(x) \overline{\psi_1(x)} \right\} \right] . \quad (15.17)$$

Naopak pravděpodobnost nalezení detektoru ve stavu $|D_\alpha\rangle$ získáme integrací přes všechny možné polohy částice

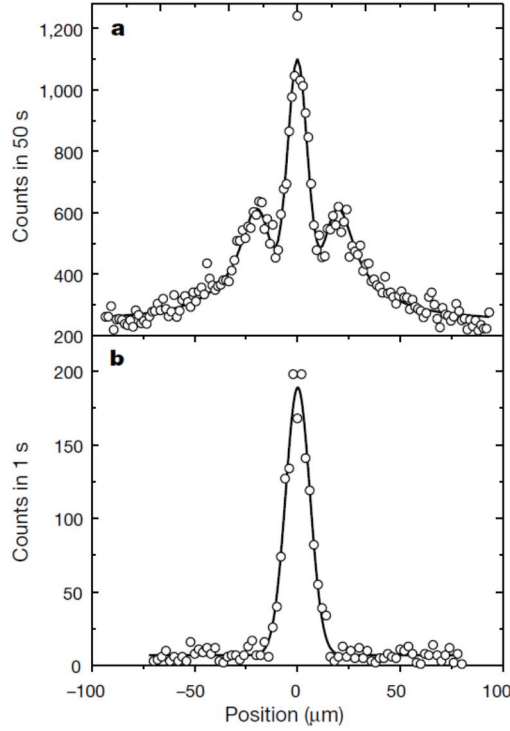
$$\begin{aligned} p(\alpha) = & \int dx p(\alpha, x) = \\ & \frac{1}{2} \left[|\langle D_\alpha | \mathfrak{D}_1 \rangle|^2 + |\langle D_\alpha | \mathfrak{D}_2 \rangle|^2 + 2 \text{Re} \left\{ \langle \psi_2 | \psi_1 \rangle \langle D_\alpha | \mathfrak{D}_1 \rangle \overline{\langle D_\alpha | \mathfrak{D}_2 \rangle} \right\} \right] , \end{aligned} \quad (15.18)$$

kde jsme položili

$$\langle \psi_2 | \psi_1 \rangle = \int dx \overline{\psi_2(x)} \psi_1(x) \quad , \quad \langle \psi_1 | \psi_1 \rangle = \langle \psi_2 | \psi_2 \rangle = 1 . \quad (15.19)$$

15.3 Interference fulleren

V roce 1999 uve ejnila skupina prof. Zeilingera z Víde ské university lánek¹⁹ o interferenci molekul C₆₀. Na spodním obrázku je profil svazku dopadajícího na difrak ní m ítku, horní obrázek ukazuje profil svazku po difrakci. Jak ale mohou molekuly interferovat, kdyfl vysílají fotony, které mohou být v principu pouffity pro detekci trajektorie?



Ve zme ve vztazích p edchozí ásti

$$\Phi_1(\vec{r}) = \langle \vec{r} | D_1 \rangle = C \frac{\exp\{i K |\vec{r} - \vec{r}_1|\}}{|\vec{r} - \vec{r}_1|}, \quad (15.20)$$

$$\Phi_2(\vec{r}) = \langle \vec{r} | D_2 \rangle = C \frac{\exp\{i K |\vec{r} - \vec{r}_2|\}}{|\vec{r} - \vec{r}_2|},$$

funkce odpovídají emitovanému fotonu. Potom je

$$\langle D_1 | D_2 \rangle = \frac{\int \overline{\Phi_1(\vec{r})} \Phi_2(\vec{r}) d^3 \vec{r}}{\sqrt{\int |\Phi_1(\vec{r})|^2 d^3 \vec{r}} \sqrt{\int |\Phi_2(\vec{r})|^2 d^3 \vec{r}}}. \quad (15.21)$$

Zavedením eliptických sou adnic

¹⁹ M. Arndt, O. Nairz, J. Vos-Andreae, C. Keller, G. Van der Zouw, and A. Zeilinger: Wave-particle duality of C₆₀ molecules, Nature **401** (1999), 680-682.

$$\begin{aligned}
1 \leq \xi < \infty \quad , \quad -1 \leq \eta \leq 1 \quad , \quad 0 \leq \varphi < 2\pi \quad , \\
|\vec{r} - \vec{r}_1| = \frac{d}{2}(\xi + \eta) \quad , \quad |\vec{r} - \vec{r}_2| = \frac{d}{2}(\xi - \eta) \quad , \\
d^3 \vec{r} = \left(\frac{d}{2}\right)^3 (\xi^2 - \eta^2) d\xi d\eta d\varphi
\end{aligned} \tag{15.22}$$

dostáváme

$$\langle D_1 | D_2 \rangle = \lim_{X \rightarrow \infty} \frac{\int_{-1}^1 \int_{-1}^1 \exp\{i K d \eta\} d\eta d\xi}{\int_{-1}^1 \int_{-1}^1 \frac{\xi - \eta}{\xi + \eta} d\eta d\xi} = \frac{\sin K d}{K d} \quad . \tag{15.23}$$

Pro v pr m ru N vyzá ených foton je pak

$$\langle D_1 | D_2 \rangle = \left(\frac{\sin K d}{K d} \right)^N \quad . \tag{15.24}$$

Vzdálenost t rbin je $d = 1 \text{ m}$, vlnová délka foton je ádov 10 m , a odhadovaný pr m rný počet foton emitovaných během letu fullerénové molekuly je jeden až dva. Je tedy

$$\langle D_1 | D_2 \rangle = \left(\frac{\sin K d}{K d} \right)^N \approx \left(\frac{\sin \frac{2\pi}{10}}{\frac{2\pi}{10}} \right)^{\frac{3}{2}} \approx 0,90 \quad . \tag{15.25}$$

Je tedy v tomto případě emise dlouhovlnných foton patnou šzna kouě pro nalezení skute ného trajektorie a viditelnost interferen ního obrazce je jen velmi málo snížena.